



BAGNES, VILLETTE

Chemin des Étales 42, Immeuble «Rubis» (BCE18)

Fouilles archéologiques (mai-juillet 2018)



Vue générale du chantier depuis le nord. © SBMA, AC

Ludovic Bender

Mai 2020



Travaux, Etudes et Recherches Archéologiques
route de Chandoline 27b - 1950 Sion
Tél. 027/322 29 24, e-mail : info@terasarl.ch

TABLE DES MATIÈRES

FICHE SIGNALÉTIQUE	2
RÉSUMÉ	3
1 CONTEXTE DE L'INTERVENTION	5
1.1 Etat des lieux avant le début des travaux.....	5
1.2 Déroulement des travaux	6
Diagnostique.....	6
Fouille	6
Relevés.....	6
1.3 Contexte géographique, historique et archéologique	7
2 DÉCOUVERTES ARCHÉOLOGIQUES	8
2.1 Périodes I et II: les premières traces d'occupation (Néolithique et âge du Bronze)	9
Phase 1 : traces d'occupation du Néolithique final et de l'âge du Bronze ancien	9
Phase 2 : traces d'occupation de l'âge du Bronze moyen/final.....	9
2.2 Période III : les premiers aménagements et le(s) tumulus du Premier âge du Fer.....	10
Phase 3 : aménagement d'une terrasse (Ter1)	10
Phase 4 : aménagement d'une seconde terrasse (Ter2?).....	10
Phase 5 : une fosse isolée.....	11
Phase 6 : construction du tumulus.....	11
2.3 Des traces diffuses de la fin de l'âge du Fer et du 1 ^{er} s. de notre ère.....	13
Colluvions fines.....	13
2.4 Période IV : le complexe architectural romain	13
Phase 7a : construction du premier bâtiment (Bat1)	13
Phase 7b : construction de l'abside (M2).....	14
Phase 7c et 7d : réparation de l'abside (M46) et construction du mur de clôture (M1)	14
2.5 Période V : réaménagements de la fin de l'Antiquité tardive ou du début du haut Moyen Âge	16
Phase 8 : un nouveau bâtiment (Bat2) sur les ruines du complexe romain	16
2.6 Période VI : nouveaux réaménagements du haut Moyen Âge	16
Phase 9a: construction d'un long mur de limite et vestiges d'un bâtiment (Bat3) sur sablière basse (?).....	16
Phase 9b : reconstruction partielle du mur de limite	17
2.7 Période VII : un bâtiment à foyers (Bat4) de la période carolingienne	17
Phases 10a et 10b.....	17
2.8 Période VIII : un bâtiment médiéval (Bat5) de fonction agricole et pastorale (?) et un nouveau mur de terrasse (M100).....	18
Phases 11a et 11b.....	18
2.9 Période IX : activités pastorales	19
3 MOBILIER	19
4 CONCLUSION	20
5 FIGURES	20
6 RELEVÉS	36
7 DÉTERMINATION DES CÉRAMIQUES	49
8 MACRORESTES	50
Liste des prélèvements	50
Échantillons carpologiques (Ludovic Gesset).....	50
9 ANNEXES	51
Liste des unités de terrain (UT)	51
Liste du mobilier	63
Liste des datations ¹⁴ C	69
Modèle bayésien (Sylvain Ozainne).....	73
Explicatif	73
Table des données	74
Code Oxcal	75

FICHE SIGNALÉTIQUE

Commune :	Bagnes, VS, district d'Entremont
Localité :	Le Châble, Villette
Chantier :	Chemin des Etales 42, Immeuble « Rubis », Léo Besson
Sigle :	BCE18
Coordonnées :	CNS 1325, 2'582'539/1'103'519 ; altitude : 834 – 837 m
Projet :	Construction d'un immeuble d'habitation avec garage souterrain sur une parcelle libre de construction
Maître d'œuvre :	<i>Bureau d'architecture Willy Roserens</i> , Verbier
Terrassement :	<i>Manenti Farquet SA</i> , Vollèges
Surface documentée :	185 m ² , 130 m de profils sur 0,50 – 3,60 m de hauteur.
Surface fouillée	185 m ² , sur une profondeur de 833,80 à 830,80.
Date de l'intervention :	Du 25 avril au 2 juillet 2018, surveillance du terrassement final le 9 juillet 2018
Coordination :	Archéologie cantonale (Caroline Brunetti)
Mandataire :	Bureau TERA Sàrl, Sion (Olivier Paccolat)
Équipe de fouille :	Ludovic Bender (archéologue responsable sur place), Marie-Paule Guex (archéologue co-responsable), Anouk Bystritzsky (archéologue anthropologue), Fabien Maret (archéologue), Marianne de Morsier Moret (dessinatrice), Andreas Henzen (dessinateur), Miguel Carvahlo Pinto, Romain Steinmann, Julien Lavenna, Pedro Barroso (ouvriers, fouilleurs).
Topographie :	Archéologie cantonale (Claude-Eric Bettex et Sylvain Ozainne)
Photogrammétrie :	Ludovic Bender
Élaboration :	Ludovic Bender
Infographie :	Marianne de Morsier Moret, Andreas Henzen
Datation :	Néolithique final – Époque moderne

RÉSUMÉ

L'excavation du terrain au chemin des Etales 42 à Villette (Commune de Bagnes) en vue de la construction d'un bâtiment d'habitation (immeuble Léo Besson) a permis d'identifier un important gisement archéologique dont la chronologie s'étend de la préhistoire à nos jours. Situé au bas d'une pente abrupte, au-dessous de la route conduisant à Verbier, le site montre d'importants événements d'éboulement et de colluvionnement qui ont rythmé son passé archéologique.

Les niveaux d'occupation les plus anciens, qui n'ont pas livré de mobilier, ont été observés dans une coupe stratigraphique en bordure nord-est de la zone de terrassement. Trois échantillons de charbon ont permis de dater ces couches du Néolithique et de l'âge du Bronze (Périodes I et II). Les vestiges de deux structures linéaires observées dans deux petits sondages sont interprétés comme les restes du soutènement de deux terrasses occupées aux plus tard au Premier âge du Fer.

La période du Premier âge du Fer est matérialisée surtout par une structure funéraire monumentale, un tumulus de 9,10 m d'envergure (dim. max. NW-SE) et de forme légèrement ovoïde (Période III). Celui-ci enjambait l'ancienne terrasse amont et s'étendait en bordure de la terrasse aval. Du côté sud, le tumulus a souffert non seulement de l'érosion naturelle, mais aussi des travaux d'aménagement du site à l'époque romaine. La partie nord-ouest a été perturbée quant à elle par les travaux d'excavation. Le tumulus est en revanche particulièrement bien préservé dans son quart nord-est, zone qui, la première, a été recouverte de colluvions.

Il est constitué d'une couronne faite de blocs irréguliers (max. 0,70 m), parfois posés de chant. Son remplissage est composé de blocs et de pierres de dimensions variées (0,10-0,50 cm) sans ordre strict. L'unique tombe, à inhumation, que le tumulus abritait vers son centre a livré un mobilier exceptionnel : une plaque ornementale de ceinture légèrement fragmentée (32 cm de long. conservée x 10,5 cm de larg.) et de nombreux bracelets fins en bronze, ornements féminins que l'on peut situer chronologiquement vers le Hallstatt final (Ha D2). Du squelette, presque rien n'est préservé.

Si le tumulus est recouvert de colluvions durant la période qui suit, l'anomalie topographique qu'il représentait devait encore être perceptible au moment de la fondation du complexe romain (Période IV). De la plus ancienne construction romaine établie sur le site, seul l'angle d'un bâtiment établi en bordure sud du tumulus a pu être observé. Celui-ci se prolonge au-delà de la zone de fouille, dans le terrain limitrophe au sud.

Par la suite, mais peut-être rapidement après cette première construction, une abside est aménagée un peu à l'ouest (diamètre intérieur à la corde restitué de 4,44 m). Rien ne permet de dire si cette abside constitue un ajout fait à un local contemporain du précédent, ou si elle fait partie d'une salle entièrement nouvelle qui serait venu s'adosser à ce dernier. Seules des fouilles dans la parcelle limitrophe pourraient répondre à cette question.

À la suite de dégâts importants, peut-être causés par la chute de blocs, fréquente sur ce site, l'abside est réparée. À l'intérieur, dans l'étroit espace entre le mur courbe et le profil sud du chantier, a été observé un système de chauffage par le sol très bien préservé, avec sa *suspensura* et les *tubuli* disposés contre la paroi interne de l'abside. Un mur de clôture (observé sur une longueur de près de 24 m) est construit ensuite directement au nord des bâtiments précédents. Son extension maximale est inconnue puisqu'il se poursuit au-delà de la zone excavée aussi bien en direction du nord-ouest que du sud-est. Il a certainement été conçu à la fois pour délimiter le complexe architectural dans son ensemble et pour le protéger d'éboulements et de colluvionnements.

Si les vestiges romains mis au jour – lesquels ne représentent qu'une partie d'une construction beaucoup plus vaste – ne permettent pas de définir avec précision la fonction de cet ensemble architectural, leur découverte enrichit grandement nos connaissances de l'occupation de Villette, et plus généralement du val de Bagnes, à l'époque romaine. Les constructions exhumées en 2018 doivent d'ailleurs être mises en relation avec les bâtiments

découverts en 2017 dans le même hameau¹, quoique la distance qui les sépare – env. 160 m – et le fait que les constructions de ces deux ensembles ne soient pas alignées entre elles ne permettent pas d'affirmer qu'elles font partie d'un même complexe architectural. Ces deux ensembles témoignent néanmoins d'une occupation importante et étendue. Le développement du site romain à cet emplacement s'explique à la fois par la topographie naturelle – versant de faible pente et bien ensoleillé, petits cours d'eau sillonnant la pente, goulet d'étranglement rendant la Dranse aisément franchissable – et par sa position stratégique à proximité de deux axes de circulation – la voie du Grand-Saint-Bernard reliant par la vallée d'Entremont l'Italie aux provinces du nord des Alpes et le passage par la Fenêtre de Durand conduisant vers la Valpelline et le val d'Aoste².

L'essentiel du mobilier archéologique récolté sur le site date de la période romaine. Il faut en particulier mentionner la découverte d'une fibule circulaire émaillée à pourtour en étoile à huit branches festonnées (3^e s.). La plus grande partie des tessons de céramiques trouvés remonte au 3^e s.

Le complexe romain abandonné ou en partie délaissé se dégrade ensuite, jusqu'à ce que des travaux de terrassement soient effectués. Durant l'Antiquité tardive ou au début du haut Moyen Âge (Période V), les murs romains arasés paraissent servir de soubassement à un nouveau bâtiment en matériaux plus légers, lequel se développait essentiellement en dehors de la zone de fouille.

Deux autres phases d'occupation altomédiévales peuvent être décelées. Si l'on ne peut tracer de plans complets des édifices qui ont visiblement souffert de l'érosion, il est clair que ces phases témoignent d'une exceptionnelle continuité d'occupation. De la première de ces deux phases (Période VI), il ne reste que quelques dalles et pierres plates – peut-être le solin discontinu de la sablière basse d'un bâtiment – et un long muret de limite en pierre sèche. Leur tracé semble perpétuer, malgré un léger désaxement, l'organisation spatiale du complexe romain antérieur.

Légèrement surélevées et soutenue par un empierrement de blocs à l'aval, une terrasse est aménagée ensuite au-dessus des vestiges antérieurs (Période VII). Le bâtiment, dont on ne peut qu'esquisser un plan partiel, se développe un petit peu à l'amont du précédent. De cette phase, il faut noter en particulier l'existence d'un foyer de petite taille (dim. max. 0,8 m) remplacé rapidement par un second aux dimensions beaucoup plus importantes avec une zone de défournement étendue (8^e-10^e s.). Les foyers mis aux jours et les couches les recouvrant ont livré une quantité importante d'ossements d'animaux ainsi que des scories de fer. Ces découvertes montrent sans doute que le lieu servait à la fois comme habitat et comme zone d'activités artisanales.

Un nouveau mur de terrasse est aménagé plus tard un peu à l'aval avec une orientation presque identique à celle des bâtiments précédents (Période VIII). Il faut le mettre en relation avec un nouveau bâtiment construit directement à l'ouest. Ces aménagements témoignent sans doute des activités agricoles ou pastorales menées sur ce site. Un tesson de céramique médiéval (12^e-15^e s.) a été retrouvé dans la couche qui scelle les vestiges de ces aménagements.

Après l'abandon de ces constructions, le site paraît rester à l'état de pré jusqu'à nos jours (Période IX).

¹ « Chronique des découvertes archéologiques dans le canton du Valais en 2017 », dans *Vallesia*, 72 (2017), p. 456-459.

² Ludwig POGET, *Archéologie des Vallées des Dranses : peuplement et passages transalpins secondaires, du Paléolithique à l'époque romaine* (Mémoire de licence de l'Université de Lausanne) 2006 ; Olivier PACCOLAT et Fabien MARET, Projet interreg 2013-2015. *Prospections Valais-Vallée d'Aoste (2013-2014). Voie du Grand St-Bernard, Cols de Barasson, Cols Ferret, Fenêtre de Durand*, Rapport TERRA, Sion, 2015.

1 CONTEXTE DE L'INTERVENTION³

La surveillance de l'excavation, réalisée par l'entreprise Manenti Farquet, a été effectuée par l'archéologie cantonale (Sylvain Ozainne et Claude-Eric Bettex). Elle a été effectuée en plusieurs étapes en raison de la réalisation de travaux spéciaux (gunitage) sur la paroi nord du terrassement, chaque étape consistant à excaver une tranche d'environ 2.00 m de sédiment. Lors d'une surveillance de tranchée de canalisation effectuée le 23.03.2018 avant le début du terrassement, la présence d'un niveau de démolition a été constatée dans l'angle sud de la parcelle, près de la route des Etales. La couche identifiée comprenait notamment des restes de mortier de construction et de terre cuite architecturale, dont plusieurs fragments de *tegulae* clairement identifiables.

Si le suivi des deux premières étapes de terrassement (04.04 et 11.04.2018) n'a permis de repérer qu'un reste de niveau de paléosol contenant quelques rares charbons de bois épars, la surveillance de la seconde étape le 18.04.2019 a révélé la présence de plusieurs couches de limon plus ou moins charbonneux, visibles sur toute la partie ouest de la paroi nord du terrassement. Une description stratigraphique schématique, un relevé topographique ainsi que des prélèvements de charbons de bois ont alors été effectués. Les restes d'une structure linéaire en pierre sèche (épierrage et/ou aménagement de terrasse) ont également été observés juste sous la couche d'humus dans la partie sud de la zone d'excavation lors de cette deuxième étape.

Une dernière étape de surveillance a eu lieu le 24.04.2019 le long de la limite sud de la parcelle 17943, partie de terrain encore non terrassée mais malheureusement impactée par l'aménagement d'une piste en direction de l'est du chantier, réalisé entre deux étapes de gunitage en l'absence de l'archéologie cantonale. Un nettoyage du profil sud s'étendant le long de la piste de chantier a permis de prélever plusieurs tessons de céramique d'époque romaine dans une couche de démolition visible à la base du profil. Cette découverte a motivé la réalisation d'un sondage, qui a révélé la présence de restes fauniques, de blocs épars et de restes de mortier alignés sur un axe est-ouest. L'observation de ces nouveaux vestiges a motivé l'arrêt complet des terrassements et le bureau TERA a été mandaté pour effectuer la fouille archéologique. Après la vision locale du 25.04.2018, les travaux ont pu commencer dès le lendemain sous la responsabilité de Ludovic Bender.

1.1 Etat des lieux avant le début des travaux

Avant les fouilles archéologiques, les travaux de terrassement ont atteint le fond de fouille dans le tiers nord du chantier (z4, **relevé 1**). Le fond a été nivelé et la chaille épandue, si bien qu'aucune observation archéologique n'était plus possible dans cette zone. C'est aussi le cas du profil nord-est de la zone de terrassement, ainsi que l'extrémité nord des profils nord-ouest et sud-est, qui ont été gunités ou perturbés par la pelleuse.

Le quart ouest de la zone de fouille a lui aussi été excavé profondément, détruisant sans doute à cet endroit les structures romaines⁴, avant d'être partiellement rebouché pour aménager une rampe d'accès pour les machines de chantier. Mais le profil nord-ouest n'ayant pas été encore reculé et rectifié à sa position finale, il restait dans cette zone une bande de niveaux archéologiques conservée (z5).

La partie sud-ouest (env. 165 m²) était en revanche bien conservée au-dessous de l'altitude 833,20 m environ. C'est cette zone qui a concentré les recherches archéologiques.

³ Le chap. 1 contient des contributions de Sylvain Ozainne. Abréviations utilisées : z = zone ; Sd = sondage ; Bat = bâtiment ; Loc = local ; UT = unité (stratigraphique) de terrain, M = mur ; TP = trou de poteau ; K = complexe mobilier ; Stg = relevé en coupe/élévation ; Pln = relevé en plan.

⁴ Communication orale de M. Ozainne.

1.2 Déroutement des travaux

Diagnostic

Deux sondages ont d'abord été effectués (Sd1 et Sd2) à la pelleuse (**relevé 1**). Le sondage Sd1 a permis en particulier l'identification de murs romains et d'un tumulus avec tombe à inhumation, tandis que le sondage Sd2 a montré l'existence d'un mur de terrasse en pierre sèche plus tardif et de niveaux charbonneux. Le nettoyage en plan des parties réservées (z1, z2 et z3) a quant à lui révélé l'existence de foyers et d'autres zones charbonneuses. Suite à ces découvertes, qui témoignaient d'une importante succession de phases d'occupation, la stratégie d'intervention a été repensée et la période initialement prévue pour les fouilles étendues.

Fouille

Un nouveau décapage à la pelleuse a été effectué le 7.5.2018 au nord du long mur romain (M1) afin d'atteindre à cet endroit la surface du tumulus, tout en ménageant l'essentiel des vestiges identifiés. Le faible potentiel archéologique des couches à cet endroit justifiait ce choix. Un troisième sondage (Sd3) a été réalisé du côté ouest du tumulus, de part et d'autre du mur romain (M1). La fouille du tumulus et des parties réservées entre les sondages (z1, z2 et z3) ainsi que le nettoyage et l'étude des profils ont pu se dérouler ensuite en parallèle. Le faible potentiel de la petite « banquette » stratigraphique de la zone z3, dans l'angle sud-est du chantier, a rapidement poussé à en abandonner la fouille. Les niveaux étudiés en plan ou observés dans le profil n'ont en effet pas révélé de structure significative, si ce n'est la continuation d'un muret de terrasse écroulé observé ailleurs en coupe et en plan.

La fouille des bermes en zones z1 et z2 a révélé en revanche une importante succession d'occupation durant le Moyen Âge. Les foyers, trous de poteaux et autres structures et murs repérés ont fait l'objet d'une fouille fine. Les niveaux de remblai antérieurs à ces vestiges, qui recouvraient les ruines romaines, n'ont quant à eux pas été entièrement excavés.

Les murs du complexe romain ont été documentés en plan dans toute la zone de fouille. Ils ont été dégagés sur certains tronçons pour atteindre leurs fondations et étudier leurs parements. Les parties mises au jour ont été documentées par photogrammétrie. L'intérieur des locaux n'a pu être que partiellement fouillé en raison de la position des vestiges. Aussi bien le complexe romain que les différentes occupations médiévales se développent en effet en bordure sud de la zone de fouille.

La fouille du tumulus s'est déroulée en plusieurs étapes. Elle a commencé par un nettoyage fin dans sa partie nord, soit là où le second décapage à la pelleuse du 7.5.2018 a été réalisé. Plusieurs décapages successifs ont été nécessaires pour fouiller entièrement le tumulus, lequel n'a livré qu'une seule tombe. La dernière partie du tumulus, sous la berme de la zone 2, n'a été fouillée que vers la fin de la période de travail sur le site. Elle a montré que cette structure funéraire avait été, dans cette zone, largement détruite, visiblement lors de la construction du complexe romain. Dans la zone z5, un empierrement très perturbé par l'action de la pelleuse a fait l'objet d'un décapage fin dans le but d'identifier s'il s'agissait d'un autre tumulus. Le mauvais état de ces vestiges n'a pas permis de trancher de manière définitive. Il reste possible que d'autres sépultures de l'âge du Fer existent dans les parcelles limitrophes.

Le travail de fouille s'est poursuivi jusqu'au 2.7.2019. Quant au terrassement final du chantier de construction, il a eu lieu le 9.7.2019 sous la surveillance de Sylvain Ozainne et de Ludovic Bender. Il a permis les dernières observations de terrain et la photographie des maçonneries romaines entièrement dégagées.

Relevés

Les relevés consistent en 67 plans (Pln) et profils (Stg) (voir *Liste des relevés*). La plupart des surfaces documentées ont été levées par photogrammétrie (Agisoft Photoscan). Les orthomosaïques produites à partir des modèles 3D ont été replacées dans le fichier CAD (Autodesk Autocad) principal. Elles ont aussi servi de support pour le dessin à l'échelle sur

site. Quelques croquis schématiques complètent cette documentation. Seuls sont présentés dans ce rapport les plans et coupes de référence (**relevés 3 à 13**).

1.3 Contexte géographique, historique et archéologique

Le hameau de Villette se situe dans le fond de la vallée de Bagnes, sur la rive droite de la Dranse, et au pied du versant abrupt au sommet duquel se trouve le plateau de Verbier (**fig. 1 et 2**). Les découvertes archéologiques attestent une occupation de la zone de ce hameau dès la Préhistoire. Quatre tombes de type Chamblandes ont été mises au jour en 1984 au chemin des Dzardis 64⁵. Une intervention récente, menée au Chemin des Étales (BCV17) – soit à seulement 160 m du chantier de 2018 –, a permis de mettre en exergue l'existence d'un ensemble architectural d'époque romaine relativement luxueux⁶. Le complexe, interprété comme un habitat, est occupé de la fin du 1^{er} s. à la fin du 4^e s. La période du Haut Moyen Âge est représentée sur le même site par un bâtiment et deux tombes à inhumations.

Villette est par ailleurs situé sur le chemin de la Fenêtre de Durand, passage fréquenté à l'époque romaine, comme les clous de chaussure romains récoltés à cet endroit l'indiquent⁷. Il faut de plus faire remarquer que le site n'est pas très éloigné de la voie du Grand-Saint-Bernard, qui permettait de relier par la vallée d'Entremont l'Italie aux provinces du nord des Alpes. D'autres sites romains, notamment à Vollèges, au Levron et à Sembrancher, ont été identifiés sur cet axe de circulation⁸.

⁵ Nagui ELBIALI et al., « Cistes néolithiques de type Chamblandes à Bagnes – Villette (Valais, Suisse) », *Annuaire de la société suisse de préhistoire et d'archéologie*, 70, 1987, pp. 7–33.

⁶ Olivier PACCOLAT, Marie-Paule GUEX, *Bagnes, Villette, maison Carron (BCV17) : bâtiments romains : documentation des profils et du fond de l'excavation (septembre 2017)*, rapport d'intervention de mai 2018.

⁷ Olivier PACCOLAT, Fabien MARET, *Projet de prospections archéologiques Interreg 2013–2015, Prospections Valais – Vallée d'Aoste (2013 – 2014)*, rapport d'intervention de 2015.

⁸ *Vallis Poenina, Le Valais à l'époque romaine (I^{er} siècle – V^e siècle)*, catalogue de l'exposition. Musées cantonaux du Valais, Sion 1998, en particulier « Le val de Bagnes », pp. 175–177.

2 DÉCOUVERTES ARCHÉOLOGIQUES

Pér.	Phase	Description	Principaux n° pos.	Époque
IX	12	Colluvions et humus, activités agropastorales	UT12, UT29, trous de pierres, humus contemporain	Moderne/Contemporain
	11b	Mur de terrasse	M100 (Ter4), UT186?	
VIII	11a	Bâtiment(s?) sur fondement de blocs	TP68?, M70 (Bat5), M90 (Bat6?), TP75, UT89?, UT177?	Moyen Âge central/tardif
		<i>Destruction</i>	UT11	
VII	10b	Bâtiment sur sablière basse (?) et nouveau foyer	TP102 (Bat4), UT43, UT94?, UT36?, UT89?, UT177?	Haut Moyen Âge II
	10a	Foyer	UT120, (Bat4?)	
VI		<i>Destruction, colluvions fines, anciens humus</i>	UT30/32, UT159, UT8, UT10	Haut Moyen Âge I
	9b	Réparation du mur de clôture, nouvelle terrasse, foyer	M31/M33 (Ter3), UT18, UT28?	
	9a	Construction d'un mur de clôture en pierre sèche et d'un bâtiment (?) en matériaux légers	M183/184/185, UT78 (Bat3?), UT189	
V	8	Aménagement d'un bâtiment sur les ruines romaines	M139 (Bat2), UT160, UT165	Fin du Bas Empire romain/début du haut Moyen Âge
		<i>Destruction et remblai des bâtiments romains</i>	UT20, UT58, UT115/52, UT22, UT5, UT6, UT7, UT37, UT53?, UT97	
IV	7d	Mise en place d'un drain à l'amont du mur de clôture	UT16/40	Empire romain
	7c	Réparation de l'abside, construction du mur de clôture	M46, M1, UT114?	
	7b	Construction de l'abside et de son hypocauste	M2 (Bat1, Loc2), UT128, UT129, UT24, UT172	
	7a	Excavation du terrain et construction du premier bâtiment	M138 (Bat1, Loc1), UT26/167, UT27, UT163	
III		<i>Colluvions fines</i>	UT17, UT25, UT111, UT99, UT110, UT49, UT38, UT42	Premier âge du Fer
	6	Tumulus à tombe à inhumation, restes d'un éventuel second tumulus	UT142/13 (tumulus 1), UT23 (tombe), UT76 (tumulus 2?)	
	5	Fosse indéterminée	UT145	
		<i>Colluvions</i>	UT147, UT104/144, UT182, UT105	
	4	Terrasse	UT173 (Ter2), UT113/149, UT109	
	3	Terrasse, niveau charbonneux, fosse indéterminée	UT188 (Ter1), UT136/175, UT81?, UT112	
II		<i>Colluvions, ravinement</i>	AC006a, AC013, AC016, AC014, UT108, UT151	Âge du Bronze moyen/final
	2	Traces d'occupation (niveaux charbonneux)	AC006b, AC017?	
I		<i>Colluvions</i>	AC009a, AC009b, AC008	Néolithique final/Âge du Bronze ancien
	1	Traces d'occupation (niveaux charbonneux)	AC011, AC012, AC018	
		<i>Colluvions grossières</i>	AC010	

Tableau chronologique synthétique des différentes périodes et phases d'occupation

La séquence stratigraphique comprend 9 périodes des plus anciennes traces d'occupation repérées jusqu'à l'utilisation contemporaine du terrain. Si les témoins les plus anciens (Néolithique et âge du Bronze) n'ont été identifiés que lors de l'excavation du terrain sous la surveillance de l'Archéologie cantonale et en particulier dans le profil nord-est du chantier, la zone de fouille montre quant à elle une occupation du site à peu près continue depuis la fin du Premier âge du Fer jusqu'au Moyen Âge central et tardif.

2.1 Périodes I et II: les premières traces d'occupation (Néolithique et âge du Bronze)

Phase 1 : traces d'occupation du Néolithique final et de l'âge du Bronze ancien

Les plus anciens dépôts naturels et les premières traces d'occupation n'ont été repérés que dans la zone nord du chantier (z4), pendant l'excavation sous la surveillance de l'Archéologie cantonale. Ils ont été documentés sous la forme d'une coupe schématique représentant trois profils partiels (**relevé 10**).

Le plus ancien niveau observé est une couche stérile de limon sableux et de blocs (UT-AC010). Directement à la surface de ces colluvions, des couches contenant des charbons de bois ont été observées (UT-AC011, AC018, AC012). La datation des charbons de bois prélevés dans les UT-AC012 (éch. BCE18/004S, cf. *Liste des datations ¹⁴C*) et AC018 (éch. BCE18/006S) permet de les situer respectivement au Néolithique final et au Bronze ancien. Ceux-ci n'ont pas livré de mobilier ou de structure. Ces niveaux sont scellés par des colluvions relativement grossières (UT-AC009a, AC009b) ainsi que des dépôts plus fins (AC008).

Il faut aussi noter la découverte, mais dans un contexte d'époque romaine (UT4, cf. Stg4), d'une lame d'outil en silex (K006-01) (**fig. 3**)⁹.

Phase 2 : traces d'occupation de l'âge du Bronze moyen/final

Au-dessus de ces colluvions, un niveau de limon sableux contenant des charbons épars (UT-AC006a) a lui aussi pu être daté par le radiocarbone (éch. BCE18/002S) du Bronze moyen/final. Ici encore, aucune structure ni mobilier n'a été observé. La présence de fragments de céramique (< 1 cm) a en revanche été constatée dans une couche du profil est (UT-AC017, **relevé 10**), mais la relation stratigraphique de cette couche avec les niveaux charbonneux n'a pu être établie. L'état de ces fragments n'a d'ailleurs pas permis leur prélèvement. D'importants dépôts naturels (colluvionnement, ravinement) recouvrent cette occupation.

En raison d'un pendage très fort en direction du sud-ouest dans cette zone en pied de talus, les niveaux les plus profonds observés lors de la surveillance par l'Archéologie cantonale n'ont pas été atteints dans la zone des fouilles réalisées par le bureau TERA. Pour les niveaux supérieurs de la coupe documentée par M. Ozainne, leur corrélation avec les niveaux atteints en fouille n'est pas possible à établir avec certitude. Dans le profil nord-ouest, la couche UT112, observée en fond de tranchée, paraît correspondre à la partie supérieure de l'UT-AC06a (**relevé 11**). Les autres sont visiblement plus récentes que celles documentées sur le profil StgAC (**relevé 10**). Il semble aussi que le niveau inférieur du profil sud-est du chantier (UT108, **relevé 13**), à savoir des colluvions grossières avec des nombreux blocs, corresponde à la même période que celle du dépôt de l'UT-AC14, quoique la nature de la matrice de ces deux couches diffère (**fig. 4**). Les colluvions UT108 sont vraisemblablement identiques encore à celles observées au fond sondage Sd1 (UT151, **relevé 13**). Toutes ces colluvions correspondent donc à un évènement naturel d'envergure qui a sans doute affecté la plus grande partie du site.

⁹ Voir chap 3. *Mobilier*.

2.2 Période III : les premiers aménagements et le(s) tumulus du Premier âge du Fer

Phase 3 : aménagement d'une terrasse (Ter1)

Le tout premier aménagement connu sur le site a été observé dans une tranchée étroite (3,20 × 0,75 m) réalisée dans le sondage Sd1, au-dessous du niveau du fond de fouille. Les colluvions UT151 montrent en effet à cet emplacement des signes de remaniement importants en surface (UT188, Ter1) (**fig. 5**). Le terrain naturel a été aplani, de toute évidence en décaissant à l'amont et en disposant une partie du matériel excavé, en particulier des blocs de taille importante (< 0,75 m), à l'aval. Si le replat est presque horizontal (env. 831,30 m), l'inclinaison est très marquée au-delà de la bordure sud (env. 35%) (**relevé 3 et 12**). Rien n'indique qu'il ait existé à cet emplacement un véritable mur de soutènement fait de pierres disposées régulièrement. Il semble plutôt que l'on se soit contenté d'un talus empierré. L'extension vers l'est et vers l'ouest de cette terrasse n'est pas connue. La couche de limon argileux brun-beige (UT113/149, Stg61, **relevé 12**) qui le recouvre dans la zone du sondage Sd1 pourrait correspondre à un ancien humus en partie lessivé.

Des fragments de charbons, trouvés dans la partie supérieure de l'empierrement de la terrasse (UT151), sont datés par radiocarbone entre 775 et 490 av. J.-C. (éch. BCE18/K076 ; voir liste des datations C14). Les résultats d'un modèle bayésien réalisé avec Oxcal, intégrant les dates de l'ensemble de la séquence du site¹⁰, permettent de restreindre cet intervalle entre 770 et 555 av. J.-C. (Annexe modèle bayésien).

Dans une petite tranchée (env. 0,40 × 0,40 m) réalisée au-dessous du niveau du fond de fouille lors du terrassement final (**relevé 3**), à 5 m environ au nord-est de la bordure de la terrasse Ter1, une couche possédant de nombreux charbons à l'interface supérieure a été repérée (UT175). La relation directe entre cette couche et le niveau supérieur de la terrasse n'est pas connue. L'altitude légèrement inférieure de la surface de cette couche (831,22 m) avait fait croire qu'il pouvait s'agir d'un niveau antérieur à la terrasse Ter1.

La datation des charbons prélevés dans l'UT175, pour laquelle le modèle bayésien indique un intervalle compris entre 550 et 465 av. J.-C., ainsi que le rapprochement entre cette couche et l'UT136 indiquent qu'elle est vraisemblablement postérieure. La densité de charbons observée dans la petite tranchée suggère l'existence d'un foyer à proximité, lequel n'a pas été repéré.

La présence d'une fosse (UT81) de petite dimension (0,35 m de diam.), a été observée dans un profil en bordure nord de la zone de fouille (Stg15). La chronologie de ce profil est mal assurée en raison de perturbations dues au terrassement, mais la fosse s'insère stratigraphiquement entre la période d'aménagement de la terrasse Ter1 (UT188) et celle du niveau supérieur de la terrasse Ter2 (UT173). Elle n'a pas livré de mobilier ni de charbon, et sa fonction reste indéterminée.

Phase 4 : aménagement d'une seconde terrasse (Ter2?)

La structure UT173 a été observée à 5 m de distance au nord de la bordure sud de la terrasse Ter1 (**relevé 3**). Il s'agit d'un empierrement d'orientation est-ouest fait de blocs irréguliers de dimension moyenne. Il est implanté sur des niveaux (UT136/175) postérieurs à la terrasse Ter1. Bien organisés, les blocs sont disposés en épi dans la partie sommitale (**fig. 6**). D'une largeur d'environ 1 m (NS), cette structure a été repérée en surface sur une longueur de 2 m environ. Une petite tranchée (2 × 1 m) réalisée de part et d'autre, légèrement au-dessous du fond de fouille, puis le démontage partiel de l'empierrement n'ont pas permis de récolter de mobilier. L'hypothèse d'une structure funéraire – une éventuelle

¹⁰ Le modèle bayésien, réalisé avec Oxcal 4.3.2, a permis de recalculer les intervalles calibrés des dates radiocarbones obtenues pour le site en tenant compte de leurs relations stratigraphiques. Le modèle intègre également les informations chronologiques obtenues à partir des éléments typologiques disponibles dans certaines UT (voir l'annexe « Modèle bayésien »).

tombe antérieure au tumulus 1 – n'a pas pu être étayée : aucune trace liée à une inhumation d'un défunt n'a été observée.

Les pierres sont en fait disposées dans la pente de manière à former un talus. La couche (UT113) qui s'appuyait du côté amont contre cette structure correspond d'ailleurs à celle que l'on trouve en léger contrebas du côté aval, avec une différence d'altitude de 0,30 à 0,50 m. Du côté amont, la couche est épaisse d'env. 0,50 m, à l'aval elle se pince progressivement entre l'empierrement de la terrasse Ter1 et les colluvions supérieures.

Il faut vraisemblablement identifier cette structure comme le soutènement d'une sorte de terrasse ou de plateforme (Ter2)¹¹. Des charbons piégés dans la matrice entre les pierres de l'UT173 sont datés par radiocarbone entre 725 et 390 av. J.-C., le modèle bayésien permettant de restreindre cet intervalle entre 540 et 465 av. J.-C. (éch. BCE18/K086).

Les couches UT147, UT144 et UT182 (**relevé 12**) recouvrent ensuite en partie la terrasse Ter1. Elles témoignent d'un colluvionnement important venant du nord-est, et correspondent stratigraphiquement à la couche UT105 relevée dans le profil Stg35.

Phase 5 : une fosse isolée

Dans ces colluvions, une fosse (UT145, phase 5, **relevé 3 et 12**) est implantée sous l'emprise du tumulus de la phase suivante. Son emplacement a d'abord fait penser à l'existence d'une sépulture antérieure. Observée d'abord en profil (Stg61) puis fouillée en plan (dim. nord-sud : 1,2 m, prof. 0,28 m), la fosse, dont le remplissage se distinguait peu du terrain encaissant, n'a livré aucun mobilier, charbon ou ossement. L'hypothèse d'une sépulture ne peut donc pas être confirmée.

Phase 6 : construction du tumulus

Le tumulus 1 (phase 6) est aménagé sur le niveau supérieur des colluvions (surface des UT104/144 et 182) et au-dessus du niveau d'insertion de la fosse (**relevés 4 et 12, fig. 7**). D'une envergure de 9,10 m (dim. max. NW-SE) et de forme ellipsoïdale, il est disposé sur l'emprise de l'ancienne terrasse amont (Ter2) et s'étend en bordure de l'ancienne terrasse aval (Ter1) qui devait encore être perceptible malgré les colluvions qui l'avaient déjà partiellement recouvertes.

L'état de conservation du tumulus 1 n'est pas homogène. Du côté sud, il a été endommagé non seulement par l'érosion postérieure naturelle, mais aussi par les travaux d'aménagement du site à l'époque romaine. Cela est perceptible aussi au niveau de la tombe centrale dont le fond ne se trouvait plus qu'à 0,29 m du niveau supérieur conservé du tumulus et ne possédait plus de couverture.

La bordure nord du tumulus a été fortement perturbée par les travaux d'excavation à la pelleuse avant l'intervention menée par le bureau TERA¹². La partie centrale a quant à elle été percée lors du creusement du sondage Sd1 à la pelleuse. Le tumulus est en revanche particulièrement bien préservé dans son quart nord-est, zone qui, la première, a été recouverte de colluvions (**fig. 8**). Cette partie permet de comprendre au mieux sa structure et sa conception. La hauteur maximale conservée y atteint 0,65 m.

Le tumulus est constitué d'une couronne faite de blocs irréguliers émoussés (< 0,70 m), parfois posés de chant. Ces blocs forment une rangée simple, à l'exception du côté sud-est où la couronne est dédoublée¹³. Le remplissage est fait de blocs et de pierres de dimensions variées (0,10-0,50 m) sans ordre strict, quoique l'on discerne par endroits une organisation des matériaux à peu près concentrique.

¹¹ Des côtés ouest et nord, là où cette structure aurait pu être investiguée de manière plus étendue, le terrain avait déjà été excavé avant les fouilles.

¹² Des déchets métalliques du chantier de construction ont été retrouvés à la surface de l'empierrement perturbé (K047).

¹³ Ce dédoublement ne correspond pas à deux phases éloignées dans le temps. Les niveaux d'implantation des blocs sont identiques. La couronne a de plus été perturbée par un événement ancien.

Le profil sud-est du sondage Sd1 (**relevé 12**) permet de se faire une idée de l'évolution de la construction du monument. Il montre en effet une succession d'étapes de travail. La première consiste en la mise en place d'un empierrement (UT142), relativement horizontal et continu autour de la tombe centrale UT23. Celui-ci avait d'abord fait penser à la présence d'un premier monument funéraire, antérieur au tumulus 1, et fonctionnant avec la fosse UT145. La fouille en plan a montré le contraire. Dans le remplissage du tumulus, les deux phases UT142 et UT13 ne se distinguent pas. Les lentilles UT146, UT141 et UT143 observées lors du second nettoyage et de l'extension du profil vers le nord-est (Stg61), apparaissent en fait comme des anomalies locales de très faible extension. Il s'agit plutôt de petits dépôts liés au chantier de construction du tumulus.

L'unique tombe (UT23), à inhumation, que le tumulus abritait a été partiellement détruite lors du creusement du sondage Sd1. Le monument et la tombe ont été reconnus lors de la rectification du profil sud-est du sondage et la découverte de mobilier funéraire en bronze (K017-01 et 02) (**fig. 9**). Seule la partie orientale de la sépulture a pu être fouillée. Elle a livré une plaque ornementale de ceinture légèrement fragmentée (32 cm de long. conservée x 10,5 cm de larg.) et de nombreux bracelets filiformes en bronze (au moins 44¹⁴) (**fig. 10**). Les objets découverts – des ornements féminins – peuvent être datés du Hallstatt final (Ha D2, cf. chap. 3, *Mobilier*), ce qui a permis d'intégrer l'âge de la sépulture UT23 dans le modèle bayésien en tant que date calendaire estimée à 525±30 av. J.-C. La présence de ces objets a garanti la conservation locale d'os de la défunte, dont une petite partie de l'avant-bras. Les autres ossements étaient à peu près complètement dégradés. Lors de la fouille fine de la tombe, seuls quelques fragments du crâne et de la mâchoire ainsi qu'une dent (immature ?¹⁵) ont pu être prélevés. Aucun autre objet ne se trouvait dans cette partie de la tombe¹⁶.

Dans la partie nord-ouest du chantier (z5) une tranchée a été ouverte le long du profil (Stg22 ; dim. max. 7,40 x 3,40), de part et d'autre du mur romain M1 (**relevés 4 et 11**). Au fond de cette tranchée, un empierrement comparable à celui du tumulus 1 a été mis au jour (tumulus 2?, **fig. 11**). Du côté sud, cet empierrement a été percé par le mur romain postérieur (M1), qui recycle visiblement une partie des blocs en fondation (**fig. 12**). Au nord et à l'est, il a été entièrement arraché lors des travaux d'excavation antérieurs à l'intervention menée par le bureau TERA. Dans son état de préservation, l'interprétation de cette éventuelle structure est difficile.

La séquence stratigraphique, en particulier la relation entre le mur M1 et cet empierrement, rappelle précisément la situation observée dans la zone du tumulus 1. Cela suggère non seulement que cet empierrement pouvait être contemporain du tumulus 1, mais qu'il pouvait lui aussi être une structure funéraire (tumulus 2?). La fouille complète de l'UT76 n'a pas permis de le confirmer. Des charbons prélevés, sous l'empierrement, dans la partie supérieure des colluvions/occupation lessivée UT112, ont permis de dater cette couche entre 750 et 410 av. J.-C. (éch. BCE18/K058).

En admettant que, à partir d'arguments stratigraphiques à l'échelle du site (relation au mur romain M1), cet empierrement est contemporain du tumulus 1, la date radiocarbone de l'UT112 a été intégrée au modèle bayésien avec la date calendaire définie par le mobilier de la sépulture de l'UT023, les deux dates définissant ainsi la phase 6. La date modélisée pour la sépulture correspond à un intervalle compris entre 535 et 450 av. J.-C., tandis que celle modélisée pour l'UT112 indique un intervalle compris entre 535 et 435 av. J.-C. (Annexe modèle bayésien).

Bien que, parmi ces différents vestiges de l'âge du Fer, seul le tumulus 1 ait été à peu près entièrement dégagé et fouillé – les autres étant détruits ou enfouis au-dessous du fond de fouille – ceux-ci témoignent d'une occupation importante du site de Villette à cette période. Malgré les épisodes de colluvionnement observés entre l'établissement de la première

¹⁴ Communication d'Emmanuelle Évéquoz du 30.10.2018.

¹⁵ Voir à ce propos la remarque préliminaire d'Anouk Bystritzky (cf. documentation de terrain, fiche UT23).

¹⁶ Trois fragments de bracelets ont en revanche été trouvés entre les pierres du tumulus 1, dans sa partie ouest (K055-01, K055-02, cf. Pln40a).

terrasse et le tumulus 1, ces deux aménagements ne sont pas très distants chronologiquement. Ceci amène à se demander si cette première terrasse n'a pas été réalisée dès l'origine dans le but d'y aménager des sépultures. L'empierrement UT76, s'il est bien lui-même une structure funéraire, pourrait étayer cette hypothèse. D'autres tumulus se trouvent peut-être à ce niveau dans les parcelles limitrophes.

2.3 Des traces diffuses de la fin de l'âge du Fer et du 1^{er} s. de notre ère

Colluvions fines

Le tumulus 1 et l'empierrement UT76 sont les dernières structures observées pour la période de l'âge du Fer. Dans les colluvions qui recouvrent le tumulus 1, peu de mobilier a été découvert. Dans le premier niveau postérieur au tumulus 1 (UT49, cf. Stg13), un seul fragment de céramique a été exhumé (K062). Il est daté du 1^{er} s. après J.-C. Les colluvions fines (UT17, **relevé 12**, et UT42, cf. Stg13 et Stg7) directement au-dessus de cette couche ont livré un tesson indigène du 1^{er} s. avant J.-C.¹⁷.

Ces tessons du 1^{er} s. avant et du 1^{er} s. après J.-C., bien que rares sur le site de Villette, indiquent une possible occupation de la zone vers le tournant de notre ère. Aucune structure n'a cependant été repérée pour cette période.

2.4 Période IV : Le complexe architectural romain

Phase 7a : construction du premier bâtiment (Bat1)

Avant l'implantation des premières constructions maçonnées romaines, l'anomalie topographique constituée par la terrasse Ter1 (UT188) et le tumulus 1 devait encore être bien perceptible dans le paysage, et ce malgré les différentes couches de colluvions qui les ont recouvertes.

Une première excavation – un travail de terrassement préparatoire – perce ensuite les colluvions (UT25). Celle-ci a pu être observée dans le sondage Sd1 (surface de l'UT25, **relevé 12**). Dans cette zone terrassée s'installe ensuite la première construction romaine (Bat1, Loc1). Seul l'angle nord (M138) de ce local a été observé en bordure de la zone de fouille (**relevé 5, fig. 13 et 14**). Le reste de ce bâti se prolonge dans la parcelle voisine et n'a pu être exploré. Son mur nord-est est fondé dans le pied du talus créé par l'excavation du terrain, ce qui explique la différence de niveau entre son ressaut de fondation (831,87 m) et celui du mur nord-ouest, d'ailleurs incliné (de 831,50 à 831,20 m dans la partie observée). Le niveau inférieur des fondations, réalisées en tranchée étroite (UT154), n'a pas été atteint.

Les deux murs du local Loc1, chaînés à l'angle, mesurent chacun 0,45 m d'épaisseur. La hauteur maximale observée est d'environ 1,30 m (1,10 m au-dessus du ressaut). Les parements extérieurs, faits principalement de pierres plates (< 0,2 m) régulièrement assises et aux joints serrés, sont enduits d'un revêtement de mortier tracé au fer. À l'intérieur, les parements sont couverts d'un enduit relativement fin et lissé, de couleur chaux naturelle (**fig. 15**)¹⁸. Le niveau des sols n'a pas pu être atteint.

À l'extérieur, au-dessus du niveau excavé (surface de l'UT25/168), ni les dépôts contemporains de la construction du mur (UT26/167, UT27, UT163), ni ceux contemporains de son utilisation (UT158/166 et UT157) n'ont livré de mobilier datable (cf. Stg6, Stg10, Stg64)¹⁹.

¹⁷ Fortement perturbée dans la zone entre le mur M1 et la tombe UT23, cette couche a aussi livré du matériel plus tardif. On y a trouvé un fragment de *tubulus* et des tessons du 3^e s. après J.-C. (K045A et K045B). Il faut sans doute les attribuer *a posteriori* à la couche UT114, identifiée en profil (**relevé 12**).

¹⁸ L'observation a pu en être faite après la destruction du mur nord-est du local lors du terrassement final.

¹⁹ Le tesson attribué à la couche UT25 lors de la rectification des profils est daté des 3-4^e s. (K025). Il est sans doute à attribuer à la perturbation de cette couche lors de la fondation du mur M1.

Cette première phase de construction du complexe romain ne peut donc qu'être située approximativement, entre le 1^{er} et le 3^e s. Mais la rareté du mobilier des 1^{er} et 2^e s. invite à une datation basse, au 2^e s. au plus tôt et sans doute dans la deuxième moitié du 2^e s. Le modèle bayésien ne permet pas de précision davantage cette chronologie, la phase 7a correspondant à un intervalle compris entre 80 et 225 (Annexe modèle bayésien).

Phase 7b : construction de l'abside (M2)

La deuxième phase du complexe architectural romain correspond à la construction d'une abside semi-circulaire (Loc2, **relevé 5**). Les fondations de cette abside, réalisées en tranchée étroite, percent plusieurs niveaux antérieurs (UT21, cf. Stg4 ; UT27, UT157 et UT158, cf. Stg6)²⁰. Le niveau d'implantation de l'abside correspond à la surface de l'UT157 (cf. Stg6 et Stg10) et à celle de l'UT17 (cf. Stg4). La succession stratigraphique montre bien que cette abside (Loc2) ne fait pas partie du même projet architectural que le local Loc1, ce qui est confirmé par la différence de traitement des maçonneries des deux constructions.

Les parements du mur courbe du local Loc2 sont réalisés avec soins, mais de manière moins fine que ceux du local Loc1. Les pierres, de moyenne dimension (0,15-0,40 m), forment des assises assez régulières, mais les joints des parements sont moins serrés et avec un mortier un peu moins abondant. Conservées sur une hauteur maximale de 1,25 m environ (0,90 m au-dessus du ressaut de fondation), ces maçonneries ont une épaisseur de 0,45 m (**fig. 17**).

Le niveau UT24 (cf. Stg6 et Stg10), qui correspond à un dépôt contemporain de l'utilisation du local Loc2, a livré de la céramique datée, sous réserve, du 2^e s. (K023). Rien n'indique donc qu'une longue période sépare la construction des locaux 1 et 2.

La liaison physique entre la maçonnerie de cette nouvelle construction (Loc2) et celle du premier local n'est pas connue. Elle se situe en dehors de la zone de fouille, dans la parcelle sud (**relevé 5**). La restitution du tracé de l'abside (diamètre intérieur à la corde de 4,44 m, soit 15 pieds romains) suppose que celle-ci vient simplement s'adosser au mur M138. Rien ne permet de dire si cette abside constitue un ajout fait à un local contemporain du précédent, ou si elle fait partie d'une salle entièrement nouvelle. Seules des fouilles dans la parcelle limitrophe pourraient répondre à cette question.

À l'intérieur du local Loc2, dans l'étroit espace entre le mur courbe de l'abside et le profil sud du chantier, a été observé un système de chauffage par le sol (hypocauste), avec sa *suspensura* (UT128) et les *tubuli* (UT129) disposés contre la paroi interne de l'abside (**fig. 16**, Stg4 et Pln47).

Du côté nord de l'abside, dans le sondage Sd3, une sorte de drain, ou plutôt un remblai (UT172) comblant une dépression dans un niveau de circulation (surface de l'UT169), a livré du matériel céramique du 2^e ou du 3^e s. (K084) (**fig. 18**, Pln66). La relation directe de cette couche avec l'abside n'a pas pu être vérifiée, mais la succession stratigraphique et les altitudes pourraient indiquer qu'elle est contemporaine de son utilisation.

Dans le niveau de destruction partiel de l'abside (UT4, Stg4), le mobilier céramique indique une date au 3^e s. (K073) pour cet événement. L'analyse bayésienne a révélé un intervalle compris entre 115 et 245 pour l'ensemble de la phase 7b.

Phase 7c et 7d : réparation de l'abside (M46) et construction du mur de clôture (M1)

À la suite de dégâts importants, peut-être causés par la chute de blocs, l'abside (M2) est réparée (M46, phase 7c, **relevé 5**). La nouvelle maçonnerie se distingue de l'ancienne par la disposition plus irrégulière des matériaux de construction et un mortier légèrement différent²¹. La réparation concerne la partie centrale de l'abside sur un tronçon de 1,20 m environ, mais

²⁰ Si deux tessons de céramique ont pu être datés du 3^e s. (K005B), ils proviennent d'une partie perturbée de la couche UT21, une perturbation qui a dû avoir lieu lors de la construction de l'abside M2 ou de sa réparation postérieure (M46). Ils ne peuvent servir de marqueur chronologique pour cette phase.

²¹ Cf. documentation de terrain, fiche UT46.

il est évident qu'une intervention plus conséquente sur les élévations disparues a dû être nécessaire.

A l'extérieur, le niveau de circulation (surface de l'UT24, **relevé 12**, et de l'UT132, cf. Stg49) est légèrement surélevé (de 0,10 à 0,20 m). La céramique retrouvée permet de dater ces remblais du 3^e s. (K095).

Un mur de clôture (M1, épaisseur de 0,60 m) est construit ensuite directement au nord du bâtiment Bat1 (**fig. 19 et 20**), et aligné sur le mur nord-ouest (M138) du local Loc1. Dans la zone du bâtiment Bat1, le mur de clôture est érigé au-dessus du niveau de circulation postérieur à la réfection de l'abside (UT131, cf. Stg49 ; UT3?, cf. Stg4), tandis que du côté amont il est implanté sur un niveau de colluvions plus anciennes (UT17). Plus au nord-ouest, il est installé sur d'autres dépôts naturels (UT55, cf. Stg14 ; UT110 et UT99, cf. Stg22). Une différence d'altitude des niveaux de circulation entre les côtés amont et aval du mur est perceptible. Les ressauts de fondation, de chaque côté, montrent le même décalage (environ 0,10-0,15 m). Le mur, observé de manière discontinue sur une longueur de près de 24 m et une hauteur de 1,40 m (1,0 m au-dessus de ressaut de fondation), suit le modelé naturel du terrain. Son extension est inconnue puisqu'il se poursuit au-delà de la zone de fouille aussi bien en direction du nord-ouest que du sud-est. Il a certainement été conçu non seulement pour délimiter le complexe architectural dans son ensemble, mais aussi pour le protéger d'éboulements et de colluvionnements.

Un seul trou d'écoulement (chantepleur) a été réalisé dans ce mur de clôture (M1), à peu près au niveau le plus bas du terrain (dans la zone du Sd3) (**fig. 21**). Il prend naissance à la base du mur, au niveau de marche d'origine. Il est formé de petites dalles et de pierres plates allongées. L'orifice est de section rectangulaire (0,14 x 0,22 m). La pente de la chantepleur est assez marquée, avec une quinzaine de centimètres de différence de niveau entre la face extérieure et la phase intérieure du mur (832,06 m ; 831,92 m). L'absence de chantepleur dans le mur M1 à l'amont du complexe bâti, malgré une altitude des niveaux de circulation à peu près équivalente à celle de la zone du sondage Sd3, s'explique par la présence du bâtiment qui interdit un tel écoulement à cet endroit.

A l'aval du mur M1, des déblais s'accumulent par la suite (UT130). À l'amont, des dépôts fins en cuvette viennent s'appuyer contre celui-ci (UT15, cf. Stg24 ; UT134, cf. Stg13 ; UT116, cf. Stg22 ; UT57, cf. Stg14). Ces dépôts, dus principalement au ravinement des sols, sont très localisés. En revanche, les colluvions UT41 et UT40 qui les recouvrent plus tard représentent des dépôts de plus grande étendue. L'UT40 a livré du mobilier romain du 3^e s. (K081).

On observe aussi, partiellement moulé dans ces couches, quelques blocs (< 1,2 m ; UT155, cf. Stg4), dont certains sont appuyés contre le mur. Ils sont contemporains ou antérieurs au dépôt de colluvions fines UT15 (cf. Stg4). La dimension de certains d'entre eux, nettement supérieure à celle des plus grosses pierres de la couronne du tumulus, exclut qu'ils aient été arrachés à ce monument. Ceux-ci correspondent sans doute à des chutes de pierres ponctuelles, ce qui ne serait pas surprenant dans cette zone en pied de talus abrupt. Ils n'ont cependant pas endommagé fortement la structure du mur M1 dans les parties observées.

A l'amont du mur M1, sur ces différentes couches de colluvions, se trouvait un épais remblai (UT16, phase 7d) relativement homogène contenant du mortier fusé en très grande quantité et des pierres variées. L'extension exacte vers l'est et vers l'ouest de ce niveau n'est pas connue, mais on ne le retrouve pas dans le profil nord-ouest du chantier (**relevé 11**), ni dans le profil nord-ouest du sondage 3 (Stg14). Il semble qu'il soit limité à la zone située à l'amont du complexe bâti (z1-2, Sd1). Il a pu servir de drain afin d'éviter à cet emplacement la stagnation d'eau. Il est visiblement composé de déblais issus de la destruction partielle de bâtiments maçonnés romains. C'est dans cette couche que l'on a retrouvé la plus grande partie de la céramique exhumée sur le site, soit une centaine de tessons (K010A-F). Parmi ces derniers, aucun n'est daté après le 3^e s. Cette profusion permet de situer de manière sûre la destruction du complexe romain puis son réaménagement au cours de ce siècle.

Plusieurs couches de démolition se superposent ensuite à l'amont du mur de clôture (UT20, UT58, UT115/052) et à l'aval (UT22, UT5, UT6, UT7, UT37, UT53?, UT97, cf. Stg4, Stg14, **relevés 11 et 12**). Elles résultent de différentes phases de destruction et d'érosion des

constructions romaines à l'abandon. Près d'une centaine de tessons ont été prélevés dans ces niveaux (K008B-C, K013, K022A-B, K034A-E, K038, K041, K063, K072). Si, dans la plus ancienne couche de démolition observée, la céramique récoltée peut être datée à partir du 3^e s. (K022A-B), d'autres ont livré du mobilier postérieur à 350 (K008B, K013, K037). Le complexe romain – ou du moins la zone des bâtiments fouillés – paraît donc largement délaissé à partir de la deuxième moitié du 4^e s.

2.5 Période V : réaménagements de la fin de l'Antiquité tardive ou du début du haut Moyen Âge

Phase 8 : un nouveau bâtiment (Bat2) sur les ruines du complexe romain

Une petite maçonnerie de 0,28 m de largeur et de 0,55 m (UT139) de longueur est construite plus tard sur les niveaux de démolition UT152/005 (**fig. 13 et 22, relevé 6**), entre le mur de clôture M1 et les murs du local 1 (M138). Elle mesure seulement 0,23 m de hauteur. Construite contre terre du côté nord-ouest, elle est parementée sur sa face sud-est. Une mortaise en mortier (UT160), réalisée dans l'angle formé par cette maçonnerie et l'ancien mur de clôture M1 (**fig. 23**), devait servir au tenon d'une petite porte (embrasure de 0,55 m). La maçonnerie UT139 correspond donc à un seuil (alt. 832,58 m). Les murs M1 et M138 paraissent abattus et même arasés de manière à peu près systématique à ce moment. Une langue de mortier de UT139 passe d'ailleurs au-dessus du mur écriêté M1. Ces éléments permettent de restituer un bâtiment (Bat2) remployant comme soubassement l'ancien mur de clôture M1 et le mur M138 NW. Seule une petite partie de ce bâtiment a pu être observée, le reste se trouvant au sud de la limite de fouille.

Du côté nord du seuil, le niveau de marche contemporain se trouve à la surface des niveaux de démolition d'époque romaine (UT5, UT7, UT20, **relevé 12**). À l'intérieur, nous n'avons pas identifié de niveau de circulation. L'altitude de la crête du mur M138 NE (832,44 m), plus basse que celle du mur M138 NW donne certainement le niveau de marche d'origine dans ce bâtiment. En effet, ce mur, situé dans l'espace intérieur du bâtiment Bat2, n'avait plus aucun rôle structurel et a dû être arraché au niveau du sol. L'UT165, un peu plus bas (altitude d'apparition : 832,35 m, cf. Pln59), avec ses nombreuses pierres disposées plus au moins horizontalement, pourrait correspondre néanmoins à un remblai de nivellement sur lequel le sol en terre, visiblement lessivé, devait se trouver (**fig. 24**).

Aucun élément ne nous permet de dater avec précision cette phase, si ce n'est qu'elle est postérieure à 350 après J.-C. (K013) et antérieure au foyer en creux UT120 daté de 720-940 (éch. BCE18/K064), lequel viendra plus tard percer les différentes couches à cet endroit. Toutefois, une date pour le bâtiment 2 a pu être interpolée avec le modèle bayésien, indiquant un intervalle compris entre 325 et 460 (Annexe modèle bayésien).

2.6 Période VI : nouveaux réaménagements du haut Moyen Âge

Phase 9a: construction d'un long mur de limite et vestiges d'un bâtiment (Bat3) sur sablière basse (?)

Un mur en pierre sèche, conservé par endroits sur un seul lit (M184, altitude d'apparition de 833,09 m, cf. **relevé 7, fig. 25**) dans la zone du sondage 3 et observé dans les profils du sondage Sd1 (M183, M185, alt. 832,80 et 832,74 m, cf. **relevé 12** et Stg4) est implanté ensuite sur des niveaux de démolition tardifs des structures romaines (UT20) ou des remblais anciens (UT16) qu'il perce légèrement. Le mur est fait de pierres irrégulières, souvent émoussées et relativement plates. Les plus gros modules dépassent les 0,60 m, mais la plupart des pierres de construction ne mesurent que 0,15-0,30 m. Il est possible de

restituer ce mur sur une longueur minimale de 9 m environ²². Il faut noter cependant que l'on ne retrouve pas son prolongement dans le profil nord-ouest du chantier, à moins d'admettre que les blocs étalés de l'UT96 en provenaient à l'origine (**relevé 11**).

De chaque côté du mur, les niveaux de marche sont à peu près à la même altitude (env. 832,75 m). Il ne s'agit donc pas d'un mur de terrasse, mais d'un mur de bâtiment ou, plus vraisemblablement, d'un mur de limite. En effet, à l'aval, la configuration du terrain interdit de restituer un bâtiment s'étendant dans cette direction. Tandis qu'à l'amont, des dépôts en cuvette (UT19, zone de stagnation d'eau) contre le mur M185 indiquent que l'espace n'était pas couvert de ce côté. Ce mur, qu'il faut donc interpréter comme une clôture, paraît perpétuer le concept architectural du complexe romain.

Quelques pierres plates (<0,65m, UT78) à l'aval de ce mur pourraient avoir servi d'appuis pour des supports verticaux ou, plus vraisemblablement, de solin discontinu pour une sablière basse (**relevé 7, fig. 26**). Ces pierres comblent par endroits des arrachements dans le mur romain M1, ou sont disposées à plat à la surface de l'UT16. La zone d'observation trop petite ne permet pas d'être certain du plan que ces éléments dessinent. Ces derniers paraissent néanmoins tracer une limite d'orientation NW-SE parallèle au mur M183/184/185. Il pourrait s'agir de la paroi nord d'un bâtiment (Bat3?) se déployant dans la parcelle au sud de la zone de fouilles. Ce nouveau bâtiment pourrait reprendre le plan du bâtiment de la période précédente et, à vrai dire, n'être qu'une reconstruction de celui-ci. Dans le modèle bayésien, une date a été interpolée pour l'éventuel bâtiment 3, correspondant à un intervalle compris entre 375 et 530 (Annexe modèle bayésien). Trop d'incertitudes résident cependant autour de cette phase d'occupation. Cette date modélisée doit être considérée avec prudence.

Phase 9b : reconstruction partielle du mur de limite

Au-dessus de la fine couche de dépôt en cuvette (UT19) contre le mur de clôture en pierre sèche ont été observées les traces d'un foyer (UT18, cf. Stg4) d'un diamètre max. de 0,80 m²³. Du foyer lui-même il ne reste guère qu'une couche cendreuse et de la terre rubéfiée (**fig. 25**).

Sans doute vers le même moment – mais la relation stratigraphique avec ce foyer ne peut pas être établie – des colluvions fines (UT45, cf. **relevé 13**, Stg7, Stg9, Stg12) viennent recouvrir en partie, depuis le nord-est, les structures. Elles ne semblent affecter que la partie orientale des constructions de la phase 9a. Elles ont sans doute entraîné la destruction partielle du mur de clôture à cet emplacement. On constate en tout cas la construction d'un nouveau tronçon de mur (M33, M31, cf. **relevé 7**, Stg7 et Stg9) au-dessus de ces dépôts et à une altitude un peu plus élevée (833,21 et 833,28 m) que le mur M185 mais dans le prolongement de celui-ci. Puis, remblayé à l'amont (UT39, cf. Stg7 et Stg9), le mur M31/M33 sert désormais de véritable muret de terrasse (Ter3).

Dans les couches supérieures correspondant à la destruction et l'abandon de ces structures en pierres sèche (UT30, cf. Stg9), un tesson de céramique daté des 4^e/5^e s. (K106) a pu être prélevé.

2.7 Période VII : un bâtiment à foyers (Bat4) de la période carolingienne

Phases 10a et 10b

Durant la période suivante, un nouveau bâtiment (Bat4) est installé à l'emplacement du précédent. Cette fois cependant l'édifice se développe un peu plus au nord, sur le replat formé par les vestiges antérieurs.

²² Il faut d'ailleurs mettre en relation ce mur (M18, M184, M185) avec le mur M31/M33 qui prolonge le premier dans le même axe. La succession des couches et la différence d'altitude interdit cependant de mettre ces deux tronçons dans la même phase.

²³ Celui-ci n'a pas pu être daté par ¹⁴C (éch. BCE18/K033).

Un premier foyer en creux de petite dimension (UT120, phase 10a, cf. **relevé 8**) et à peu près carré (0,80 × 0,75 m) est implanté dans le niveau de marche contemporain (surface de UT8) (**fig. 27**). Il est daté de 720-940 (éch. BCE18/K064), la date modélisée indiquant un intervalle plus court compris entre 730 et 890 (Annexe modèle bayésien). Le foyer est rapidement comblé (UT122) et remplacé par une nouvelle zone de combustion de dimension bien plus importante (UT43, phase 10b, cf. **relevé 8** et **fig. 28**). L'analyse du radiocarbone a donné pour ce nouveau foyer une date à peine plus récente, de 730-950 (BCE18/K032), mais l'intervalle modélisé est compris lui entre 785 et 945 (Annexe modèle bayésien). Le niveau de marche (surface de l'UT8) ne change pas. Au sol, quelques pierres plates marquent les limites du bâtiment ou de supports internes à la construction. Un poteau (UT102) perce l'ancien foyer comblé (UT120 et 122). Implanté en bordure de pente, ce poteau marque la limite sud de l'édifice. Une importante zone de défournement (UT73) s'étend directement au sud-est du grand foyer (UT43), dans la zone restituée de l'édifice. La limite très nette du côté nord-ouest de cette zone de défournement permet de restituer une cloison ou une séparation disparue entre cette dernière et le foyer lui-même. Elle forme une limite perpendiculaire à la rupture de pente du côté sud de l'édifice (cf. Pln21). Du côté nord-ouest du grand foyer cette fois, quelques blocs disposés perpendiculaires à la rupture de pente pourraient dessiner une autre limite. Un peu plus à l'ouest, la structure en creux UT94 pourrait être le négatif d'arrachement d'un bloc. Sa position dans le prolongement de la limite sud du bâtiment Bat4, pourrait indiquer l'extension minimale de l'édifice dans cette direction. Ce sont les seuls éléments préservés de ce bâtiment.

Une petite fosse de fonction indéterminée (UT36) a été observée un peu à l'amont du bâtiment Bat4. Si son niveau d'insertion est incertain en raison des travaux de terrassement du chantier de construction, il faut vraisemblablement la raccrocher à cette phase d'occupation.

La couche UT11 qui recouvre ensuite tous ces vestiges correspond à la phase d'abandon et de destruction du bâtiment Bat4 (**relevé 12**). Dans le profil sud-est du chantier (**relevé 11**), l'UT177 – qui correspond à la même période que l'UT11 – a livré des charbons datés vers 780-990 (éch. BCE18/K098). Ils pourraient correspondre à des charbons de foyers lessivés dans la pente.

Les niveaux d'abandon et de destruction ont livré beaucoup de mobilier archéologique : fragments de récipients en pierre ollaire, galet de chauffe, clou et scories de fer et nombreux os d'animaux (K012A-F, K046 et K052). Ces trouvailles suggèrent l'utilisation à la fois domestique et artisanale du bâtiment Bat4. Les prélèvements de sédiments effectués dans la couche UT11 en vue de l'analyse des macrorestes se sont d'ailleurs révélés positifs, non seulement aux céréales, mais aussi aux fabacées (K012G et K044, cf. *Liste des prélèvements macrorestes*). Un os long prélevé dans cette couche a donné une datation entre la fin du 10^e et la première moitié du 12^e s., voire, avec un bon degré de probabilité, entre 975 et 1050 environ (82% ; éch. BCE18_K12C).

2.8 Période VIII : un bâtiment médiéval (Bat5) de fonction agricole et pastorale (?) et un nouveau mur de terrasse (M100)

Phases 11a et 11b

De nouvelles constructions en pierre sèche viennent plus tard percer les niveaux d'abandon et de destruction du bâtiment carolingien. Un édifice aménagé avec un soubassement de gros blocs (<0,85 m), le bâtiment Bat5 (M070), a pu être observé partiellement en limite sud de la zone de fouille (phase 10a, **relevé 9**), un peu à l'ouest du précédent édifice. Le nouveau bâtiment est construit contre le talus naturel du côté nord. Seule une partie de son soubassement massif en est préservée. Sous la structure de ce bâtiment a été identifiée une structure en creux qu'il faut peut-être identifier à un trou de poteau antérieur, à moins qu'il ne s'agisse des traces d'un aménagement lié au chantier de construction de l'édifice (UT68, cf. Stg17 et **relevé 9**).

Au même moment ou un petit peu plus tard – la relation stratigraphique exacte de ces deux constructions n'est pas sûre – un muret de terrasse (M100, Ter4) en pierre sèche (pierres de 0,15 à 0,50 m) est construit du côté sud-est du bâtiment Bat5 (phase 10b). Il est orienté selon le même axe à peu près que le mur nord de ce dernier.

Sur le replat à l'arrière du bâtiment Bat5, deux structures ont été repérées, un trou de poteau (UT75, diam. 0,30 m environ, phase 11a) ainsi que les restes d'un foyer (UT186, diam. max 0,80 m, phase 11b).

Il faut rattacher à cette phase 10 une autre structure (UT90) observée dans le profil nord-ouest du chantier (**relevé 11**). Cet aménagement est formé d'une grande dalle horizontale (<1 m), reposant sur plusieurs blocs plus petits. Il est possible qu'il s'agisse de l'angle d'un bâtiment presque complètement détruit, ou plus exactement du support d'angle d'un bâtiment (Bat6 ?). Avec sa face sud-est parementée parallèlement à la pente, on ne peut en tout cas l'interpréter comme un mur de terrasse.

Dans la partie supérieure de la couche UT89 (**relevé 11**), dont la surface correspond au niveau de marche contemporain de cet éventuel bâtiment Bat6, des charbons ont pu être prélevés et datés. Ils permettent de situer approximativement l'utilisation de cette construction à partir du 13^e s. (éch. BCE18/K059).

Un tesson de céramique médiéval (K014), découvert à la base du niveau UT12, lequel scelle les murs M100 (Ter4) et M70 (Bat5) détruits, pourrait confirmer que ces différents aménagements appartiennent bien à la même période que l'aménagement UT90.

Malgré l'état de conservation des différents vestiges de cette phase 10 et l'observation très partielle qu'il a pu en être fait, leur nature relativement modeste ainsi que le contexte historique et topographique font penser qu'il s'agit là de constructions de fonction agricole et pastorale.

2.9 Période IX : activités pastorales

Les épais niveaux UT12 et UT29 (cf. **relevé 12 et 13** et Stg6), qui scellent les constructions médiévales, correspondent à des couches litées de colluvionnements successifs. Leurs sédiments sombres et gras trahissent le développement d'humus à différentes périodes. L'absence de terrasses artificielles et de traces de labour fait penser que, durant cette période, le site est laissé à l'état de pré. Les dernières structures attestées correspondent à des fosses remplies de pierres en vrac s'insérant directement à la surface de l'UT29 (cf. Stg6). Elles étaient recouvertes par le niveau d'humus actuel.

3 MOBILIER

Métal :	1 plaque de ceinture en bronze, nombreux fragments de bracelets filiforme en bronze, 1 fibule en bronze émaillée, 1 objet en bronze indéterminé ; 14 fragments de clous ou rivets en fer ; scories de fer
Céramique :	332 tessons
Pierre :	7 fragments de récipients (?) en pierre ollaire, autres fragments en pierre ollaire indéterminés; 1 lame de silex taillée ; 1 galet de chauffe
Verre :	2 fragments de verre
Enduits :	2 fragments d'enduits peints
TCA	24 sachets
Faune :	86 sachets

Le mobilier exhumé a fait l'objet d'un examen superficiel et attend une analyse détaillée. C'est le cas tout d'abord d'une lame de silex taillée (5,1 × 1,7 × 0,5 cm, K006-1), retrouvée dans un contexte d'époque romaine (**fig. 3**). Il s'agit par ailleurs du seul objet retrouvé pour la période du Néolithique.

Parmi les plus importants artefacts mis au jour figure évidemment le mobilier funéraire de la tombe (UT23) du tumulus 1 (**fig. 10**). La plaque de ceinture (K017-1) exhumée peut être rapprochée d'autres exemples découverts dans le nord-ouest de Suisse, en particulier celle de Valangin (NE) (tumulus 5, T2, daté du Ha D2)²⁴. D'autres plaques de ceintures, dans le sud de l'Allemagne ou l'est de la France peuvent servir de comparaison, comme celle d'une sépulture (T3) du tumulus (1) de la nécropole de Rivière-Drugeon (Arlier, France), même si celle-ci est considérée comme plus précoce (transition Ha D1/Ha D2)²⁵. Ce mobilier est interprété comme celui d'individus de sexe féminin.

Avec cette plaque-boucle, de nombreux fragments de bracelets filiforme en bronze (K017-2) ont été exhumés dans la tombe de Villette. Trois autres petits fragments ont été retrouvés piégés entre les pierres du tumulus 1. Ils correspondent sans doute dans ce cas à un objet ou plusieurs objets perdus et brisés sans lien avec la tombe (K055-01, K055-02).

Parmi les trouvailles d'époque romaine, il faut mentionner en particulier la fibule circulaire émaillée à pourtour en étoile à huit branches festonnées qui peut être datée du 3^e s. (K050-1, **fig. 29**). Il s'agit d'un type de fibule relativement rare²⁶. L'exemple de Villette est néanmoins pratiquement identique à une broche du musée gallo-romain de Biesheim, Oedenburg (France), datée du 3^e s. (inv. 1994.3.184) (**fig. 30**). On peut le rapprocher encore d'autres fibules, tels que celles à 6 branches de Bonn (DE)²⁷ ou de Neftenbach (ZH)²⁸, lesquelles sont généralement situées chronologiquement au 2^e ou au 3^e s.

Parmi les fragments de récipients en pierre ollaire retrouvés, la plupart proviennent des niveaux altomédiévaux (période VI, K078-1 : 1 fragment ; et période VII, K012E-1, K012B-1, K012F, K046-1, K078-1, K104-1 : fragments de 5 récipients). Un seul fragment provient d'un contexte romain (période IV, K023-1).

La quasi-totalité de la céramique exhumée date en revanche de la période romaine (voir chap. 7, *Détermination des céramiques*). La majorité provient de couches de remblai de l'époque du bas Empire et des derniers niveaux de destruction du complexe de bâtiments romains. Un seul tesson remonte au Moyen Âge (12^e-15^e s., K014). Quelques rares fragments datent de l'époque moderne.

4 CONCLUSION

Les nouvelles découvertes archéologiques effectuées à Villette complètent et enrichissent nos connaissances sur l'occupation de la Vallée de Bagnes aux époques préhistoriques et historiques. Le site montre une exceptionnelle continuité d'occupation depuis le Néolithique final jusque vers la fin de la période médiévale, malgré un hiatus durant le Second âge du Fer. Neuf périodes d'occupation ont pu être distinguées. Si les premières (périodes I : Néolithique final/Âge du Bronze ancien ; et II : Âge du Bronze moyen/final) n'ont laissé que des traces fugaces, il faut rappeler que le village de Villette a déjà livré, lors de fouilles réalisées en 1984 et 1985 au chemin des Dzardis 64, des tombes de type Chamblande datée par ¹⁴C vers 3900-3300 avant J.-C.²⁹ Ce gisement archéologique, à moins de 300 m

²⁴ SPM IV, p. 54-56, fig. 20B, p. 57, et p. 340, avec références.

²⁵ Françoise PASSARD-URLACHER, Jean-Pierre URLACHER et Claude OLIVE, « Contribution à l'étude du peuplement de la plaine de l'Arlier à l'Âge du Bronze et à l'Âge du Fer : les tertres de Chaffois 'Sur le Mont, La Carrière' et de La Rivière-Drugeon 'Les Poiriers' (Doubs) dans leur environnement archéologique » [en ligne], dans *Revue archéologique de l'Est*, 64 (2015), [URL : <https://journals.openedition.org/rae/8395>], § 49 et 70-71, et fig. 14c1.

²⁶ Jennifer KOMP, « Wiederentdeckungen im Depot : Ausgewählte Funde der Grabung Egon Gersbach im Bonner Legionslager », dans *Bonner Jahrbücher*, 212 (2012), p. 113.

²⁷ Jennifer KOMP, « Wiederentdeckungen im Depot : Ausgewählte Funde der Grabung Egon Gersbach im Bonner Legionslager », dans *Bonner Jahrbücher*, 212 (2012), p. 113-114, fig. 36, inv. 1960.3903,0-2.

²⁸ Jürg RYCHENER, *Der Römische Gutshof in Neftenbach: Katalog, Tafeln, Tabellen* (Monographien der Kantonsarchäologie Zürich 31, 2), Zürich – Egg, 2009, p. 173, n° 3704, pl. 125, FN 2112.10.01.

²⁹ Nagui ELBIALI et al., « Cistes néolithiques de type Chamblandes à Bagnes – Villette (Valais, Suisse) », *Annuaire de la société suisse de préhistoire et d'archéologie*, 70, 1987, pp. 7–33.

de celui du chemin des Etales 42, atteste l'occupation précoce de ce site en fond de vallée, mais à proximité de voies de circulation importantes.

Les premières structures d'envergures repérées lors des fouilles de 2018 remontent quant à elles au Premier âge du Fer (période III). Le grand tumulus découvert ainsi que le mobilier que son unique tombe a livré doivent être rapprochés de ceux découverts dans le nord de la Suisse et dans les régions limitrophes. Il se distingue en revanche d'autres monuments valaisans. Il représente pour cette raison une découverte exceptionnelle pour notre région. Installé sur une terrasse précédemment aménagée, ce tumulus pourrait ne pas être isolé. Il est vraisemblable que d'autres sépultures du même type existaient dans les environs directs. La parcelle au nord-ouest de celle excavée, qui n'est pas encore occupée par des constructions modernes, pourrait receler de tels monuments.

Après un hiatus dans l'occupation du site durant le Second âge du Fer, le site est réoccupé à la période romaine (période IV), période durant laquelle se développe, en plusieurs étapes, un grand complexe architectural. Étant donné que l'essentiel de cet ensemble s'étend au sud de la zone de fouille, une vue d'ensemble manque pour en proposer une interprétation détaillée. La présence d'une salle chauffée à abside de relativement grande dimension, sans doute une salle de thermes, montre à elle seule le statut et l'importance de ce complexe. L'ensemble était de plus délimité par un long mur de clôture. Ces constructions font penser que la partie fouillée du complexe romain correspond à la zone résidentielle privée d'une *villa rustica*. Mais il reste possible qu'il s'agisse également d'un lieu d'étape et d'accueil à mettre en relation avec différentes voies de circulations du Val de Bagnes³⁰. Il faut rappeler que Villette est situé sur le chemin de la Fenêtre de Durand, où des clous de chaussure romains ont été mis au jour³¹ et à proximité de la voie romaine du Grand-Saint-Bernard³².

Les découvertes réalisées en 2017, à 160 m seulement du nouveau site, ont déjà montré l'importance du site romain de Villette (BCV17). La qualité de la construction et les nombreux fragments de décor peint ainsi que le type de mobilier récolté ont permis d'interpréter les vestiges mis au jour comme ceux d'un habitat d'un certain statut. Mais les liens que ces deux sites entretenaient entre eux restent incertains. Il est possible qu'ils aient fait partie d'un même grand complexe, mais d'autres découvertes seraient nécessaires pour le démontrer. Il faut noter cependant que celui fouillé en 2017 se développe déjà à partir de la fin du 1^{er} siècle après J.-C., tandis que les nouvelles structures exhumées à Villette ne sont sans doute pas érigées avant la deuxième moitié du 2^e siècle. Les deux ensembles perdureront jusqu'au 4^e siècle, avant d'être réaménagés, après d'importantes destructions, vers le début du haut Moyen Âge.

Sur les ruines romaines un nouveau bâtiment est installé peu après les destructions du 4^e siècle. La datation de cette période d'occupation (période V) n'est pas aussi bien établie que pour les autres phases, mais on peut la situer vers la fin du 4^e siècle et au début du haut Moyen Âge. Il faut noter ici encore que le même processus a été observé sur le site de BCV17, c'est-à-dire la réoccupation rapide, aux 5^e-6^e siècles, des ruines romaines.

Durant la période suivante (période VI), le site est réaménagé une nouvelle fois. Le bâtiment qui s'installe à l'emplacement de celui de la période précédente et la construction d'un mur de clôture en pierre sèche trahissent une forme de continuité avec la période romaine dans l'occupation de l'espace. Ce n'est que lors de la période VII que le réaménagement du site s'affranchit tout à fait de l'organisation architecturale antérieure. Le nouveau bâtiment ne se développe plus à l'emplacement des précédents, mais légèrement plus au nord, sur le replat formé par le comblement progressif à l'aval du mur de clôture romain. C'est ce bâtiment qui nous est le mieux connu pour la période du haut Moyen Âge, autant du point de vue des

³⁰ Les deux interprétations ne s'excluent d'ailleurs pas nécessairement. Fabien COLLEONI, « Stations routières en Gaule romaine : architecture, équipements et fonctions », *Gallia* [En ligne], 73-1 | 2016, mis en ligne le 1 décembre 2018, consulté le 19 août 2019. URL : <http://journals.openedition.org/gallia/420>.

³¹ Projet de prospections archéologiques Interreg 2013 – 2015 : Olivier PACCOLAT, Fabien MARET, *Prospections Valais – Vallée d'Aoste (2013 – 2014)*, rapport d'intervention de 2015.

³² *Vallis Poenina, Le Valais à l'époque romaine (1^{er} siècle – V^e siècle)*, catalogue de l'exposition. Musées cantonaux du Valais, Sion 1998, en particulier « Le val de Bagnes », pp. 175-177.

structures préservées que du mobilier exhumé. Ces éléments permettent de conclure que l'édifice, construit en matériaux légers, correspond à un habitat où l'on se livrait en même temps à des activités artisanales – en particulier une activité de forge – et sans doute agropastorales. Les datations obtenues sur les charbons prélevés sur deux foyers permettent de situer cette période d'occupation entre le 8^e et le 10^e siècle, avec une période d'abandon vers l'an mille environ. Au même moment, sur le site de BCV17, on constate que le site, bien que toujours employé, sert désormais de zone de sépulture. Deux tombes y ont été découvertes. Il est donc tentant de mettre en relation l'habitat découvert sur le nouveau site de Villette avec ces sépultures contemporaines.

Le site est à nouveau réaménagé au Moyen Âge central et tardif. Un nouveau bâtiment, sans doute de fonction agricole ou agropastorale, s'installe en bordure sud de la zone de fouille, mais à un emplacement à nouveau différent des vestiges de la période précédente. Un mur de terrasse est construit directement au sud de cette construction massive en pierre sèche. Si les fouilles de 2017 n'ont pas livré dans ce cas de traces d'occupation de cette période, il faut rappeler que la maison de la Cure, au Châble, est mentionnée dans les sources aux 12^e - 13^e siècles déjà³³ et que la maison de l'Abbaye remonterait quant à elle au moins au 14^e siècle³⁴. L'exploitation agropastorale de la zone de Villette à ce moment n'a donc rien d'inattendu.

Par la suite, le site n'est plus guère occupé, mais paraît laissé à l'état de pré, une situation qui perdurera jusqu'à nos jours.

³³ C. Payot, A. Meilland, M. Hiroz, *Mandat « Musée de Bagnes : ancienne cure du Châble »*. *Rapport d'activités, premiers résultats historiques et description architecturale*. Rapport du bureau CLIO, 2011.

³⁴ C. Payot, M. Hiroz, *Projet « Maison abbatiale du Châble »*. *Recherche historique et description architecturale*. Rapport du bureau CLIO, 2010.

5 FIGURES

Sauf mention contraire dans les légendes des illustrations, tous les dessins et photographies sont du bureau TERA Sàrl.



Fig. 1. Bagnes. Villette. Vue générale du village et position des deux sites BCE18 et BCV17. Fond de carte © Swisstopo.



Fig. 2. Bagnes. Villette. Vue générale aérienne du site. © SBMA-AC.



Fig. 3. Bagnes. Villette. Lame de silex trouvée dans un contexte romain.



Fig. 4. Bagnes. Villette. Zone 3. Colluvions grossières UT108. Vue vers le sud-ouest.



Fig. 5. Bagnes. Villette. Tranchée au fond du sondage 1. Colluvions grossières UT151 (Sd1) remaniée en surface (UT188) pour l'aménagement d'une terrasse (Ter1). Vue vers le sud-ouest.



Fig. 6. Bagnes. Villette. Zone 1. Empierrement organisé en talus, vraisemblablement le soutènement d'une terrasse (Ter2) ou d'une plateforme. Vue vers le nord-est.



Fig. 7. Bagnes. Villette. Vue aérienne du tumulus 1. © SBMA-AC



Fig. 8. Bagnes. Villette. Vue générale du tumulus 1 depuis le nord-est. La couronne de blocs est, dans cette partie, presque intacte.



Fig. 9. Bagnes. Villette. Sd 1. Mobilier funéraire de la tombe (UT23) du tumulus 1 en cours de dégagement. Vue vers l'est.



Fig. 10. Bagnes. Villette. Plaque de ceinture de la tombe (UT23) du tumulus 1 après restauration.
© SBMA-AC



Fig. 11. Bagnes. Villette. Zone 5. Empierrement UT76. L'empierrement a été entièrement arraché à l'est et au nord par les travaux de terrassement si bien que ses limites d'origine ne sont pas connues. Il s'étend dans la parcelle limitrophe au nord-ouest. Vue vers le nord-ouest.



Fig. 12. Bagnes. Villette. Zone 5. Le mur romain (M1) empiète sur la bordure sud de l'empierrement UT76, ce qui évoque précisément la situation du tumulus 1 plus à l'est. Vue vers le nord.



Fig. 13. Bagnes. Villette. Sd1/zone 2. L'angle du local 1 du bâtiment romain 1 (M138) apparaît seulement en bordure sud de la fouille. Du côté nord-est, la large semelle du mur montre une importante différence d'altitude par rapport au ressaut de fondation du côté nord-ouest. Vue vers le sud-est.



Fig. 14. Bagnes. Villette. Sd1/zone 2. L'angle du local 1 du bâtiment romain 1 lors de son dégagement final à la pelle-mécanique, après l'arrachage du mur de clôture M1. Vue vers le sud.



Fig. 15. Bagnes. Villette. Zone 2. Le revêtement des parements intérieurs des murs (M138) du local 1 du bâtiment 1 n'ont pu être observés que lors de l'arrachage partiel de cette construction à la pelle-mécanique. Vue vers le sud-ouest.

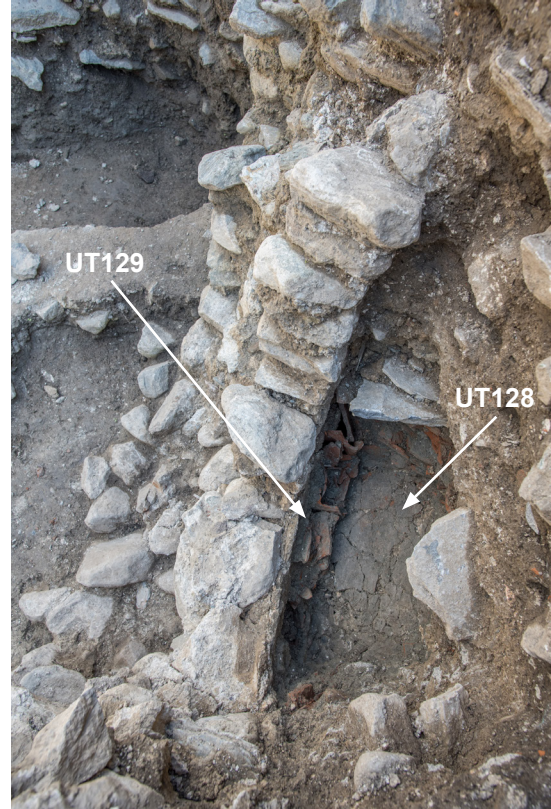


Fig. 16. Bagnes. Villette. Sondage 1. Le sol (UT128) du local à abside (Loc2) était préservé en place, tout comme les tubuli (UT129) contre le parement intérieur. Vue vers le sud-est.

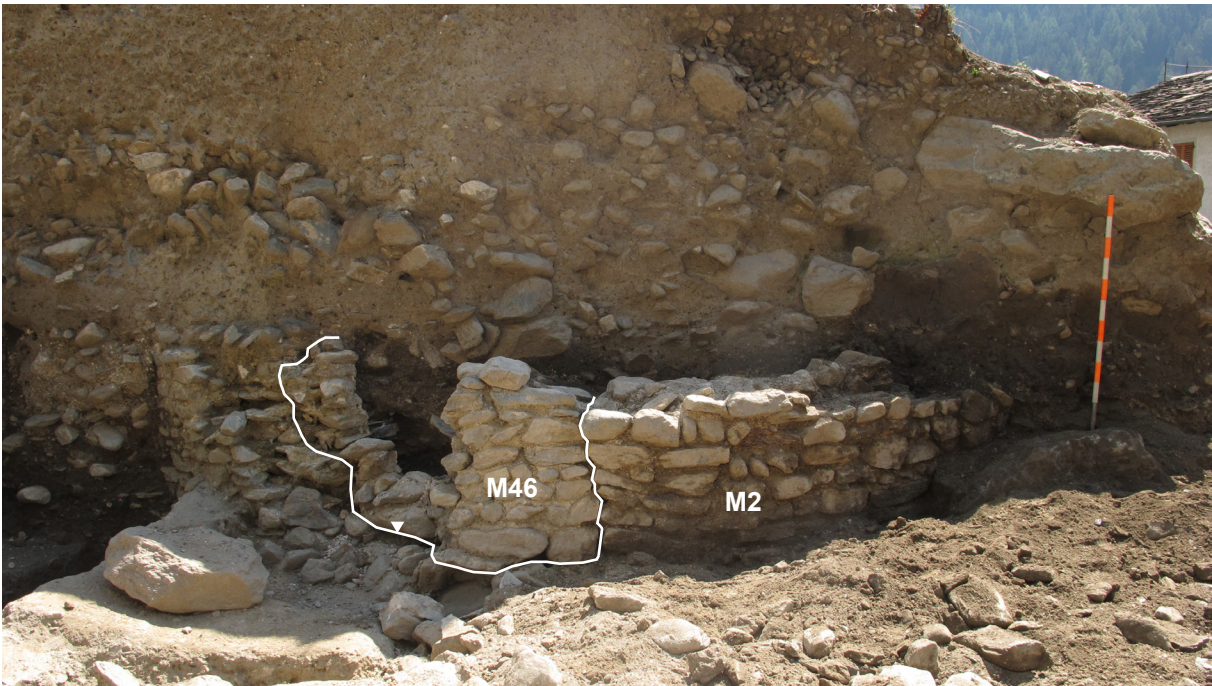


Fig. 17. Bagnes. Villette. Sondage1/zone 2. Abside du local 2 lors de son dégagement final à la pelle-mécanique. Limite verticale dans la maçonnerie entre le mur M2 d'origine et sa réparation M46. Vue vers le sud.

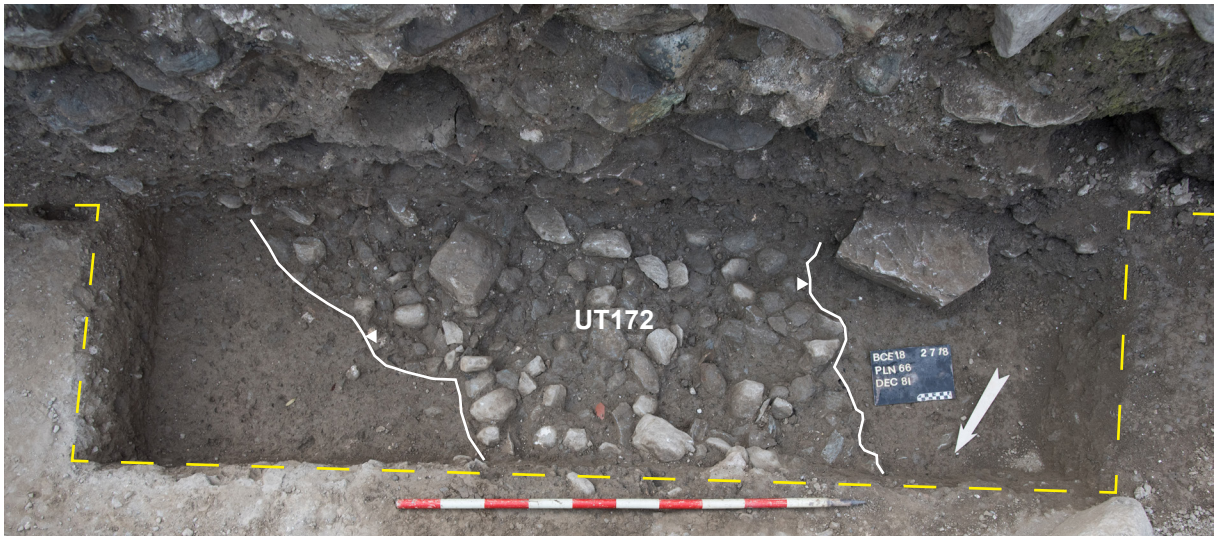


Fig. 18. Bagnes. Villette. Sondage 3. Remblai UT172, avec plusieurs fragments de céramique, dans une dépression du niveau de marche UT169. Vue vers le sud-est.

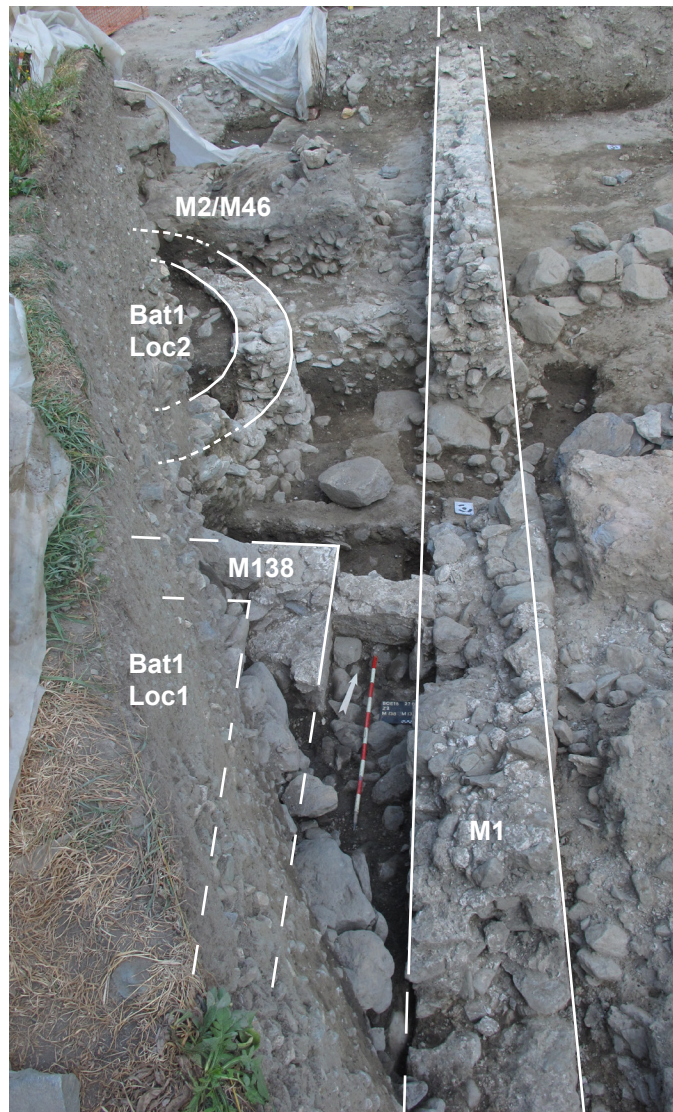


Fig. 19. Bagnes. Villette. Vue d'ensemble des constructions d'époque romaine. Le long mur de clôture M1 traverse toute la zone de fouille. Il délimite du côté nord le complexe bâti préexistant. Vue vers le nord-ouest.



Fig. 20. Bagnes. Villette. Zone 1/Sondage 3. Vue du parement nord-est du mur M1.



Fig. 21. Bagnes. Villette. Sondage 3. Chantepleur du mur M1 (parement sud-ouest).



Fig. 22. Bagnes. Villette. Zone 2. Seuil maçonné M139 construit entre les murs M138 et M1. Vue vers le nord-ouest.



Fig. 23. Bagnes. Villette. Zone 2. Mortaise pour le tenon d'un porte ou d'un petit portail dans l'angle entre le seuil maçonné M139 et l'ancien mur de clôture M1 alors arrasé. Vue vers le nord-ouest.



Fig. 24. Bagnes. Villette. Zone 2. Remblai de nivellement UT165. Sans doute un niveau préparatoire pour le sol lessivé du bâtiment. Vue vers le nord-ouest.



Fig. 25. Bagnes. Villette. Sondage 1/Stg04. Mur 183/184, conservé de manière discontinue, et foyer UT18. Vue vers le nord-ouest.

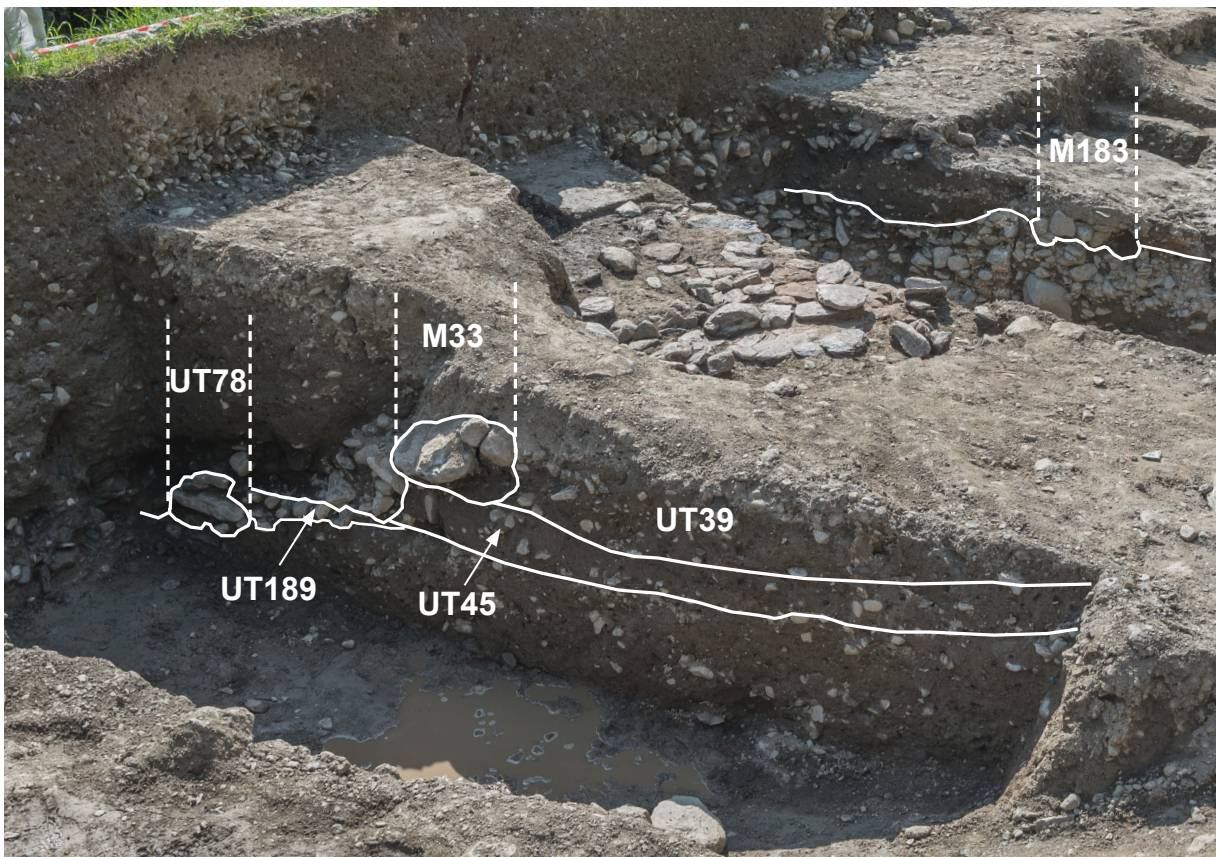


Fig. 26. Bagnes. Villette. Sondage 2/Stg07. Mur M33 et solin (?) UT78. Vue vers l'ouest.

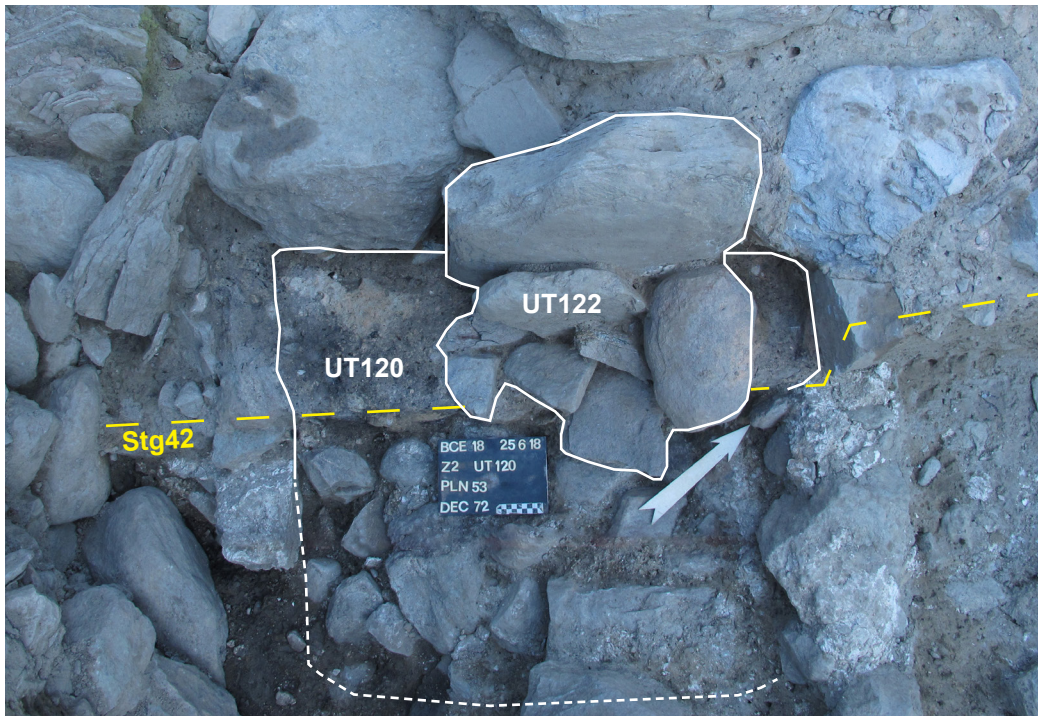


Fig. 27. Bagnes. Villette. Zone 2. Foyer en creux UT120, après la fouille de sa partie est et la documentation de sa coupe Stg42. Le comblement postérieur UT122 est vu partiellement en place dans la fosse à combustion.



Fig. 28. Bagnes. Villette. Zone 2. Foyer UT43. Foyer en cours de fouille, avant le percement de sa partie nord-est pour atteindre dans cette zone le niveau du tumulus 1.



Fig. 29. Bagnes. Villette. Fibule romaine à pourtour en étoile à huit branches (K050-1) avant restauration

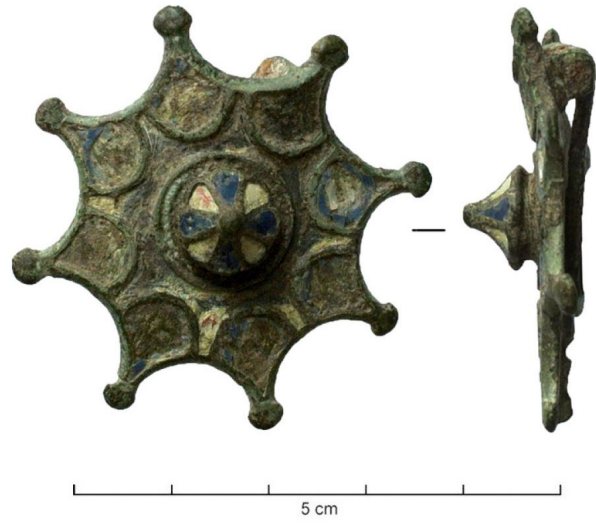
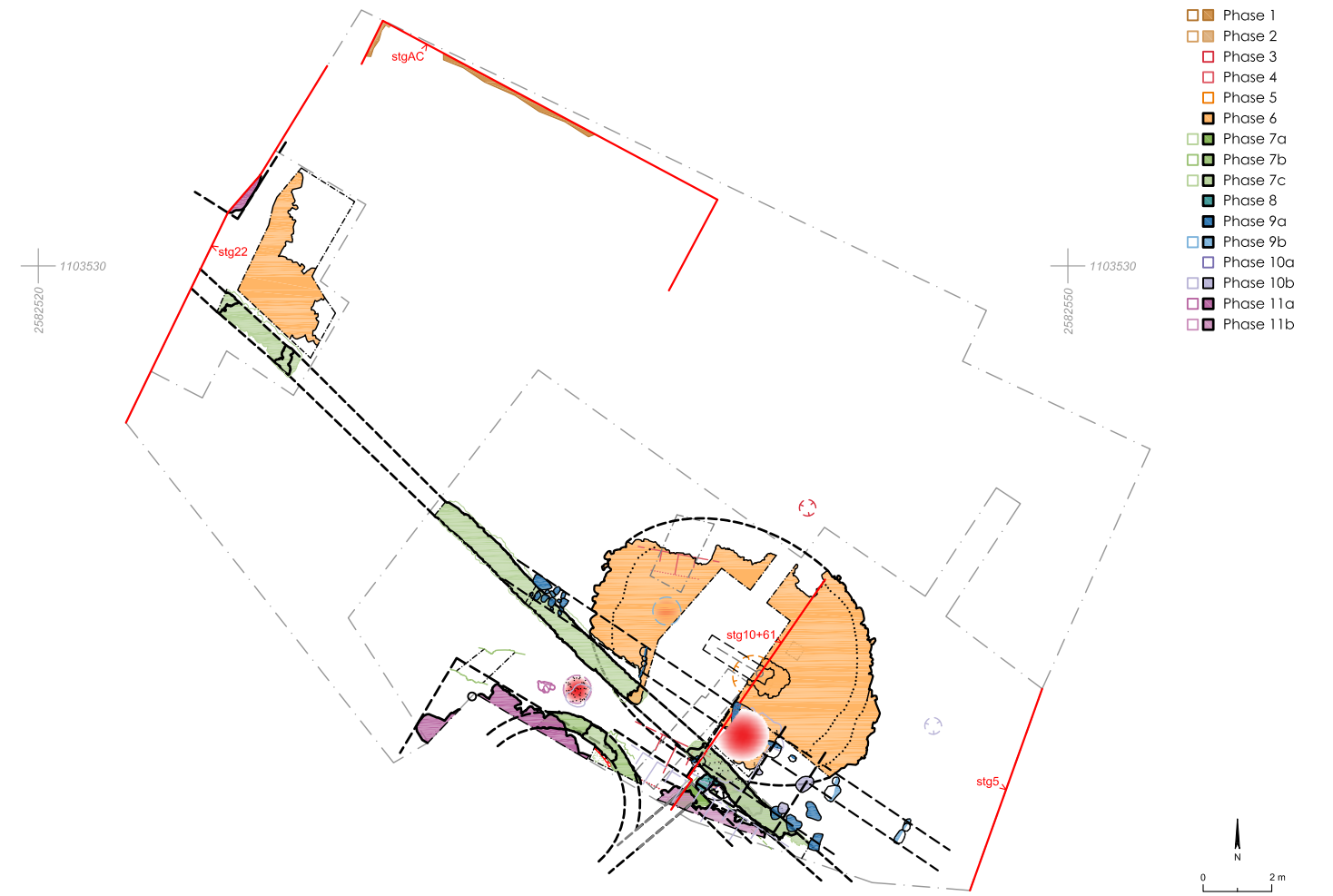


Fig. 30. Fibule romaine à pourtour en étoile à huit branches du musée gallo-romain de Biesheim, Oedenburg (France)

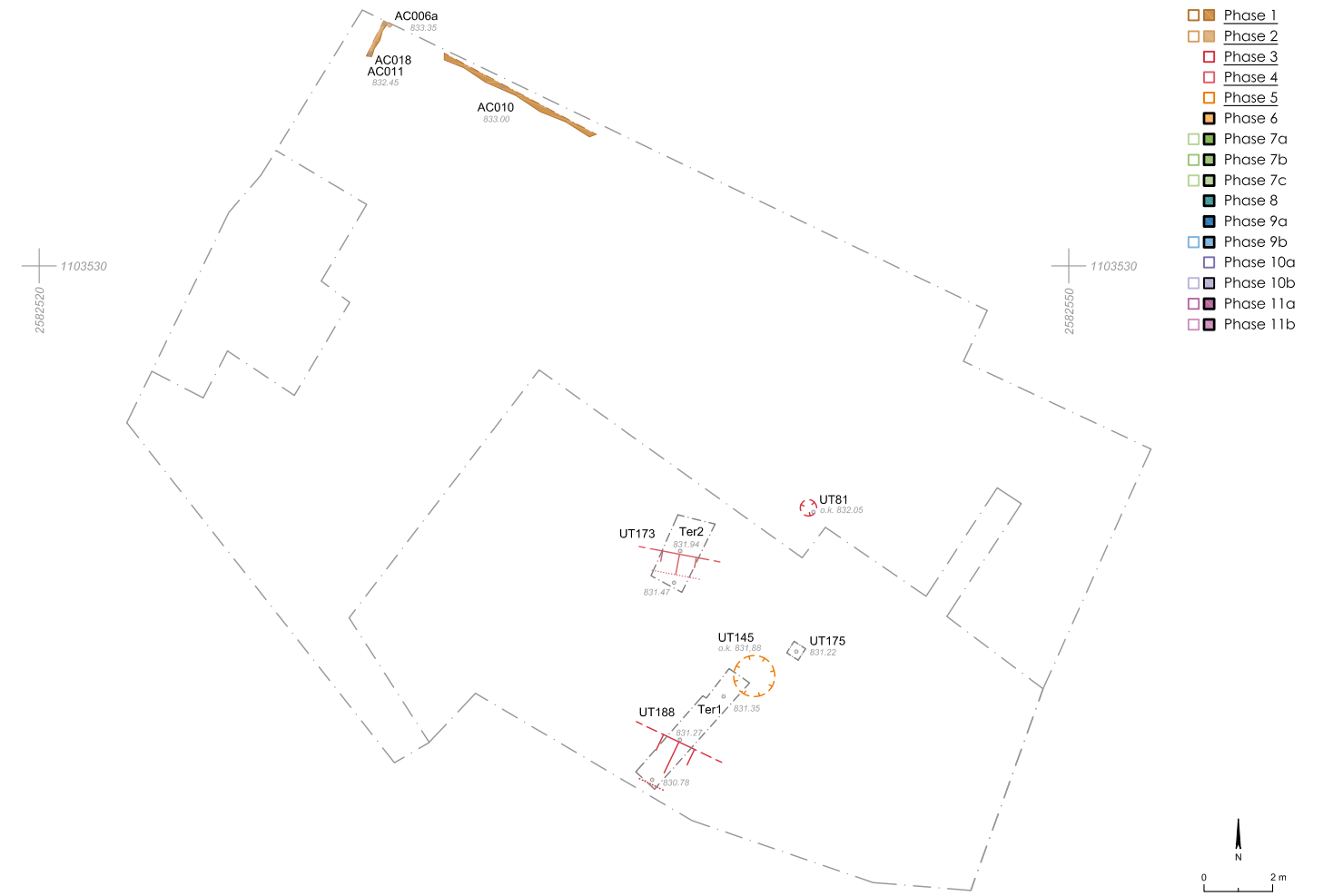
6 RELEVÉS



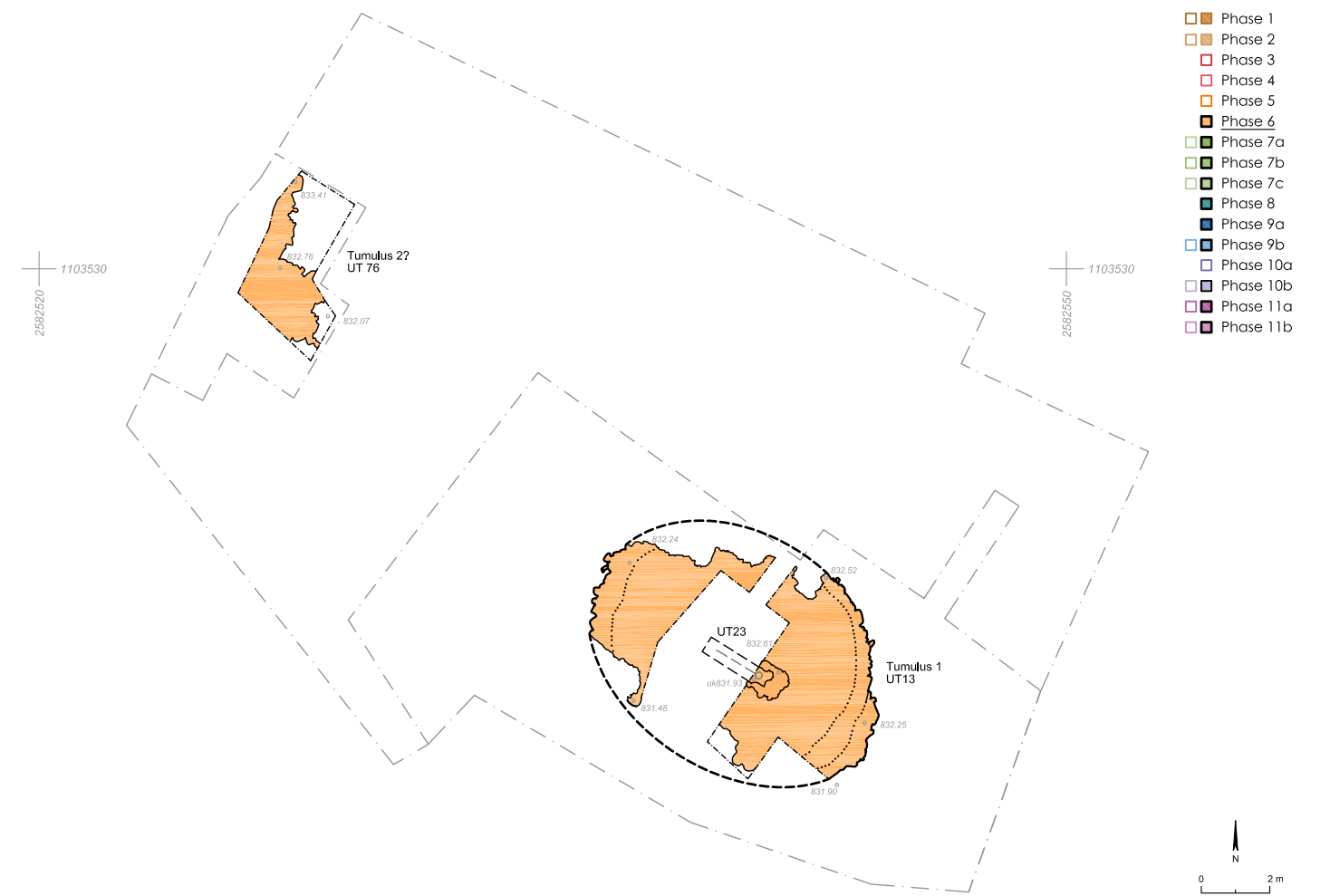
Relevé 1. Bagnes. Villette.
Plan de position des zones, sondages et profils
Éch. 1/200



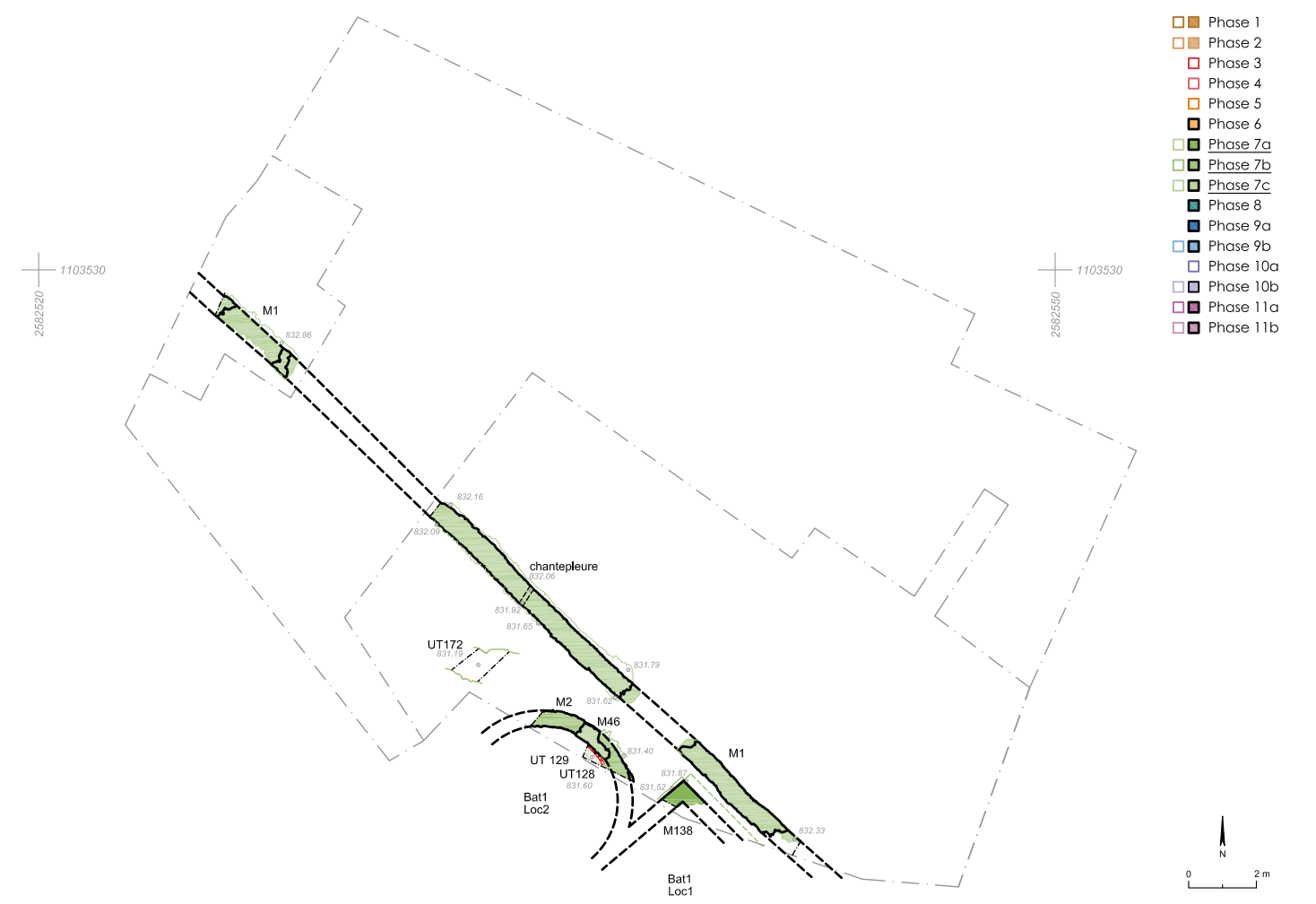
Relevé 2. Bagnes. Villette.
Plan compilé des vestiges
Éch. 1/200



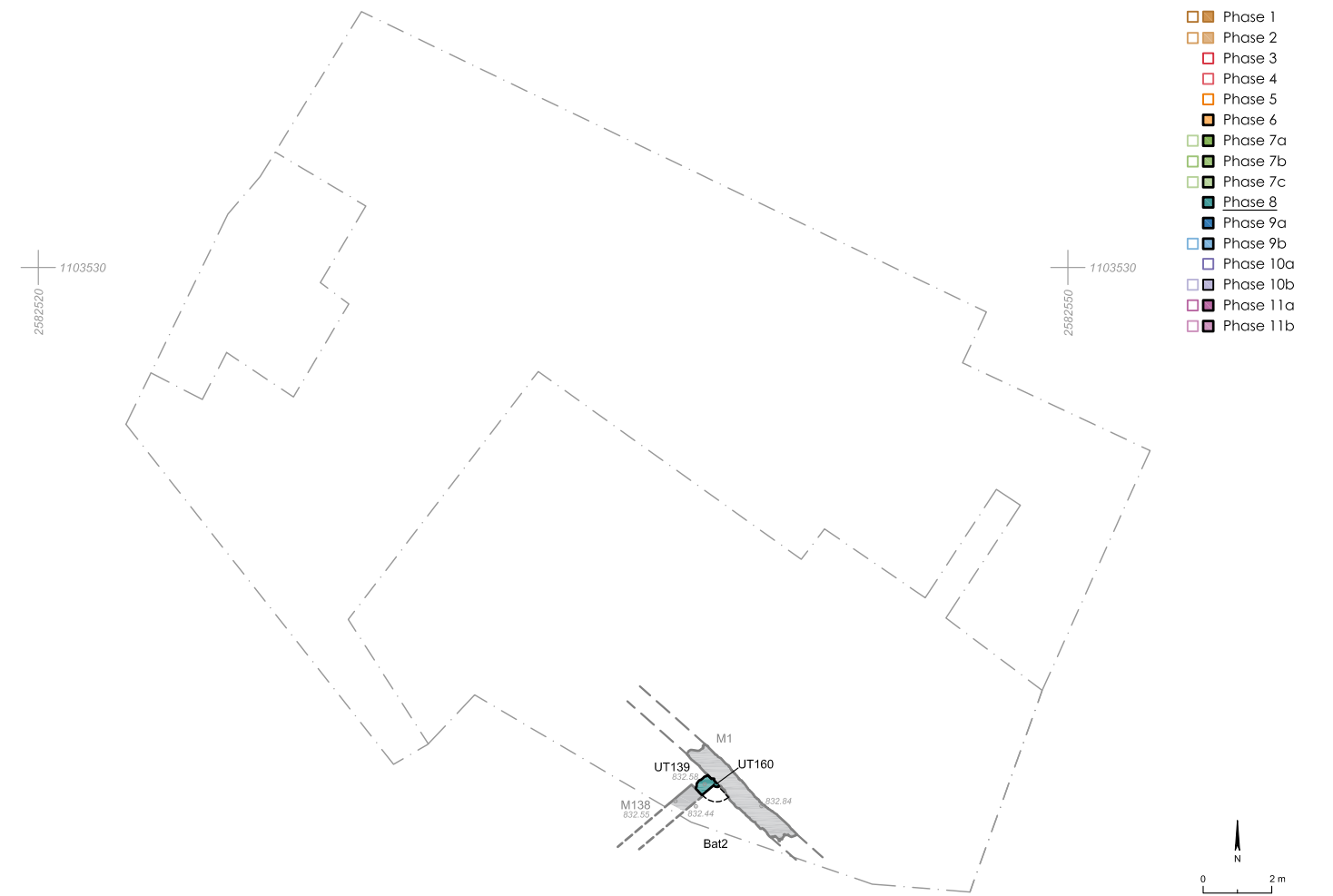
Relevé 3. Bagnes. Vilette.
Phases 1 à 5
Éch. 1/200



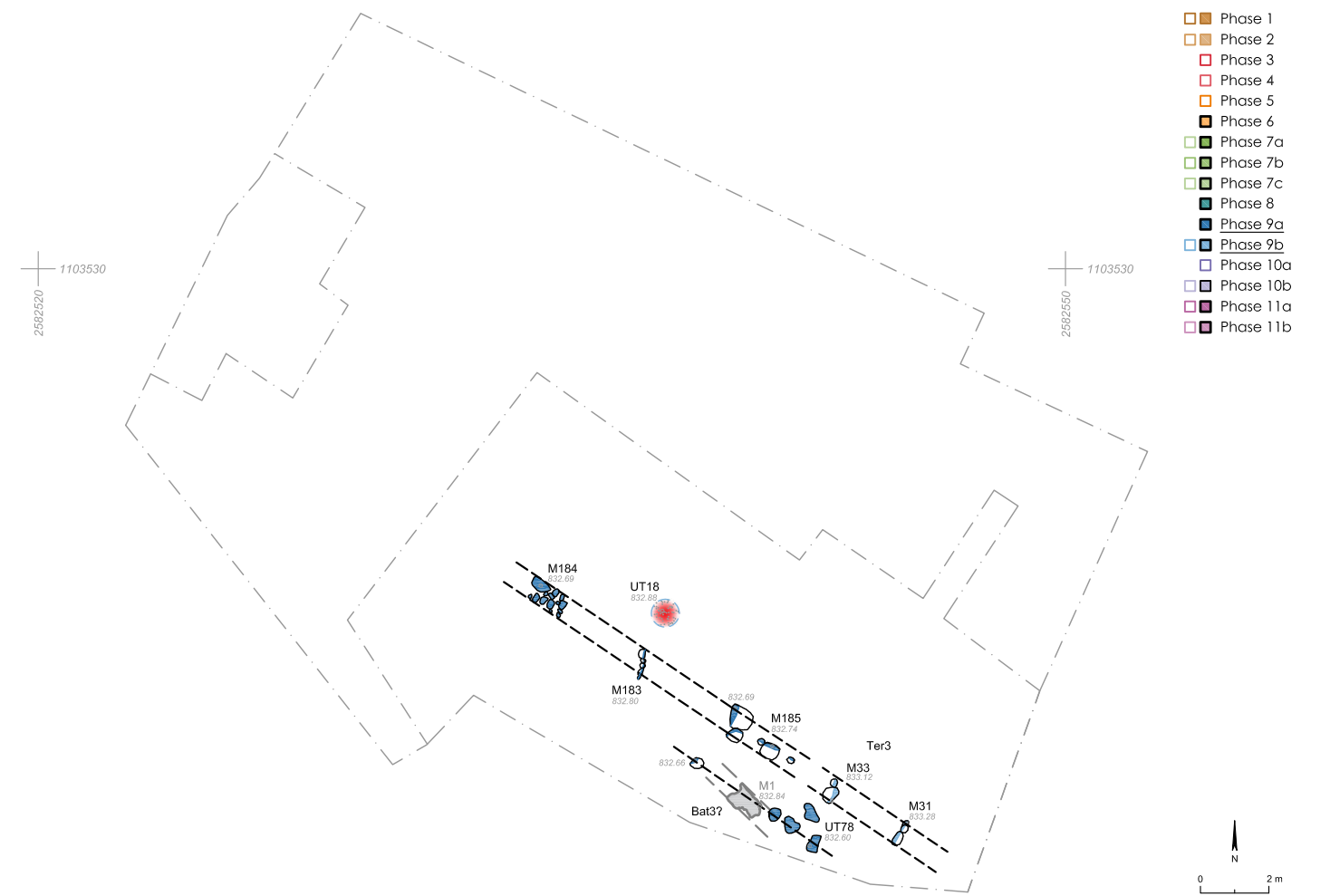
Relevé 4. Bagnes. Villette.
Phases 6
Éch. 1/200



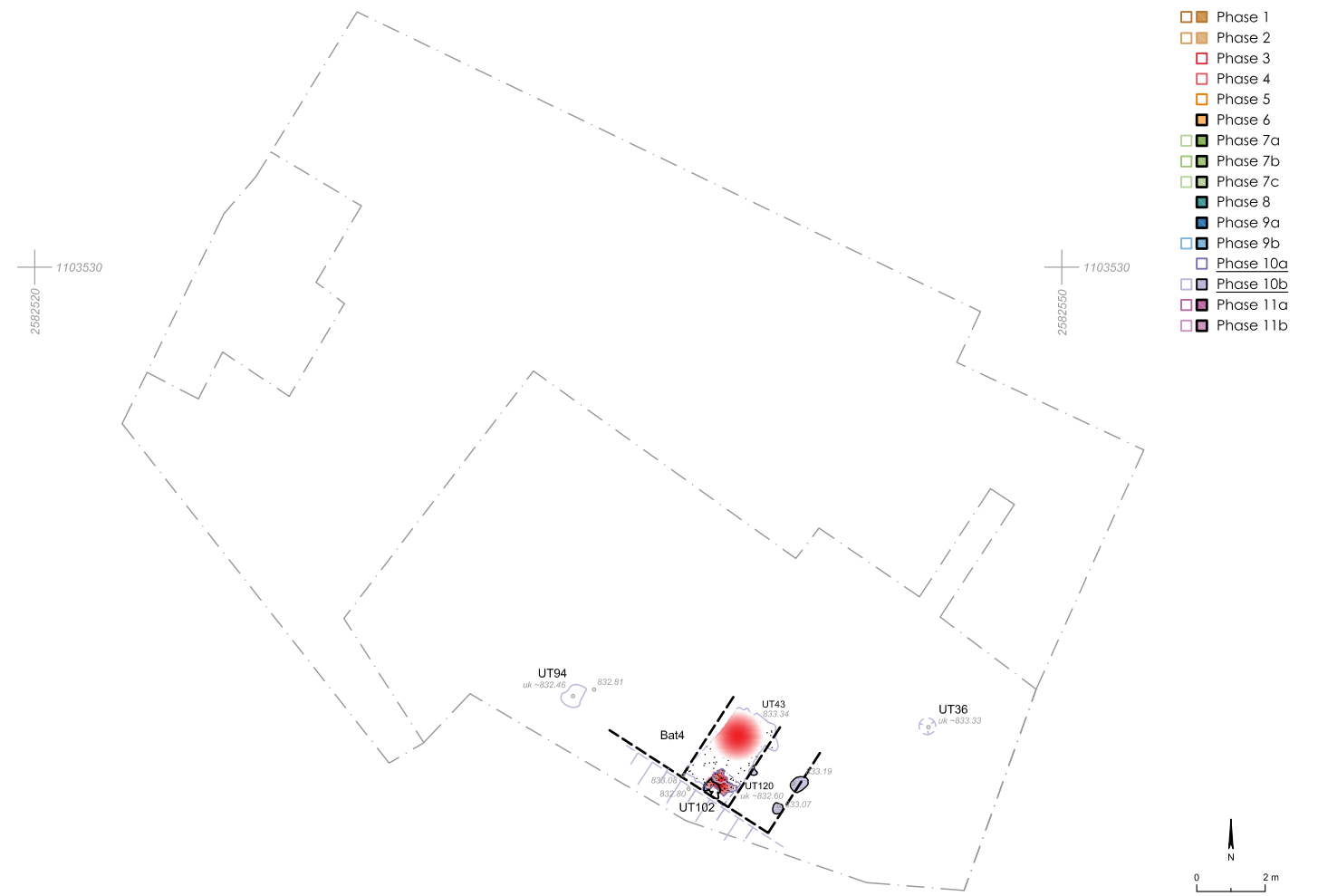
Relevé 5. Bagnes. Villette.
Phases 7a à 7c
Éch. 1/200



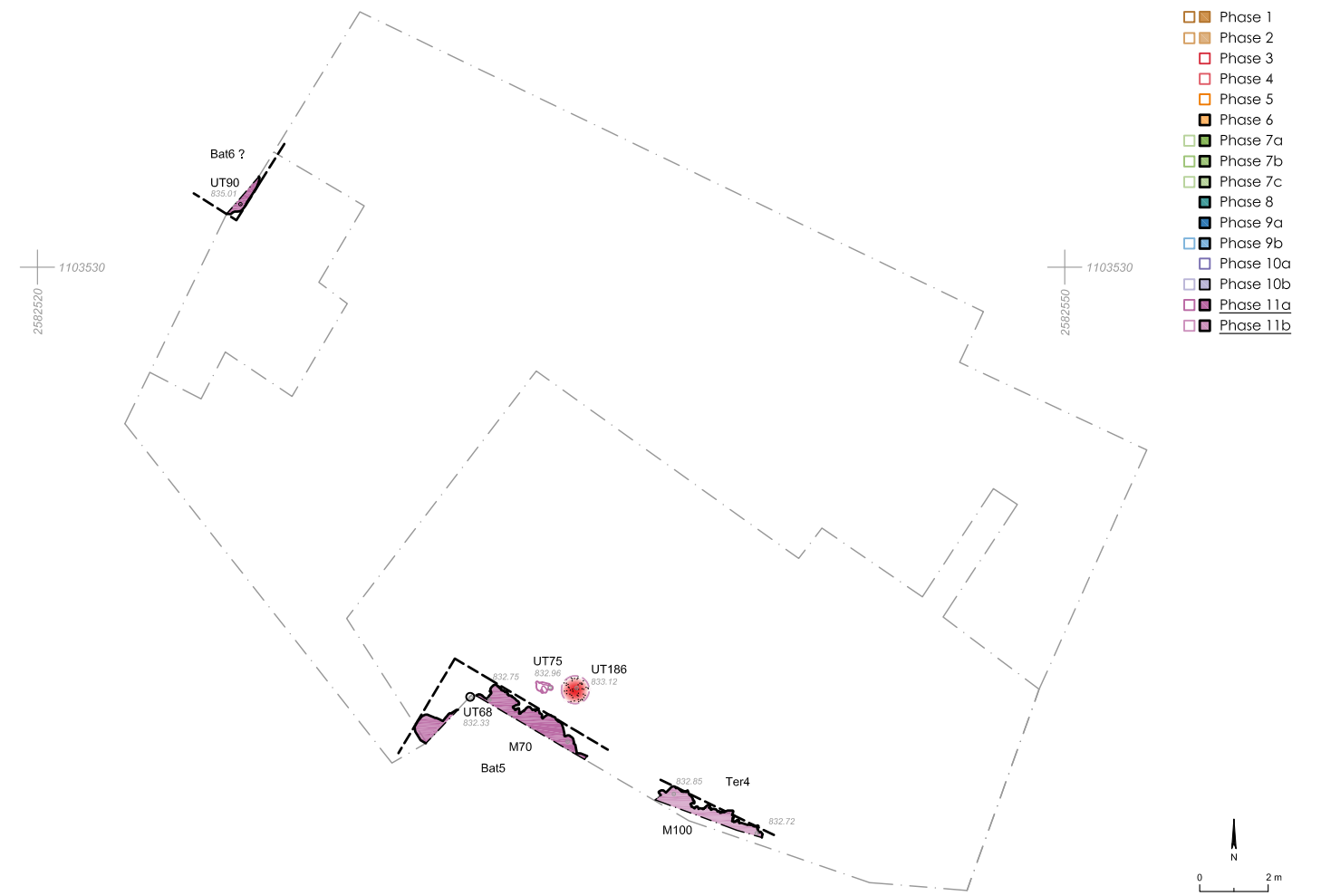
Relevé 6. Bagnes. Vilette.
Phase 8
Éch. 1/200



Relevé 7. Bagnes. Villette.
Phases 9a et 9b
Éch. 1/200



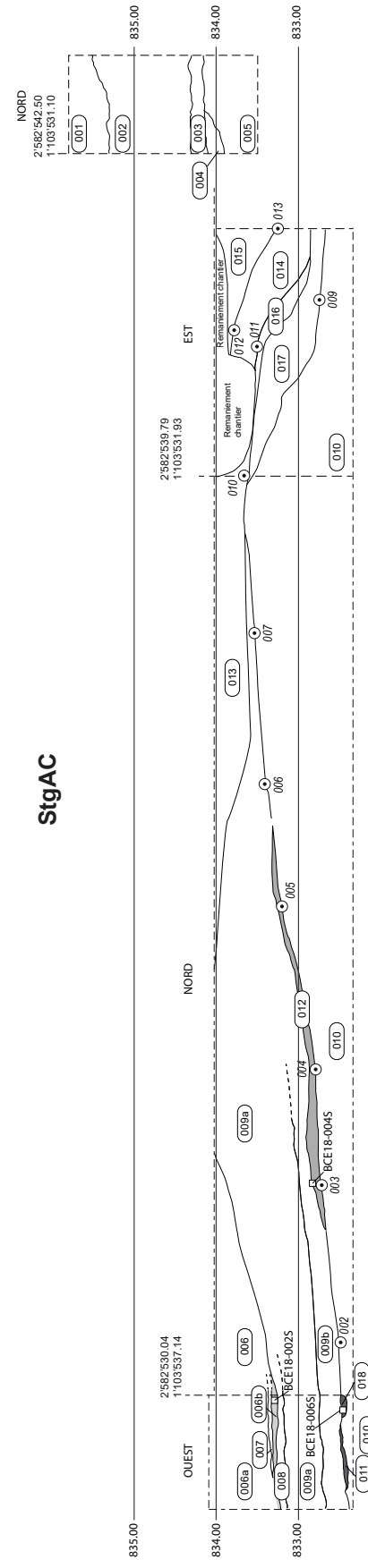
Relevé 8. Bagnes. Villette.
Phases 10a et 10b
Éch. 1/200



Relevé 9. Bagnes. Villette.
Phases 11a et 11b
Éch. 1/200

Bagnes Villette Immeuble Besson/ C1647/ BCE18			
Relevé 10 - Suivi OCA	Profil ouest / nord / est	Ech. : 1:50	avril 2018
023	Numéros UT	BCE18-002S (Poz-107996) : 3115 ± 35 BP	
007	Points topo	BCE18-004S (Poz-107941) : 3970 ± 40 BP	
		BCE18-006S (Poz-107942) : 3685 ± 35 BP	
Ech. : 1:50	1m		

StgAC



Relevé 10.

Relevé 10. Bagnes. Villette.
 Profils ouest, nord et sud de la zone de fouille
 Éch. 1/50

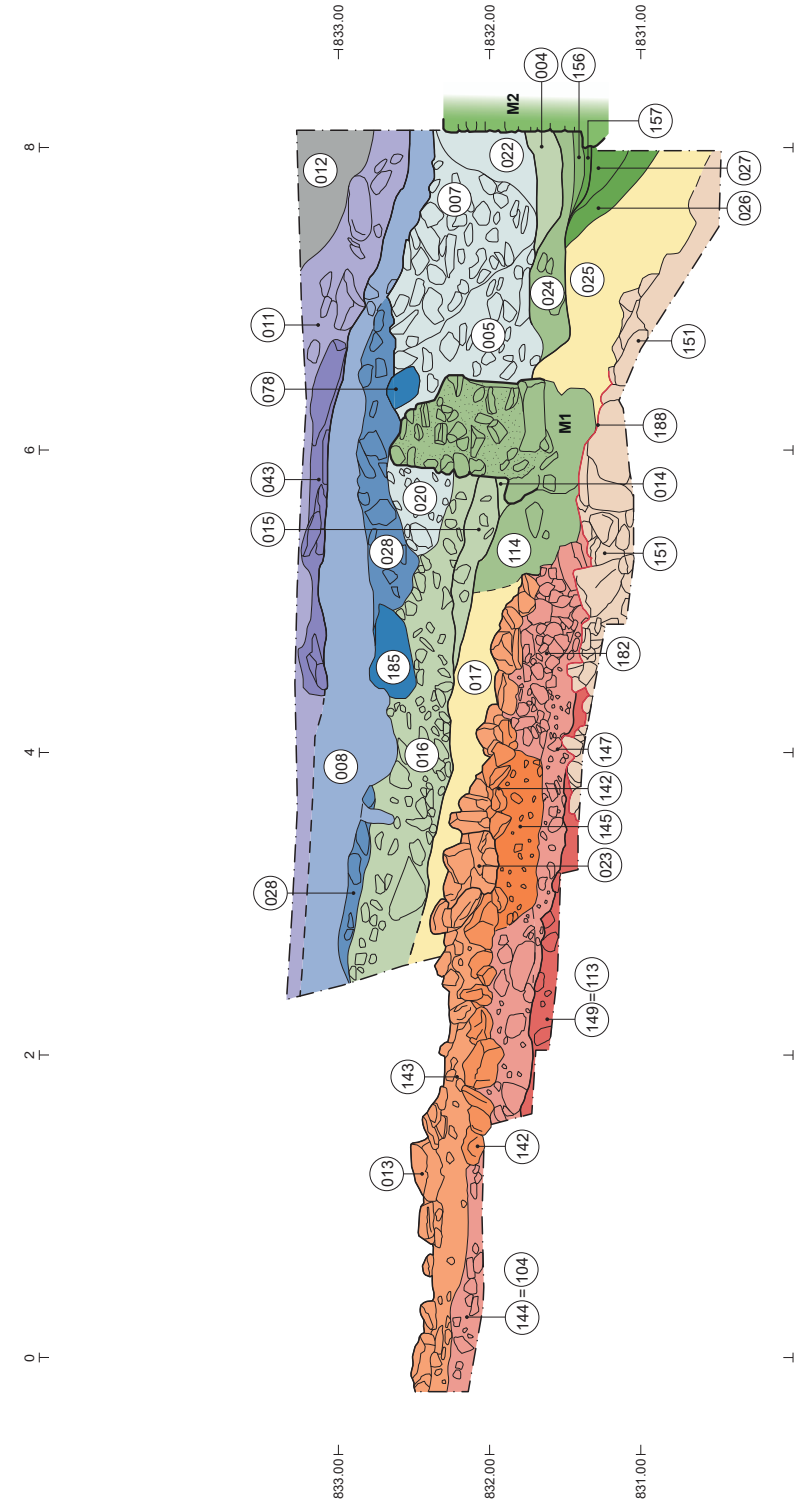
Stg22



Relevé 11.

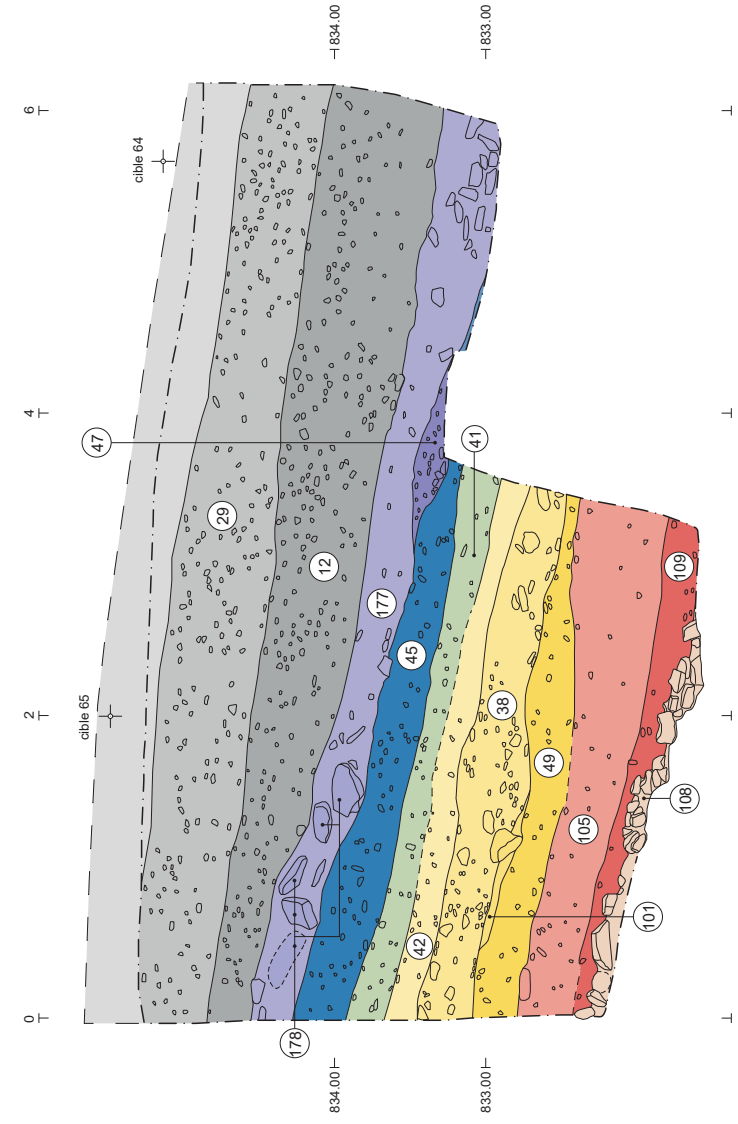
Relevé 11. Bagnes. Villette.
 Compilation du profil nord-ouest du chantier
 et du profil relevé par l'archéologie cantonale
 Éch. 1/50

Stg10/61



Relevé 12. Bagnes. Villette.
Profil sud-est du sondage 1
Éch. 1/50

Stg5



Relevé 13. Bagnes, Villette.
Profil sud-est du de la zone de fouille
Éch. 1/50

7 DÉTERMINATION DES CÉRAMIQUES

Marc-André Haldimann

K	UT	N	NMI	Datation	Commentaire
K001	1er déc. machine	3	1	4e AD ?	
K002	nettoyage Stg06	1		1er AD	Drack 21, panse
K005A	021?	2		?	CCL, panse ; K005 A-1 : CCL, panse
K005B	021	4	1	3e AD	
K006	004	1		?	CSO, panse
K007	003	1	1	1er-3e AD	K007-1 : AMP Dressel 20, panse
K008B	005	4		Post 350 AD	L. 1/3 idem K034A
K008C	005	1		3e AD	idem K009
K009	008	3	1	3e AD	CRA: Gobelet col cintré MTY
K009	008	1		3e AD	K009-1 : Idem K009
K010A	016	6	3	3e AD	
K010B	016	22	3	3e AD	idem K010
K010C	016	9		3e AD	TS G, idem K 010 B; CRA idem K010 E; MOR idem K010F
K010D	016, (020?)	10		3e AD	TS G et CRA Idem K010
K010E	016	23	1	3e AD	CRA idem K010B
K010F	016 (O.K.)	35	1	3e AD	
K013	007	1	1	Post 350 AD	Lamb. 1/3
K014	012	1		12e-15e AD	Cruche plombifère médiévale
K018	012? (nettoyage Pln21)	1		MOD	Vernissée, fond
K020	nettoyage Stg10	3		3e AD	Idem K010
K022A+B	022	2		3e AD	Idem K008 - K009
K023	024	5	1	2e AD ?	
K025	025 (pollué fond. M1?)	1		3e-4e AD	CRA: panse de coupe
K026	044	2		?	CSO, panse
K034A	037	19	1	Post 350 AD	CRA: L. 1/3 idem K 008 B
K034C	037 (pollué 2e déc. machine?)	5	1	3e AD	TS D: Drag 37 VS
K034D	037	4		3e-4e AD	
K034E	037 (U.K.)	1		3e AD	CRA: L. 2/37 (?), éclat
K035	2e déc. machine	5	3	17e-18e AD	Avec L. 10 (4e-5e AD)
K037	découv. fortuites/déblais	5	1	2e-3e AD	
K038	020	1		2e-3e AD	K038-1 : TS F: Drag. 37, fond
K039	048	1	1	3e AD	CRA: L. 2/37 bord
K041	052	8	2	Post 180 AD	TS D: Drag. 32.
K045A	017	1	1	1er BC	IND: pot, lèvres éversées
K045B	017	8		3e AD	TS G: idem K010B
K046	011 (U.K.)	1		3e AD	TS G: idem K010B
K047	083 (pollué déc. machine A.C. ?)	24	2	3e-4e AD	DSP Languedoc ?
K049	016 ?	2	1	3e AD	CRA: Gobelet caréné Avenches idem K010B
K050	nettoyage fond Sd1	6		3e AD	CRA: L. 2/37

K051	010, 008	1		2e-3e AD	TS F: éclat
K054	008 (U.K.) ou 28 (O.K.)	3	3	Post 350 AD	CRA: L. 1/3 ou 33.
K061	104, 013, 017	1		?	CCL, panse
K062	049 (pollué 1 ^{er} déc. machine?)	1	1	1er AD	TS D: Drack 21, bord éclaté
K063	006, 007	55	14	150-200 AD	
K072	005, 007, 022	2	2	2e-3e AD	MOR: collerettes incurvées
K073	004, 024	3	2	3e AD	TS D: Drag. 43.
K081	040	15	1	3e AD	CRA: mortier est. "grillage" idem K010 B.
K082	008, 040	3		3e AD	MOR: idem K010.
K083	170	2	1	140-190 AD	TS F: Drag. 37 CINNAMVS
K084	172	1		2e-3e AD	TS F: Drag. 37, idem K083 ?
K094	déc. machine final	3	1	MOD	PLB récent
K095	132 (U.K. ?)	1		3e AD	CRA: Gobelet MTY
K099	déc. machine A.C. et nettoyage	6		vrac	
K106	030	2	2	4e-5e AD	CRA: plat Lamb. 54.
TOTAL		332	54		

8 MACRORESTES

Liste des prélèvements

K	UT	Matière	Description
BCE18/K012G	011	Sédiments	1 sac
BCE18/K032	043	Sédiments	1 sac
BCE18/K043	073	Sédiments	3 sacs
BCE18/K044	011	Sédiments	2 sacs
BCE18/K064	120	Sédiments	1 sac

Échantillons carpologiques (Ludovic Gesset)³⁵

Toutes les fractions 2 mm sont positives aux céréales et/ou aux graminées de grande taille. La distinction dans certains cas est impossible sans le recours à un instrument optique. Certains grains étaient fragmentés et n'étaient discernables que difficilement.

L'échantillon K012G (UT11) est le seul à avoir présenté des éléments visibles dans sa fraction 4 mm avec entre autres une présence de céréales et au moins un fragment de fabacées (probablement de la fève) avec le hile préservé.

³⁵ Selon communication du 29.10.2018 transmise par Emmanuelle Évéquoz.

9 ANNEXES

Liste des unités de terrain (UT)

Type	UT	Description	Interprétation	Complexes	Période, phase
M	001	<i>Cf. documentation de terrain, fiche UT</i>	Mur romain de clôture/périmètre	K075	IV, 7c
M	002	<i>Cf. documentation de terrain, fiche UT</i>	Mur courbe, abside d'un bâtiment	-	IV, 7b
C	003	Limon, mortier fusé, graviers, brun-beige; microfragment de TCA, 1-2 rares galets inclinés/adossés contre le M001	Remblai/démol. de M002?	K007	IV, 7c
C	004	Limon brun-gris, assez meuble et homogène, quelques rares points de charbons de bois, quelques galets +/- émoussés	Remblai destruction partielle M002?, nouveau niv. de circ. de M002/M046?	K006, (K073)	IV, 7c
C	005	Limon brun-gris, hétérogène, avec poches de silts beiges, de limons riches en mortier fusé; fragments de TCA, mobilier surtout à l'O.K., nodules de mortier, pierres suspectes (?) superposées contre le parement de M001	Démol. de M001	K008, (K072)	IV, 7d/IV, 8
C	006	Eclats de pierres, fragments de mortier, TCA, dans une matrice limono-graveleuse brune. O.K. arrasé par érosion, selon pendage du site	Démol. de M001	(K063), (K080)	IV, 7d/IV, 8
C	007	Limon brun foncé, homogène, quelques galets ébréchés épars, nodules de mortier. O.K. +/- horizontal	Colluvions limoneuses, ancien humus, restes de démol.	K013, (K051), (K063), (K072), (K080)	IV, 7d/IV, 8
C	008	Limon brun foncé, idem 007, mais sans galets	Ancien humus	K009, K019, (K051), (K054), (K080), (K082)	VI, 9b/VII, 10a
C	009	Graviers et petits galets roulés dans matrice silteuse beige	Colluvions pente	-	VI, 9b/VII, 10a
C	010	Limon graveleux brun, homogène; pendage général du site	Terre arable, terre agricole, colluvions fines	(K051)	VI, 9b/VII, 10a
C	011	Limon un peu graveleux, brun foncé à noir (charbonneux), quelques galets (<30 cm), inclinés selon pendage du site; quelques pierres brûlées; limite inférieure marquée par percolation	Occupation incendiée lessivée?, défournements lessivés?, démol.	K012, K028, K029, (K036), K044, K046, K052	VII, 10b/VIII, 11a
C	012	Limon brun un peu graveleux, quelques galets roulés, quelques galets plats inclinés dans la pente	Colluvions avec restes de démol., humus	K014, K024, (K036)	IX, 12
C	013	Tumulus 1, <i>cf. documentation de terrain, fiche UT</i>	Tumulus	(K036), K055, (K061)	III/6
C	014	Languette de beaucoup de mortier fusé avec quelques galets; en cuvette sur une longueur de 25 cm au pied de M002; sous cette languette, ressaut de fondation de M002	Niveau de construction de M001	-	IV, 7c
C	015	Silts homogènes brun-gris; en cuvette contre le M001	Colluvions très fines, ravinement précipitations?	-	IV, 7c
C	016	Pierres variées, nombreux galets roulés (<15 cm), mortier fusé; couche plus épaisse à l'aval, se pince à l'amont; cér. nombreuse	Remblai terrassement, év. colluvions grossières, avec démol.	K010, K097	IV, 7d
C	017	Limon graveleux homogène brun-gris, cér/TCA, faune, charbons épars; couche perturbée en surface en z2, intervention romaine?	Colluvions fines, O.K. niv. implantation M001 en z1-z2, à l'amont	K045, (K061), K085, (K077)	III, 6/IV, 7a
C	018	Niveau horizontal de limon rubéfié; couvert de cendres roses; pierres plates brûlées	Zone de combustion; foyer?	K033	VI, 9b

C	019	Silts beige-gris; semble en relation étroite avec 018	Zone de stagnation d'eau, écoulement sur niveau horizontal	-	VI, 9a
C	020	Idem 016 mais matrice limoneuse avec beaucoup de mortier	Démol. de M001	K038	IV, 7d/V, 8
C	021	Limon, peu différent de 004, mais avec moins de galets (observé sur une petite zone en fond de profil seulement)	Colluvions?	K005	III, 6/IV, 7a
C	022	Sable et mortier fusé, gris clair, fragments de mortier gris, nombreux galets (<10 cm) émoussés	Démol. de M002/M046	K022, (K072)	IV, 7d/V, 8
C	023	Tombe 1 (T1), cf. <i>documentation de terrain, fiche UT</i>	Tombe à inhumation du tumulus 1 avec mobilier	K017	III, 6
C	024	Limon brun foncé meuble, quelques galets, nodules de mortier et points de mortier, un peu de TCA; nodules de mortier contenant du tuileau; points de charbons, surtout au S	Remblai ou dépôt en cours d'utilisation de M002	K023, (K073)	IV, 7b
C	025	Limon brun-beige homogène, graveleux, silteux	Colluvions fines	K025	III, 6/IV, 7a
C	026	Limon idem 025, mais avec mortier fusé assez dense; sur une bande de 10-15 cm de largeur	Colluvions fines contaminées par activités de construction (de M138?)	-	IV, 7a
C	027	Limon idem 025, mais très graveleux avec nodules de mortier	Remblai	-	IV, 7a
C	028	Limon brun-gris, meuble, avec des pierres, parfois grandes (70 cm), éparses, sur un seul "lit" en position +/- horizontale; présence de mortier et TCA	Occupation?; remblai de terrassement?	(K054)	Pré. VI, 9b
C	029	Limon brun-gris, gravillons nombreux et régulièrement répartis, homogène; plusieurs phases de dépôts (épaisse strates identifiables par endroits)	Colluvions et humus	-	IX, 12
C	030	Limon brun, petites pierres scellant des petits blocs anguleux	Écroulement mur en pierre sèche M031; remblai terrasse érodé?	-	VI, 9b/VII, 10a
M	031	Petits blocs et grosses pierres légèrement anguleuses superposées à peu près régulièrement	Restes d'un muret en pierre sèche?	-	VI, 9b
C	032	Limon légèrement argileux brun, grands fragments de mortier dans la couche, petits blocs et grosses pierres	Ecroulement mur en pierre sèche M033, avec restes démol. mur romain; remblai terrassement érodé?	-	VI, 9b/VII, 10a
M	033	Petits blocs (et négatif de bloc horizontal)	Restes d'un muret en pierre sèche?	-	VI, 9b
C	034	Limon brun avec petits cailloux épars et gros graviers épars, avec quelques os et traces charbonnées, points de charbons	Colluvions fines/lessivage de pente	K030	IX, 12
C	035	Limon brun foncé, charbons, contient quelques petits blocs roulés ou anguleux	Colluvions/lessivage avec restes muret (de terrasse?) en pierre sèche	-	VII, 10b/VIII, 11a
C	036	Limon brun avec nombreuses petites pierres	Lentille pierreuse de colluvionnement ou fosse?	-	VIII/ 10b
C	037	Limon graveleux brun jaunâtre avec forte densité de mortier fusé, fragments cér/TCA, fragments de mortier, pierres diverses et irrégulières en vrac	Démol. de M001	K034	IV, 7d/V, 8
C	038	Limon sableux brun verdâtre, légèrement graveleux (épaisseur 5-15 cm en Stg12)	Colluvions fines		III, 6/IV, 7a
C	039	Limon brun à brun foncé, hétérogène, nombreuses pierres assez anguleuses, zones charbonnées, rares petites pierres rubéfiées en vrac	Colluvions/lessivage de niveaux d'occupation dans la pente?	K031	VI, 9b
C	040	Limon brun foncé, avec petites pierres roulées ou légèrement anguleuses, assez nombreuses petites pierres à l'O.K., cér.; par endroits difficile à distinguer de 041	Colluvions	K081, (K082)	IV, 7c
C	041	Limon brun assez compact avec	Colluvions		IV, 7c

		poches/lentilles gravilloneuses, quelques pierres; par endroits difficile à distinguer de 041			
C	042	Limon brun avec gravillons épars, relativement homogènes, quelques pierres	Colluvions		III, 6/IV, 7a
Str	043	Dalles et pierres anguleuses rubéfiées agencées en mosaïques, avec cendres roses les couvrant ou remplissant les interstices, terre rubéfiée en-dessous; limites de la structure pas parfaitement claires	Foyer à combustion de grandes dimensions	K032	VII, 10b
C	044	Limon brun très graveleux; rares inclusions de charbons et nodules de terre rubéfiée	Colluvions fines?	K026	III, 4/III,5
C	045	Limon fin brun, avec pierres assez anguleuses éparses et traces charbonnées, rares traces rubéfiées à l'O.K., fragments d'os, fragments de mortier	Colluvions/lessivage niveaux d'occupation?		Pré.V, 8/VI, 9a
M	046	Maçonnerie/mur courbe, NW-SE, reprise du M002 vers l'W	Réfection du mur M002 de l'abside		IV, 7c
C	047	Limon brun hétérogène avec graviers et pierrailles, fragments d'os	Remblai, avec démolition partielle de M031 ?		VII, 10b?
C	048	Limon brun foncé, très mélangé de pierres de toutes sortes, fragments de mortier gris-blanc, TCA, tubuli, fragments de tuf non taillé	Démolition liée à niveau post. au M001	K039	IV, 7d/V, 8
C	049	Limon sableux brun-gris, gravilloneux, avec quelques galets (environ 5 cm), homogène, ressemble à 042	Colluvions	(K062)	III, 6/IV, 7a
C	050	Limon fin presque argileux beige, par endroits plus foncé, compact et relativement homogène, petits gravillons et petits galets épars, quelques pierres plus anguleuses, petit charbon	Colluvions fines avec lessivage niveau occupation?; niveau occupation?	K040	II, 2/pér.III, 3
C	051	Concentrations de pierres anguleuses moyennes, vrac	Concentration de pierre dans 011		VII, 10b/VIII, 11a
C	052	Limon graveleux brun jaunâtre avec forte densité de mortier fusé, pierres variées moyennes à grandes, fragments TCA/cér.	Démol. de M001	K041	IV, 7d/V, 8
C	053	Limon argileux brun foncé, un peu gravilloneux, avec quelques charbons, mortier, TCA et pierres anguleuses	Démol. de M001?	K042	IV, 7d/V, 8
C	054	Limon silteux brun, nombreux graviers et quelques galets (< 5 cm), répartis de façon homogène; épaisseur min. 50 cm, incliné SW	Terrain nat.; colluvions fines		III, 6/pér.IV, 7a
C	055	Limon silteux brun-vert, graviers et galets (< 5 cm) répartis de façon homogène; épaisseur 20 cm; O.K. incliné SW; n'existe pas à cette altitude dans la Stg17 opposée	Terrain nat.; colluvions fines		III, 6/pér.IV, 7a
C	056	Limon brun-gris, graveleux, sableux, avec beaucoup de mortier fusé; à la même altitude que le ressaut de fondation de M001	Niv. de construction/travail de M001		IV, 7c
C	057	Silts brun-gris, homogènes, sans graviers ni galets; épaisseur 5-10 cm, localisée sur une longueur < 60 cm à l'amont du M001	Stagnation d'eau; niveau utilisation du M001		IV, 7c
C	058	Pierres, roulées, ébréchées (<15 cm); fragments de mortier du M001; matrice de limon silteux brun-gris; localisée à l'amont du M001	Démol. de M001		IV, 7d/V, 8
C	059	Silts brun-gris, beaucoup de graviers, rares galets (<5 cm), homogène; présente à l'amont du M001	Colluvions fines scellant le M001		IV, 7d/V, 8
C	060	Limon, pierres graviers, sables, gris, brun roux, vrac; mouvement général des éléments en cuvette, inclinés vers	Comblement excavation 2018		Activité du chantier de construction 2018

le NE				
C	061	Limon silteux grun-gris, sables, galets (<20 cm), disposés horizontalement à la base de la couche; couvre directement le niveau de construction 056; présent à l'aval de M001	Niveau d'utilisation du M001	IV, 7c
C	062	Limon brun-gris meuble, nombreux graviers, sables, galets roulés inclinés vers le SW; scelle l'O.K. du M001; épaisseur 40 cm max.	Colluvions ou remblai?	V, 8/VI, 9a?
C	063	Limon brun-gris, compact, graviers répartis de façon homogène	Colluvions fines	VI, 9b/VII, 10a
C	064	Limon argileux brun clair avec importante trace charbonneuse; présence de quelques pierres anguleuses de dimensions variables (5-10 cm)	?	VI, 9b?
C	065	Limon brun clair, compact et homogène, avec des graviers de petite taille répartis de façon homogène	Colluvions	(K080), (K051) VI, 9b/VII, 10a
C	066	Limon argileux brun clair, très compact; fine couche localisée sous 065	Colluvions très fines, ravinement précipitations?	V, 8/VI, 9a?
C	067	Pierres anguleuses et galets de grande taille (> 20 cm) dans une matrice sableuse, gris foncé, pierres principalement localisées au-dessus de 037, deviennent plus éparées au-delà à l'aval	Colluvions	V, 8/VI, 9a?
Str	068	Trou de poteau (?) ou autre structure anthropique en creux; fonctionne peut-être avec 070	TP?	VIII, 11a
C	069	Limon brun compact et homogène contenant quelques graviers répartis de manière homogène	Remplissage de 068	VIII, 11a
M	070	Alignement de pierres et blocs de taille importante (> 50 cm) dans une matrice limoneuse brun-clair homogène et légèrement gravillonneuse; posés directement sur 011	Mur de terrasse?; plutôt mur de bâtiment?	VIII, 11a
C	071	Limon brun très gravillonneux avec petites pierres anguleuses (~2-5 cm) rares et éparées	Colluvions ou remblai	IX, 12
C	072	Limon brun-gris, gravillonneux, pierres anguleuses (5-10 cm), réparties de manière homogène	Colluvions ou remblai	IX, 12
C	073	Zone très concentrée en charbons, en place, terre rubéfiée et pierres rubéfiées, limites par endroits très nettes	Défournement de 043 et/ou 120	K043 VII, 10b
C	074	Pierres de toutes sortes, surtout plates, groupées sur plusieurs "assises" le long de 070 (terrasse); sur une largeur de 100-110 cm; limite N connue, percé par TP?075; limites E et S oblitérées lors du décapage machine; contre 070; pendage ouvert vers 070; pierres inclinées vers l'W en général; certaines rubéfiées; pas de structure claire ne se distingue	Démolition construction pierre sèche?	VII, 10b/VIII, 11a?
Str	075	Pierres de chant, groupées autour d'un espace vide de 10-15 cm de diamètre; pas de forme précise du poteau; un seul rang de pierres de calage; situé à 60 cm de 070 et à l'extrémité N de l'empierrement 074	TP; niveau d'utilisation à l'U.K. de 012	VIII, 11a
Str	076	Empierrement au pied du profil NW du chantier (Stg22); pierres et petits blocs agencés de façon apparemment non naturelle dans matrice limoneuse	Restes d'un tumulus (tumulus 2)?	III, 6

C	077	Empierrement irrégulier formé de pierres anguleuses et galets de différentes tailles (de 5 à plus de 30 cm), très localisé, matrice limoneuse brune assez homogène, avec traces charbonneuses	Restes de la couche 011, démolition et écroulement selon pendage des structures 043		VII, 10b/VIII, 11a
Str	078	Empierrement avec pierres/dalles disposées horizontalement; alignées; semble former un muret ou un solin s'appuyant en partie sur le mur arrasé M001	Premier niveau de terrasse au-dessus de M001/bâtiment? Supports d'une paroi de bâtiment?		VI, 9a
C	079	Limon fin beige-brun avec quelques pierres (5-15 cm); couche très semblable à 050, perturbée par dec machine	Colluvions perturbées?		III, 4/IV, 5
C	080	Limon fin beige, légèrement gravillonneux, quelques pierres plates et petits gravillons à l'interface supérieure	Niveau d'occupation?		III, 3?
C	081	Petites pierres (2-7 cm) et quelques pierres moyennes	Fosse avec son remplissage?		III, 3?
C	082	Limon brun, couche hétérogène, gravillonneuse avec petites pierres et traces charbonnées	Niveau d'occupation? Ou colluvions/lessivage niveau d'occupation		III, 4
C	083	Limon sableux beige à brun, graveleux, nombreuses pierres anguleuses petites et moyennes (5-25 cm), charbon	Colluvions ou terre rapportée couvrant 013 (tumulus 1); perturbation pelle-méc. en particulier au-dessus du quart NW du tumulus 013	(K047), K048	III, 6/IV, 7.a
C	084	Limon sableux brun-beige, graveleux, avec petites pierres (2-3 cm) et rares pierres plus grosses (~5cm)	Colluvions fines		IX, 12
C	085	Limon sableux brun-beige, gravillonneux, avec petites moyennes pierres; très semblable à 084, mais plus pierreux	Colluvions fines et démol. structure pierre sèche?		VIII, 11b
C	086	idem 085, mais plus nombreuses petites et moyennes pierres anguleuses	Colluvions fines et démol. structure pierre sèche?		VIII, 11b
Str	087	Excavation du côté NE de la structure 090	Excavation dans 088, aménagement ou réfection liés à 090?		VIII, 11b
C	088	Pierres densément concentrées, petites à moyennes, roulées et anguleuses, dans matrice de limon sableux beige-brun	Remblai/drain de terrasse ou colluvions/démol. de structure en pierre sèche?		VIII, 11b
C	089	Limon brun légèrement sableux, gravillonneux, graveleux, peu de pierres moyennes, quelques petites pierres (2-5 cm); traces noircies/charbonnées surtout à l'O.K.	Colluvions; O.K. niveau d'occupation, terrasse occupée	K059	VII, 10b/VIII, 11a
Str	090	aménagement formé d'une très grande dalle horizontale (1 m+), reposant sur plusieurs blocs et un empierrement remplissant une excavation (091)	Structure construite en pierre sèche, terrasse ou restes d'un bâtiment		VIII, 11a
Str	091	Excavation de faible profondeur, remplie de petites pierres (dans la partie inférieure) et de blocs petits à moyens dans la partie supérieure	Excavation, fondation(?) de la structure 090		VIII, 11a
C	092	Limon sableux beige foncé/brun, compact, nombreuses petites pierres anguleuses	Colluvions		VII, 10a?
C	093	Limon sableux beige foncé, très semblable à 092, mais très gravillonneux	Colluvions		VII, 10a?
Str	094	Trou oblong (45 x 70 cm), 30 cm environ de profondeur, perce la couche 065=010; les parois du trou sont constituées de 065=010; rempli par 011; quelques pierres dans les parois, le fond et le bord sup. font partie de 065 et pas du remplissage; autour: série de petits trous ronds remplis de 011	souche arrachée?, brûlée? négatif d'arrachement de pierre?		VII, 10a

C	095	Limon beige presque argileux, sert de matrice aux blocs 096	Colluvions ou infiltration		VI, 9b?
C	096	Pierres et blocs (max ~70 cm)	Restes d'une structure ou mur de terrasse en pierre sèche écroulée		VI, 9b?
C	097	Limon brun, couche hétérogène, nombreuses pierres en vrac, pierres surtout anguleuses (5-25 cm), mortier fusé, TCA	Démol. de M001		IV, 7d/IV, 8
C	098	Limon brun légèrement gravillonneux, petites pierres (2-5 cm); séparé de 111 par une interface discontinue de pierres petites à moyennes anguleuses (2-15 cm)	Colluvions fines		III, 6/IV, 7a
C	099	Limon brun légèrement verdâtre et légèrement gravillonneux, petites pierres (2-7 cm), sans trouvailles	Colluvions fines; O.K. = niveau d'implantation fondations M001		III, 6/IV, 7a
M	100	<i>Cf. documentation de terrain, fiche UT</i>	Mur pierre sèche	K053	VIII, 11b
C	101	Lentille de limon argileux, scelle quelques petits cailloux (1-3 cm)	Colluvions fines		III, 6/IV, 7a
Str	102	Dalettes de chant disposées de manière à peu près concentrique (cercle de 15 cm env.), TP?	Trou de poteau?		VII, 10b
C	103	Empierrement formé de quelques blocs sans organisation véritablement régulière	Glissement/destruction de 043, perturbé par M100		VII, 10b/VIII, 11a
C	104	Limon beige clair, légèrement sableux, gravillonneux, sur lequel reposent par endroits les pierres du tumulus 1 (013), pierres et petits blocs épars, s'étend pratiquement à toute l'emprise du tumulus, quelques petits points de charbons	Colluvions; O.K. = niveau de travail de 013	K056, (K061)	III, 4/III, 5
C	105	Limon brun compact, petites pierres diverses assez nombreuses (2-10 cm)	Colluvions fines	K068	III, 4/III, 5
C	106	Fine couche de limon argileux brun-beige, pas tout à fait continue	Colluvions très fines, ravinement		III, 6/IV, 7a
C	107	Interface de limon argileux relativement continue; la couche se pince et disparaît dans le bord N du profil Stg5	Colluvions très fines, ravinement		III, 5/III, 6?
C	108	Empierrement fait de pierres (8-20 cm) nombreuses et de quelques blocs (< 60 cm) irréguliers, anguleux et roulés, souvent jointifs mais en vrac, sans organisation claire, 1 très gros blocs de chant (h. 80+ cm) scellé dans la couche	Colluvions grossières?	K069	II, 2/III, 3
C	109	Limon brun à brun foncé, comparable à 105, mais limite distinguable par endroits par une interface (O.K.) de petites pierres discontinue	Colluvions fines scellant 108; ancien humus?	K060, K070	III, 4
C	110	Limon beige foncé, très légèrement gravillonneux, assez homogène, petites pierres éparses (2-7 cm)	Colluvions fines, O.K. = niveau d'implantation M001		III, 6/IV, 7a
C	111	Limon sableux brun, gravillonneux, assez nombreuses petites pierres anguleuses en vrac	Colluvions fines		III, 6/IV, 7a
C	112	Limon brun compact, graveleux, avec petites pierres (2-5 cm) anguleuses éparses, points de charbon	Colluvions fines, lessivage niveaux d'occupation?	K058	III, 3
C	113	Limon argileux brun, scellant de nombreuses pierres (5-15 cm) et quelques petits blocs anguleux et roulés, sans mobilier, petits points de charbons	Colluvions, ancien humus?	K057	III, 4
C	114	Limon argileux beige-brun compact, légèrement graveleux, peu de pierres	Comblement fosse/excavation Str140		IV, 7abc?
C	115	Limon beige avec nombreuses pierres de taille et formes diverses, mais surtout anguleuses; fragments et nodules de mortier	Démol. M001		IV

C	116	Limon beige légèrement gravillonneux en couche fine; languette de mortier à l'interface supérieure contre le mur M001	Colluvions fines, lessivage lié à l'action de l'eau; O.K. niv. de circulation de M001		IV, 7c
C	117	Limon argileux beige, compact et relativement homogène; dépôt légèrement en cuvette	Lessivage, colluvions fines		VI, 9b?
C	118	Limon brun légèrement gravillonneux, quelques pierres (~5 cm)	Colluvions		VI, 9a?
C	119	Limon fin, presque argileux, mais petits graviers épars, couche homogène	Couches s'appuyant contre 013; colluvions fines?		III, 6/IV, 7a
C	120	Sédiment noirâtre, cendreau, avec rubéfaction (orangée), présence de faune et charbons; phase plus ancienne que 043, fragment de tuile	Foyer + rejet foyer	K064	VII, 10a
C	121	Limon brun-gris, hétérogène, avec nombreuses pierres anguleuses et restes de mortier; très meuble, pas de mobilier	Démol./remblai?	K071	VI, 9b/ VII, 10a?
C	122	Limon brun homogène, argileux, contenant des pierres anguleuses, certaines à plat, d'autres de chant	Remplissage/comblement délibéré du foyer 120		VII, 10b
C	123	Arrachement (négatif) sur M001; très localisé; certainement lié à l'aménagement du foyer 120	Excavation pour le foyer 120		VII, 10a
C	124	Limon brun foncé, assez compact, galets (< 25 cm), TCA, fragments mortier gris clair, mortier fusé, plusieurs fragments d'imbrices	O.K. de la démol. de l'abside		IV, 7d/V, 8
C	125	Mortier fusé beige à blanc, fragments de mortier gris, galets (< 10 cm), graviers (< 2 cm); pendage des éléments vers l'extérieur de l'abside M046	Démol. de l'abside?		IV, 7d/V, 8
C	126	Fragments d'enduits posés à plat, très compact, dans une matrice de mortier fusé beige; fragments d'ardoise posés à plat; pendage des éléments vers l'intérieur de l'abside	Démol. du revêtement des parois de l'abside/bâtiment à abside	K066	IV, 7d/V, 8
C	127	Nombreux fragments de tubuli, parfois grands, mêlés de limon argileux, graveleux gris-vert; couche de ce limon de 3 cm couvrant directement le sol en terrazzo; fort pendage des éléments vers l'intérieur de l'abside	Démol. de la paroi de tubuli		IV, 7d/V, 8
Sol	128	Chape de mortier gris très bien lissé en surface; retrouvée fortement craquelée; horizontale, mais plonge subitement dans le N du sondage en raison de l'affaissement du sous-sol (?)	Sol en mortier terrazzo de l'abside/salle chauffée		IV, 7b
Str	129	Tubuli retrouvés en place contre la face intérieure de l'abside (M002 + M046)	Paroi creuse en tubuli, pour chauffage	(K087)	IV, 7bc
C	130	Limon brun-gris graveleux, points de mortier fusé, quelques galets; couche plus ou moins horizontale à la hauteur du ressaut de fondation de M001	Niveau d'utilisation du M001		IV, 7c
C	131	Limon brun-gris, très graveleux, nombreux nodules de mortier, quelques galets (<10 cm); pendage des éléments vers l'E et le M001; O.K. horizontal	Niveau d'utilisation du M046 et/ou remblai de terrassement; O.K. = niveau de construction de M001		IV, 7b
C	132	Limon brun foncé, assez homogène; nodules de charbons et quelques rares nodules limon rubéfié; quelques graviers; quelques galets (< 10 cm) pendage vers l'E + M001	Niv. d'utilisation de M046	K067, (K095)	IV, 7b
C	133	Limon orange-brun, homogène et compact, mêlé de limon brun-gris normal et de charbon de bois; repéré sur une petite longueur à la hauteur	Niv. rubéfié; restes de foyer antérieur à M046? Ou niveau de marche brûlé, contemporain de M046?		IV, 7a ou b

		du ressaut de fondation de M046			
C	134	Limon fin beige et compact, rares petites pierres anguleuses éparées	Colluvions fines	(K077)	IV, 7a?
C	135	Empierrement irrégulier formé de pierres moyennes anguleuses (5-15 cm) et d'un petit bloc (~30 cm)	Reste d'un muret ou d'une structure en pierre sèche? Ou correspond au même événement que 015?		IV, 7c
C	136	Limon argileux brun-beige compact et homogène, avec quelques rares petites pierres irrégulières	Colluvions	K074	III, 3
C	137	Gravillons dans sédiments limoneux bruns, forment en coupe une forme arrondie	Anomalie locale, terrier?		III, 3?
M	138	<i>Cf. documentation de terrain, fiche UT</i>	Mur, angle de bâtiment	K093	IV, 7a
M	139	<i>Cf. documentation de terrain, fiche UT</i>	Maçonnerie, seuil/passage postérieur à la destruction de M001 et M138		V, 8
Str	140	Fosse ou creusement (négatif) grossièrement en "V"; fonction indéterminée; remplissage = 114	Fosse indéterminée, négatif d'arrachement de bloc du tumulus 1 ?		IV, 7abc?
C	141	Sable gravilloneux, fin et grossier, meuble à très meuble, gris à gris brun	Niv. de travail lié à l'implantation de 142 ?		III, 6
Str	142	Blocs émoussés juxtaposés de manière serrée (jusqu'à 30 x 35 x 20 cm); dans les interstices: silt argileux légèrement sableux, compact gris brun	Empierrement lié à la fosse 145?		III, 6
C	143	Silt argileux, légèrement sableux, légèrement gravilloneux, avec graviers fins et grossiers, quelques petites pierres émoussées; compact, gris brun	Colluvions fines?; niveau de travail lié à 013?		III, 6
C	144	Silt argileux, légèrement sableux, légèrement gravilloneux, gris brun, compact, avec graviers fins et grossiers, nombreuses petites pierres émoussées, quelques pierres émoussées plus grandes (jusqu'à 20 x 20 x 10 cm)	Colluvions grossières		III, 4/III,5
Str	145	Fosse et comblement: silt argileux légèrement sableux, avec nombreux graviers fins et grossiers; très dur et très compact; quelques éclats de pierre; gris clair à gris brun; pas de mobilier ni d'os	Fosse indéterminée		III, 5
C	146	Silt argileux légèrement sableux, compact, gris brun, avec graviers fins et grossiers	Niv. de travail lié à l'implantation de 142 ?		III, 6
C	147	Silt argileux légèrement sableux, compact, gris brun, avec graviers fins et grossiers	Colluvions fines		III, 4/III,5
Str	148	Tranchée observée en coupe; Comblement: pierres diverses petites et moyennes; dans les interstices: silt argileux brun foncé	Tranchée de fondation de M001		IV, 7c
C	149	Silt argileux plus ou moins compact, très légèrement sableux, brun-gris foncé à brun foncé, quelques graviers, rares petites pierres émoussées	Colluvions fines	K079	III, 4
	150	<i>numéro supprimé</i>			
Str	151	Empierrement constitué de pierres diverses (roulées, émoussées, mais aussi anguleuses) et de tailles diverses; très dense; dans les interstices: silt argileux brun-gris foncé à brun foncé compact; avec quelques nodules de charbons; quelques graviers	Colluvions grossières (remaniées en surface, terrasse = UT188)	K076	II, 2/III, 3
C	152	Sable gravilloneux, silteux plus ou moins compact, gris-brun, avec mortier fusé; quelques fragments TCA, pierres anguleuses petites et		K092	IV, 7d/IV, 8

		moyennes; nodules de mortier + quelques éclats de pierre			
C	153	Limon brun-gris, graveleux, nodules de mortier <1 cm (moins nombreux que dans 005 ou 152), quelques galets ébréchés; O.K. à la hauteur du ressaut de M138 et du ressaut SW de M001	Remblai en place avant M138? Ou démol. partielle de M138 avant constr. M001?		IV, 7c
C	154	Limon/silts brun-gris, fins, homogènes; localisé sur une bande verticale de 5 cm de largeur le long du "socle" de fondation NE de M138	Tranchée de fondation de M138 et son remplissage		IV, 7a
C	155	Blocs (diam. 120 cm), épars, appuyés contre la face NE du M001	Eboulement, blocs isolés roulés au bas du versant		IV, 7c
C	156	Limon brun foncé graveleux, nodules de charbons, nodules de mortier et points de mortier fusé, fragments de TCA, os (faune); épaisseur: 4-7 cm	Remblai d'utilisation du M002		IV, 7b
C	157	Limon brun foncé, moins graveleux que 156, nodules de mortier plus petits que 156 et dans TCA; nodules de charbon moins nombreux; épaisseur 5 cm	Remblai d'utilisation du M138; niveau d'implantation de M002		IV, 7a
C	158	Silt brun-gris clair légèrement verdâtre, graveleux, mais moins que 027; au moins 1 fragment de TCA	Remblai ou colluvions fines		IV, 7a
C	159	Empierrement hétérogène, avec nombreuses pierres anguleuses et petits blocs (< 35 cm), dans limon argileux homogène, très légèrement gravillonneux, petits charbons épars	Abandon/destruction avec colluvionnement	K078	VI, 9b/VII, 10a
M	160	<i>Cf. documentation de terrain, fiche UT</i>	Trou de piquet en maçonnerie ou plutôt mortaise pour le tenon d'une petite porte		V, 8
C	161	Limon argileux brun à brun foncé légèrement gravillonneux peu homogène, traces charbonnées mélangées	Couche de déblai liée au percement de 073 et 011 par M100		VIII, 11b
C	162	Pierres anguleuses et roulées éparses (5-15 cm) dans limon sableux beige très gravillonneux, charbons épars	Colluvions/remblai?		VIII, 11b
C	163	Petite couche (épaisseur 5 cm) de pierres éclatées, mortier	Niv. de construction de M138		IV, 7a
Str	164	Structure empierrée prise dans 027	Empierrement du fond de la tranchée de fondation de M002		IV, 7ab?
C	165	Limon sableux brun-gris hétérogène, grande quantité de mortier fusé, nombreuses pierres anguleuses (5-15 cm) à l'O.K., très semblable à 121	Démol. de M001 et peut-être autres maçonneries, et/ou remblai de nivellement pour le batiment contemporain de M139		V, 8
C	166	Excavation et couche: limon brun, couleur légèrement "rouille", hétérogène, avec petits nodules de mortier	Couche de colluvions/remblai? (perturbée par la tranchée de fondation de M002)		IV, 7a
C	167	Limon brun homogène, légèrement graveleux	Colluvions fines		IV, 7a
C	168	Idem 167, mais plus compact et plus argileux	Colluvions fines		III, 6/IV, 7a
C	169	Petite dalle, éclats de taille	Niveau d'insertion du drain/fosse 172; O.K. = circulation antérieure à M001, sans doute cont. de M002 ou M046		IV, 7b
C	170	Silt brun-gris, compact avec grands gravillons, quelques fragments et nodules de mortier, assez dense concentration de mortier vers M001, éclats de pierres, quelques petits galets; distingué de 055	Remblai; O.K = niv. de circulation de M001	K083	IV, 7c
C	171	Silt argileux gris-brun légèrement verdâtre avec graviers, compact	Terrain naturel		III, 6/pér.IV, 7a
C	172	Fosse ou fossé peu profond,	Niveau de circulation: O.K.	K084	IV, 7b

		rectiligne dans la partie visible; comblement de petits galets, petites pierres émoussées, quelques plus grosses pierres, mobilier romain, mortier, silt argileux dans les interstices	contemporain de O.K. 169		
Str	173	Empierrement aligné fait de blocs moyens dont quelques-uns dans la partie supérieure sont posés en épi; interstices de limon argileux, charbonneux, avec charbons	Mur de terrasse (?) antérieur au tumulus 1, plateforme (?)	K086	III, 4
C	174	Limon légèrement sableux brun foncé à noirâtre relativement hétérogène, charbonneux, nombreux petits charbons épars et rares plus gros charbons, pierres anguleuses et petits blocs anguleux	Niv. d'occupation ou lessivage niv. d'occupation?	K089, K090	III, 4
C	175	Limon fin, presque argileux, homogène et compact, beige à beige foncé, charbons à l'O.K	Niv. d'occupation?	K091	III, 3
C	176	Couche très meuble et peu compacte, matériaux divers en vrac, observée dans une partie arrachée du sol de l'abside	Démolition/effondrement et infiltration sous le sol de l'abside	(K087), K088	IV, 7d/V, 8
C	177	Limon brun à brun foncé hétérogène, charbonneux (parties charbonnées réparties irrégulièrement dans la couche, charbons; UT élabo, distingué de 011	Lessivage niveau d'occupation?	K098	VII, 10b/VIII, 11a
C	178	UT élabo, distingué de 035/177	Restes d'un ancien mur de terrasse écroulé? Contemporain de M031-M033?		VII, 10b/VIII, 11a
C	179	UT élabo, distingué de 024	Colluvions fines		IV, 7a?
C	180	UT élabo.; distingué de 092	Colluvions fines		VII, 10b?
C	181	UT élabo.; distingué de 115	Colluvions		VI, 9a?
C	182	UT élabo.; distingué de 144	Colluvions grossières? Ou comblement/remblai?		III, 4/III,5
M	183	UT élabo.; distingué de 020; pierres irrégulières, émoussées; 0.15-0.35m env.	Restes de muret en pierre sèche ?		VI, 9a
M	184	UT élabo.; muret pierre sèche d'orientation NW-SE; bloc 0.6m; surtout pierres 0.1-0.3m; repéré sur env. 1.20 et de façon discontinue sur env. 4 m	Muret en pierre sèche ?		VI, 9a
M	185	UT élabo.; blocs relativement plats, posés à l'horizontale, <0,6 m	Muret en pierre sèche ?		VI, 9a
Str	186	UT élabo.; restes de foyer observés en profil après dec0, mais arraché lors du dec19.	Foyer		VIII, 11b
C	187	UT élabo.; empierrement constitué de pierres diverses (émoussées, anguleuses) et de tailles diverses; dans les interstices: limon argileux brun-gris foncé à brun foncé compact			II, 2/III, 3
Str	188	UT élabo.; terrassement de l'UT151, aplanissement de la surface	Terrasse		III, 3
Str	189	UT élabo.; pierres de dimensions moyennes (7-15 cm) organisées plus ou moins horizontalement	Remblai de nivellement, radier de sol en terre		VI, 9a
C	190	UT élabo.; pierres variées en vrac dans limon foncé	Niveau de destruction?		
C	AC001	Limon sableux jaune-beige localement graveleux, quelques galets < 10 cm			
C	AC002	Paquet de blocs et boulets 15-70 cm, calibre variable et disposition irrégulière. Plusieurs blocs de tuf < 25 cm. Les blocs sont pris dans une matrice assez homogène mais pouvant présenter localement des variations de granulométrie : limon	Le tout évoque un éboulement avec circulation d'eau postérieure.		

		sableux beige-gris fin avec quelques passées gravillonneuses éparses, des inclusions de galets 5-20 cm et de boulettes de limon argileux jaunâtre. De manière générale, l'ensemble de 2) se limite à la partie amont du terrassement et s'estompe vers le sud ainsi que vers l'ouest. Le niveau a livré quelques restes fauniques assez fragmentés (bœuf + capriné). Aucun élément de mobilier permettant une attribution chrono-culturelle n'a en revanche été observé.	
C	AC003	Limon plus ou moins sableux brun-beige, quelques galets < 7 cm, stérile, localement légèrement graveleux	
C	AC004	Limon légèrement sablo-gravillonneux brun à brun-noir, avec inclusions éparses de petits blocs < 20 cm. Aucun mobilier, quelques rares charbons de bois < 1 cm épars. Ce petit niveau de sol, stérile à l'exception de très rares charbons, se poursuit en direction du sud avec un léger pendage. Il devient plus clair avec une teinte gris-brun, avec quelques inclusions de petits galets < 8 cm, sans charbons. Le niveau se biseaute et disparaît en direction de l'est.	
C	AC005	Limon brun-beige plus ou moins graveleux, pierres et blocs < 35 cm, stérile	
C	AC006a	Limon plus ou moins sablonneux brunâtre, nombreux galets < 7 cm, inclusions de graviers grossiers. Charbons de bois épars très fragmentés < 1 cm.	II, 2
C	AC006b	A la base de 6), en dessous de l'UT 7, limon plus foncé et plus grisâtre.	II, 2/III, 3
C	AC007	Limon beige stérile, quelques inclusions de pierres < 5 cm. Niveau inclus dans le paquet de 6), disparaît en direction du sud.	
C	AC008	Limon beige graveleux, quelques charbons de bois < 0.5 cm.	I, 1/II, 2
C	AC009a	Limon beige-brun avec inclusions de graviers grossiers et galets < 5 cm.	I, 1/II, 2
C	AC009b	Limon brun-beige légèrement plus foncé que 9a), inclusions de graviers grossiers épars et pierres < 15 cm.	I, 1/II, 2
C	AC010	Limon sableux beige, stérile. Blocs de taille variable	pré-I, 1
C	AC011	Petit niveau de limon sableux brun, plus compact que 10), inclusions de charbons de bois < 1 cm.	I, 1
C	AC012	Petit niveau charbonneux, épaisseur max. 2 cm, semblable à 11). L'équivalence entre 11) et 12) ne peut toutefois pas être affirmée en absence de continuité stratigraphique.	I, 1
C	AC013	Chenaux imbriqués, matériel grossier (sable, graviers).	II, 2/III, 3
C	AC014	Sable gris grossier, galets et blocs < 40 cm.	Chenal ou fossé ? II, 2/III, 3
C	AC015	Limon gris-brun avec quelques inclusions de charbons de bois < 2 cm.	Paquet de colluvions
C	AC016	Limon sableux gris-beige, stérile.	II, 2/III, 3
C	AC017	Alternance de limons assez fins, avec alternance de gravillons et limon gris-beige fin. Dans les niveaux de limon fin, présence de quelques micro-	II, 2?

	tessons < 1 cm mal conservés, impossibles à prélever.	
C	AC018 Poche de limon brun-beige légèrement sableux, intégrant une passée plus foncée brun-noir charbonneuse à la base.	I, 1

Liste du mobilier

Inv.	UT	Matière 1	Matière 2	Objet
BCE18/K001	1er déc. machine	Terre cuite	Céramique	2 sachets : 1 avec 2 morceaux de mortier (récipient) ; 1 avec fragment de céramique à enduit
BCE18/K002	nettoyage profil Stg06	Os	Faune	1 sachet divers (3 petits fragments)
BCE18/K002	nettoyage profil Stg06	Terre cuite	Céramique	1 tesson
BCE18/K003	nettoyage profil Stg09	Os	Faune	1 sachet divers
BCE18/K005A	021?	Terre cuite	Céramique	1 tesson
BCE18/K005A-01	021?	Terre cuite	Céramique	1 tesson
BCE18/K005B	021	Os	Faune	1 sachet divers
BCE18/K005B	021	Terre cuite	Céramique	1 sachet divers
BCE18/K006	004	Terre cuite	Céramique	1 tesson
BCE18/K006-01	004	Pierre	Silex	1 lame de silex
BCE18/K007-01	003	Terre cuite	Céramique	1 tesson (amphore) (base déc. machine A.C.)
BCE18/K008A	005	Os	Faune	1 grand os brisé
BCE18/K008A	005	Terre cuite	Architectural	1 sachet divers (fragments tubuli)
BCE18/K008B	005	Terre cuite	Céramique	1 tesson (4 fragments)
BCE18/K008C	005	Organique	Charbon de bois	PLV charbons de bois
BCE18/K008C	005	Os	Faune	1 sachet divers
BCE18/K008C	005	Terre cuite	Architectural	1 sachet fragments TCA divers, principalement des tubuli
BCE18/K008C	005	Terre cuite	Céramique	1 tesson
BCE18/K009	008	Terre cuite	Céramique	1 sachet divers
BCE18/K009-01	008	Terre cuite	Céramique	2 grands tessons et 2 fragments
BCE18/K010A	016	Terre cuite	Céramique	1 sachet divers
BCE18/K010B	016	Terre cuite	Céramique	2 sachets divers
BCE18/K010C	016	Os	Faune	1 sachet divers (dont fragment mâchoire et omoplate bovidé?)
BCE18/K010C	016	Terre cuite	Céramique	2 tessons + 1 sachet divers
BCE18/K010D	016, (020?)	Organique	Charbon de bois	PLV charbons de bois
BCE18/K010D	016	Os	Faune	1 sachet divers (petits fragments)
BCE18/K010D	016	Terre cuite	Céramique	1 sachet divers
BCE18/K010E	016	Terre cuite	Céramique	1 sachet divers
BCE18/K010F	016 (O.K.)	Terre cuite	Céramique	1 sachet divers
BCE18/K012A	011	Os	Faune	1 sachet divers (3 fragments dont une partie de mâchoire)
BCE18/K012B-01	011	Pierre	Pierre ollaire	1 fragment (récipient?)
BCE18/K012C	011	Métal	Fer	1 clou
BCE18/K012C	011	Os	Faune	3 sachets divers (nombreux petits et moyens fragments)
BCE18/K012C	011	Terre cuite	TCA/CER	1 fragment (retrouvé avec faune au tri/lavage)
BCE18/K012D	011	Os	Faune	1 sachet divers (petits fragments, dont une dent)
BCE18/K012D	011	Terre	-	1 PLV terre rubéfiée
BCE18/K012E	011	Os	Faune	1 sachet divers (dont fragment de mâchoire, grande dent herbivore)
BCE18/K012E-01	011	Pierre	Pierre ollaire	1 fragment (récipient?)
BCE18/K012F	011	Os	Faune	1 sachet divers (nombreux petits fragments, grandes dents bovidés?)

BCE18/K012F	011	Pierre	Pierre ollaire	1 sachet divers, fragments
BCE18/K012G	011	Divers	Divers	petits fragments d'os, scories, TCA (retrouvé au tri/lavage)
BCE18/K013	007	Terre cuite	Architectural	2 fragments tubuli
BCE18/K013	007	Terre cuite	Céramique	1 tesson
BCE18/K014	012	Os	Faune	4 sachets divers (dont 1 vertèbre et 1 fragment grand os)
BCE18/K014	012	Terre cuite	Céramique	1 tesson
BCE18/K015	nettoyage profil Stg06	Os	Faune	1 sachet divers
BCE18/K016	nettoyage profil Stg05	Os	Faune	1 sachet divers
BCE18/K017-01	023	Métal	Bronze	plaque de ceinture en bronze
BCE18/K017-02	023	Métal	Bronze	nombreux bracelets filiformes en bronze
BCE18/K017-03	023	Organique	Coquille?	1 petit fragment de coquillage? (peut-être un petit caillou?)
BCE18/K017-04	023	Os	Humain	1 sachet fragments os crâne, 1 sachet fragments os bras, 1 fragment os non identifié
BCE18/K018	12? (nettoyage Pln21)	Os	Faune	1 sachet divers
BCE18/K018	12? (nettoyage Pln21)	Terre cuite	Céramique	1 tesson
BCE18/K019	008	Métal	Fer	1 clou
BCE18/K019	008	Os	Faune	1 sachet divers (grands os bovidé?)
BCE18/K020	nettoyage profil Stg10	Terre cuite	Architectural	1 fragment TCA
BCE18/K020	nettoyage profil Stg10	Terre cuite	Céramique	1 sachet divers
BCE18/K021	nettoyage, z1	Os	Faune	1 sachet divers
BCE18/K022A	022	Os	Faune	1 fragment
BCE18/K022A	022	Terre cuite	Céramique	1 tesson
BCE18/K022B	022	Terre cuite	Céramique	1 tesson
BCE18/K023	024	Os	Faune	1 sachet divers
BCE18/K023	024	Terre cuite	Céramique	1 sachet divers
BCE18/K023-01	024	Pierre	Pierre ollaire	1 fragment
BCE18/K024	012	Métal	Fer	2 fragments tige clou
BCE18/K024	012	Os	Faune	1 sachet divers (3 petits fragments)
BCE18/K025	025	Organique	Charbon de bois	PLV charbons de bois
BCE18/K025	025	Os	Faune	1 sachet divers (2 fragments, dont une partie de mâchoire)
BCE18/K025	025	Terre cuite	Céramique	1 tesson
BCE18/K026	044	Os	Faune	1 sachet divers (2 fragments)
BCE18/K026	044	Terre cuite	Céramique	1 sachet divers
BCE18/K028	011 (O.K.)	Os	Faune	1 petit fragment
BCE18/K029	011?	Organique	Charbon de bois	2x PLV charbons de bois
BCE18/K029	011?	Os	Faune	2 sachets divers (dont 1 grand os)
BCE18/K030	034	Os	Faune	1 sachet divers (2 fragments)
BCE18/K031	039	Os	Faune	1 fragment
BCE18/K032	043	Organique	Charbon de bois	PLV cendres foyer
BCE18/K032	043	Os	Faune	1 sachet divers (petits fragments dont partie de mâchoire)
BCE18/K032	043	Divers	Divers	petits fragments de TCA, d'os, de pierre (retrouvé au tri/lavage)
BCE18/K034A	037	Os	Faune	1 sachet divers
BCE18/K034A	037	Terre cuite	Architectural	1 sachet fragments TCA, fragments tuiles principalement

BCE18/K034A	037	Terre cuite	Céramique	1 sachet divers
BCE18/K034A	037	Mortier	Mortier	1 fragment (retrouvé avec faune au tri/lavage)
BCE18/K034B	037	Os	Faune	1 sachet divers (petits fragments)
BCE18/K034C	037 (pollué 2e déc. machine?)	Os	Faune	1 sachet divers (nombreux fragments grands et petits)
BCE18/K034C	037 (pollué 2e déc. machine?)	Terre cuite	Architectural	1 fragment de tuile?
BCE18/K034C	037 (pollué 2e déc. machine?)	Terre cuite	Céramique	1 sachet divers
BCE18/K034C	037	Terre cuite	Céramique	1 fragment (retrouvé avec faune au tri/lavage)
BCE18/K034D	037	Terre cuite	Céramique	1 sachet divers
BCE18/K034E	037 (U.K.)	Os	Faune	1 fragment
BCE18/K034E	037 (U.K.)	Terre cuite	Céramique	1 tesson
BCE18/K035	2e déc. machine, z1	Os	Faune	1 sachet divers (dont 1 grand fragment os plat, 1 grand fragment mâchoire)
BCE18/K035	2e déc. machine, z1	Terre cuite	Architectural	1 sachet fragments TCA, principalement tubuli
BCE18/K035	2e déc. machine, z1	Terre cuite	Céramique	1 sachet divers
BCE18/K035	2e déc. machine, z1	Organique	Bois	1 fragment (moderne ?; retrouvé avec faune au tri/lavage)
BCE18/K036	012, (011)	Os	Faune	1 sachet divers
BCE18/K037	découv. fortuites/déblais	Os	Faune	1 sachet divers
BCE18/K037	découv. fortuites/déblais	Terre cuite	Céramique	1 sachet divers
BCE18/K037	découv. fortuites/déblais	Terre cuite	Céramique	1 fragment (retrouvé avec faune au tri/lavage)
BCE18/K037-01	découv. fortuites/déblais	Pierre	Pierre ollaire	1 grand fragment (récipient?)
BCE18/K037-02	découv. fortuites/déblais	Pierre	Pierre ollaire	1 grand fragment (non récipient)
BCE18/K038-1	020	Terre cuite	Céramique	1 tesson (fond)
BCE18/K039	048	Os	Faune	1 sachet divers (3 fragments)
BCE18/K039	048	Terre cuite	Architectural	1 grand vrac fragments TCA, principalement des tubuli
BCE18/K039	048	Terre cuite	Céramique	1 tesson
BCE18/K040	050	Organique	Charbon de bois	PLV charbons de bois
BCE18/K041	052	Métal	Fer	1 clou
BCE18/K041	052	Os	Faune	1 sachet divers
BCE18/K041	052	Terre cuite	Céramique	1 sachet divers
BCE18/K042	053	Terre cuite	Architectural	1 grand vrac fragments TCA divers, tuiles et tubuli
BCE18/K043	073	Organique	Charbon de bois	3x PLV charbons de bois
BCE18/K043	073	Os	Faune	3 sachets divers (quelques petits et moyens fragments)
BCE18/K043	073	Divers	Divers	fragments d'os, un gros de TCA (retrouvés au tri/lavage)
BCE18/K043	073	Divers	Divers	1 petit fragment de TCA, 1 de scorie (retrouvés au tri/lavage)
BCE18/K043	073	Terre cuite	Architectural	2 petits fragments de TCA (retrouvés au tri/lavage)
BCE18/K044	011 (sous 074)	Métal	Scories de fer	1 sachet divers
BCE18/K044	011 (sous 074)	Os	Faune	1 sachet divers (dont 1 grande dent herbivore)
BCE18/K044-01	011 (sous 074)	Verre	-	1 fragment
BCE18/K045A	017	Organique	Charbon de bois	PLV charbons de bois
BCE18/K045A	017	Os	Faune	1 sachet divers (petits fragments)
BCE18/K045A	017	Terre cuite	Architectural	1 petit fragment tubuli
BCE18/K045A	017	Terre cuite	Céramique	1 tesson

BCE18/K045B	017	Os	Faune	1 sachet divers (petits fragments)
BCE18/K045B	017	Terre cuite	Céramique	1 sachet divers
BCE18/K045B	017	Terre cuite	Céramique	1 fragment (retrouvé avec faune au tri/lavage)
BCE18/K045C	017?	Organique	Charbon de bois	PLV charbons de bois
BCE18/K046	011	Métal	Scories de fer	1 sachet divers
BCE18/K046	011 (U.K.)	Os	Faune	1 sachet divers (petits fragments)
BCE18/K046	011 (U.K.)	Terre cuite	Architectural	2 fragments TCA
BCE18/K046	011 (U.K.)	Terre cuite	Céramique	1 tesson
BCE18/K046-01	011 (U.K.)	Pierre	Pierre ollaire	1 grand fragment (récipient)
BCE18/K047	083 (pollué déc. AC ?)	Métal	Acier?	1 tige à souder
BCE18/K047	083 (pollué déc. AC ?)	Os	Faune	1 sachet divers (nombreux fragments petits et moyens)
BCE18/K047	083 (pollué déc. AC ?)	Terre cuite	Céramique	2 sachets divers
BCE18/K047	083 (pollué déc. AC ?)	Terre cuite	Céramique	3 fragments (retrouvés avec faune au tri/lavage)
BCE18/K049	nettoyage, z5	Os	Faune	1 sachet divers
BCE18/K049	nettoyage, z5	Terre cuite	Architectural	2 fragments (dont 1 à décor en relief)
BCE18/K050	nettoyage, Sd1	Métal	Fer	1 fragment de clou?
BCE18/K050	nettoyage, Sd1	Os	Faune	1 sachet divers
BCE18/K050	nettoyage, Sd1	Terre cuite	Architectural	1 fragment TCA
BCE18/K050	nettoyage, Sd1	Terre cuite	Céramique	1 sachet divers
BCE18/K050-01	nettoyage, Sd1	Métal	Bronze	1 broche/fibule en étoile à émail
BCE18/K051	010, 008	Métal	Scories de fer	1 sachet divers
BCE18/K051	010, 008	Os	Faune	1 sachet divers (donc quelques fragments grands os)
BCE18/K051	010, 008	Terre cuite	Architectural	1 sachet divers TCA, principalement tubuli
BCE18/K051	010, 008	Terre cuite	Céramique	1 tesson
BCE18/K051-01	010, 008	Pierre	Pierre ollaire	1 fragment (récipient?)
BCE18/K052	011	Os	Faune	4 sachets divers (nombreux petits fragments et quelques fragments grands os)
BCE18/K054	008 (U.K.) ou 28 (O.K.)	Os	Faune	5 sachets divers (nombreux fragments petits à moyens)
BCE18/K054	008 (U.K.) ou 28 (O.K.)	Terre cuite	Céramique	1 sachet divers (dont 1 fond)
BCE18/K054	028	Terre cuite	Architect./céramique	2 petits fragments (retrouvés avec faune au tri/lavage)
BCE18/K055	013	Métal	Scorie de fer?	1 fragment
BCE18/K055	013	Organique	Charbon de bois	PLV charbons de bois (U.K., au-dessous de UT104)
BCE18/K055	013	Os	Faune	2 petits fragments
BCE18/K055-01	013	Métal	Bronze	2 fragments de bracelet?
BCE18/K055-02	013	Métal	Bronze	1 fragment de bracelet
BCE18/K056	104 (O.K.)	Organique	Charbon de bois	PLV charbons de bois
BCE18/K057	113	Organique	Charbon de bois	1x PLV charbon (1x PLV charbon mal étiqueté 083=113, K057!, en fait = 083, K048!)
BCE18/K060	109 (O.K.)	Organique	Charbon de bois	PLV charbons de bois
BCE18/K061	104, 013 ou 017?	Os	Faune	1 sachet divers
BCE18/K061	104, 013 ou 017?	Terre cuite	Céramique	1 tesson
BCE18/K062	049? (pollué 1 ^{er} déc. machine?)	Terre cuite	Céramique	1 tesson
BCE18/K063	006, 007	Os	Faune	1 sachet divers (nombreux fragments, dont fragments grands os)

BCE18/K063	006, 007	Terre cuite	Architectural	1 grand vrac fragments tubuli
BCE18/K063	006, 007	Terre cuite	Céramique	1 fragment (retrouvé avec faune au tri/lavage)
BCE18/K064	120	Organique	Charbon de bois	PLV charbons de bois
BCE18/K064	120	Os	Faune	1 sachet divers (petits fragments, 1 dent moyenne)
BCE18/K064	120	Divers	Divers	petits fragments d'os et de TCA (retrouvé au tri/lavage)
BCE18/K065	127	Terre cuite	Architectural	1 grand vrac, grands fragments tubuli
BCE18/K067	132	Os	Faune	1 sachet divers
BCE18/K067	132	Terre cuite	Architectural	1 sachet divers TCA
BCE18/K067	132	Terre cuite	Architect./Céramique	1 fragment (retrouvé avec faune au tri/lavage)
BCE18/K068	105	Os	Faune	1 sachet divers
BCE18/K069	108	Organique	Charbon de bois	PLV charbons de bois
BCE18/K070	109	Organique	Charbon de bois	PLV charbons de bois
BCE18/K070	109	Os	Faune	1 sachet divers (3 petits fragments)
BCE18/K071	121	Métal	Fer	1 grand clou/crosse, 1 clou
BCE18/K071	121	Os	Faune	1 sachet divers (petits fragments)
BCE18/K071	121	Terre cuite	Céramique	2 fragments (retrouvés avec faune au tri/lavage)
BCE18/K072	005, 007, 022	Métal	Fer	2 fragments de clous/rivets
BCE18/K072	005, 007, 022	Mortier	Enduit	2 fragments d'enduits peints
BCE18/K072	005, 007, 022	Os	Faune	1 sachet divers
BCE18/K072	005, 007, 022	Terre cuite	Céramique	1 sachet divers
BCE18/K072-01	005, 007, 022	Verre	-	1 fragment de verre
BCE18/K073	004, 024	Os	Faune	1 sachet divers (fragments grands os)
BCE18/K073	004, 024	Terre cuite	Céramique	1 sachet divers
BCE18/K074	136	Organique	Charbon de bois	PLV charbons de bois
BCE18/K075	M001 (entre les pierres de fondation)	Métal	Fer, scorie de fer?	1 fragment de clou, 1 scorie ?
BCE18/K076	151	Organique	Charbon de bois	PLV charbons de bois
BCE18/K077	017, 134	Organique	Charbon de bois	PLV charbons de bois
BCE18/K077	017, 134	Os	Faune	1 sachet divers (petits fragments)
BCE18/K078	159	Organique	Charbon de bois	PLV charbons de bois
BCE18/K078-01	159	Pierre	Pierre ollaire	1 grand fragment (récipient)
BCE18/K079	149	Organique	Charbon de bois	PLV charbons de bois
BCE18/K080	006, 007, 008, 065	Os	Faune	1 sachet divers (dont fragments grands os)
BCE18/K081	040	Os	Faune	2 fragments (dont 1 fragment grand os)
BCE18/K081	040	Terre cuite	Céramique	1 sachet divers
BCE18/K082	008, 040	Os	Faune	1 sachet divers (dont fragments moyens de grands os)
BCE18/K082	008, 040	Terre cuite	Céramique	1 sachet divers
BCE18/K083	170	Os	Faune	1 sachet divers
BCE18/K083	170	Terre cuite	Céramique	2 tessons (à motifs en relief)
BCE18/K084	172	Terre cuite	Céramique	1 tesson
BCE18/K085	017 (O.K.)	Organique	Charbon de bois	PLV charbons de bois
BCE18/K087	129, 176	Terre cuite	Architectural	1 fragment tuile, 1 fragment tubuli
BCE18/K088	176	Organique	Charbon de bois	PLV charbons de bois
BCE18/K089	174	Organique	Charbon de bois	PLV charbons de bois
BCE18/K090	174 (U.K.)	Organique	Charbon de bois	PLV charbons de bois

BCE18/K092	152 (sous M139)	Terre cuite	Architectural	1 sachet divers tubuli
BCE18/K093	M138 (tranchée de fondation)	Métal	Fer	3 fragments de clous/déchets de fer ?
BCE18/K094	déc. machine final, z3	Terre cuite	Céramique	1 sachet divers
BCE18/K094	déc. machine final, z3	Divers	Divers	petits fragments d'os, scorie (retrouvés au tri/lavage)
BCE18/K095	UT132 (U.K.?)	Terre cuite	Céramique	1 tesson
BCE18/K096	déc. machine final, z1	Terre cuite	Architectural	1 grand vrac fragments tubuli, donc quelques grands fragments
BCE18/K096	déc. machine final, z1	Terre cuite	Céramique	2 tessons
BCE18/K096-01	déc. machine final, z1	Pierre	?	1 meule à main?
BCE18/K099	déc. machine A.C.	Terre cuite	Céramique	1 tesson + 1 sachet divers
BCE18/K100	011, (159?)	Organique	Charbon de bois	PLV charbons de bois
BCE18/K101	174 (U.K.) ou 175 (O.K)	Os	Faune	1 petit fragment
BCE18/K102	032	Os	Faune	1 sachet divers (dont fragments grands os, grande dent herbivore)
BCE18/K102	032	Terre cuite	Architectural	1 fragment tubuli
BCE18/K103	028	Os	Faune	1 sachet divers (dont 1 fragment grand os)
BCE18/K104	177	Os	Faune	2 sachets divers (nombreux petits fragments, 1 grande dent herbivore)
BCE18/K104	177 (= 11 ?)	Terre cuite	Architect./Céramique	1 fragment (retrouvé au tri/lavage)
BCE18/K104-01	177	Pierre	Pierre ollaire	1 fragment (récipient)
BCE18/K104-02	177	Pierre	?	1 pierre de chauffe en partie brisée
BCE18/K105	011 (U.K.) ou 039 (O.K.)	Métal	Bronze	1 objet non identifié
BCE18/K106	030	Terre cuite	Céramique	2 tessons

Liste des datations ¹⁴C

N° échantillon	N° lab.	UT	Matière	Âge BP	CAL 2 sigma	Période
BCE18/002S	Poz-107996	AC006a	charbon	3115 ± 35 BP	1488-1281 BC	Bronze moyen/final
BCE18/004S	Poz-107941	AC012	charbon	3970 ± 40 BP	2579-2346 BC	Néolithique final
BCE18/006S	Poz-107942	AC018	charbon	3685 ± 35 BP	2196-1960 BC	Bronze ancien
BCE18/K012C	Poz-113190	011	os	1010 ± 30 BP	973-1150 AD	Haut Moyen Âge/Moyen Âge central
BCE18/K033	Poz-0	018	cendres	échec		
BCE18/K058	Poz-112251	112	charbon	2445 ± 30 BP	753-410 BC	Hallstatt/La Tène
BCE18/K059	Poz-112252	089	charbon	775 ± 30 BP	1215-1282 AD	Moyen Âge central
BCE18/K076	Poz-112160	151	charbon	2485 ± 30 BP	776-488 BC	Hallstatt
BCE18/K086	Poz-112253	173	charbon	2380 ± 30 BP	727-393 BC ³⁶	Hallstatt/La Tène
BCE18/K091	Poz-112254	175	charbon	2425 ± 30 BP	749-403 BC	Hallstatt/La Tène
BCE18/K098	Poz-112341	177	charbon	1125 ± 30 BP	777-991 AD ³⁷	haut Moyen Âge
BCE18/K032	Poz-112491	043	graines	1180 ± 30 BP	730-951 AD ³⁸	haut Moyen Âge
BCE18/K064	Poz-112683	120	graines	1195 ± 30 BP	720-941 AD ³⁹	haut Moyen Âge

Calibration selon Oxcal v4.2.3 Bronk Ramsey (2013); r:5
IntCal13 atmospheric curve (Reimer et al. 2013)

Laboratoire:

Poz: Laboratoire Radiocarbone de Poznan (PL), Prof. dr hab. Tomasz Goslar

³⁶ Probabilité de 93.6% pour une date entre 541 et 393 BC.

³⁷ Probabilité de 89.7% pour une date entre 862 et 991 AD.

³⁸ Probabilité de 87.5% pour une date entre 769 et 901 AD

³⁹ Probabilité de 89.3% pour une date entre 766 et 896 AD.

Liste des relevés

N°	Type	Description	Échelle	Format
001	planum	Plan de situation lors du repérage avant fouilles (dec0 ⁴⁰ = décapage machine AC)	-	A4 (croquis)
002	planum	Plan de situation après décapage machine (dec1) (a), positions cibles, coordonnées partielles cibles (b), position lame silex (BCE18/K006-01)	-	A4 (croquis) 3 versions (a, b, c)
003	planum	Plan des z1-3 et des Sd1-2; croquis de travail; position des tranchées test pour identification du tracé de M1 (dec10 et dec11); position nettoyage en z3 (dec12); position lame bronze (BCE18/K017-1)	-	A4 (croquis)
004	coupe	Sd1, dessin du profil or. NE-SW, vue vers NW (dec3, avec compléments postérieurs); croquis préalable	1:20; -	A3 (ortho, calque); A4 (croquis)
005	coupe	z3, dessin du profil or. NE-SW, vue vers SE; 1re version dec2, caduque, remplacée par 2e version, dec2+dec50; compléments postérieurs sur 2e version	1:20	A3 (ortho, calque) 2 versions
006	coupe	Dessin du long profil de la zone de fouille, or. NW-SE, vue vers SW; partie W du profil Stg6a; complément avec profil à l'arrière de l'abside M2; Stg6b; partie E du profil: Stg6b.	1:20	A3 (ortho, calque), plusieurs feuilles et versions
007	coupe	Sd2, dessin du profil or. NE-SW, vue vers NW (dec9)	1:20	A3 (ortho, calque)
009	coupe	Sd2, dessin du profil or. NE-SW, vue vers SE (dec7)	1:20	A3 (ortho, calque)
010	coupe	Sd1, dessin du profil or. NE-SW, vue vers SE (dec5, compléments dec53); 3 tirages ortho partiels différents; croquis de positionnement lame bronze et bracelets (BCE18/K017-1 et BCE18/K017-2); partie de Stg10 (UT13 et au-dessous) corrigée et complétée sur nouveau dessin Stg61	1:20	A3 (ortho, calque); A4 (croquis)
011	planum	z2, dessin de l'UT43 (structure combustion) (dec17); croquis préparatoire	1:20; -	A3 (ortho, calque); A4 (croquis)
012	coupe	z3, dessin du profil or. NW-SE, vue vers SW (dec26); croquis préparatoire	1:20; -	A3 (ortho, calque); A4 (croquis)
013	coupe	z2, dessin du profil or. NW-SE, vue vers SW (dec25, avec compléments postérieurs); croquis préparatoire	1:20; -	A3 (ortho, calque); A4 (croquis)
014	coupe	Sd3, dessin du profil or. NE-SW, vue vers NW (sans n° dec indépendant, après dec19); croquis préparatoire	1:20; -	A3 (ortho, calque); A4 (croquis)
015	coupe	Z4, dessin du profil or. NW-SE, vue vers SW (dec22); croquis préparatoire	1:20; -	A3 (ortho, calque); A4 (croquis)
017	coupe	Sd3, dessin du profil or. NE-SW, vue vers SE (sans n° dec indépendant, après dec19); croquis pour compléments (dec81)	1:20; -	A3 (ortho, calque); 2x A4 (croquis et notes)
018	planum	Dessin de la z3 (dec29): UT11, UT12, UT30, UT47; croquis préparatoire	1:20; -	A3 (ortho, calque); A4 (croquis)
019	planum	Croquis de la z2 (dec21 interm.): UT43, UT12, UT11	-	A4 (croquis)
020	planum	Photo annotée de la z2 (dec21): UT43, UT12, UT11, UT8, UT32-UT33; Plnfinale pas dessiné, décision de décapager témoin avec documentation (cf. Pln022)	-	A4 (photo annotée)
021	planum	Dessin de la z1 (dec32, dec35): M1, UT10, UT11, UT12, UT64, UT65, UT70; dessin de la z2 (dec34): UT8, UT11, UT43	1:20	2x A3 (ortho, calque)
022	coupe	Z5, dessin du profil or. NE-SW, vue vers NW (sans n° dec indépendant, après dec19; en deux feuilles); 3e feuille pour complément (dec44)	1:20	3x A3 (ortho, calque)
023	planum	Croquis de la tranchée en équerre dans Sd3 (dec33): UT55, UT170	-	A4 (croquis)
024	planum	Dessin de la z1 (dec38): UT11, UT 65, UT64, UT70; dessin de la z2 (dec37): UT8, UT11, UT73, UT32, UT43;	1:20	2x A3 (ortho, calque)
025	planum	Croquis de la z2 (dec40): dégagement de UT73	-	A4 (croquis)

⁴⁰ Pour la liste des « décapages », voir la documentation de terrain.

026	planum	Dessin de la z1 (dec39): UT11 et pierres sous UT74	1:20	A3 (sans ortho, calque)
027	planum	Croquis de la z2 (dec45): UT8	-	A4 (croquis)
028	planum	Croquis extension du Sdge 1 = tranchée de dégagement tumulus (dec43): UT83, sous les restes du remblai dec19 (machine)	-	A4 (croquis)
029	planum	Dessin de la z2 (dec48): UT8 et UT28, restant de UT11; croquis préalable	1:20; -	A3 (ortho, calque); A4 (croquis)
030	planum	Dessin de la z1 (dec46): UK UT11 = UT10, UT65, UT70; croquis préalable	1:20; -	A3 (ortho, calque); A4 (croquis)
031	planum	Dessin de la z2 (dec52): UT100; croquis préalable	1:20; -	A3 (ortho, calque); A4 (croquis)
032	planum	Dessin du tumulus UT13 en z1 et Sdge 1 (dec43, 47), et z2 (dec42); dessin du tumulus 2 et de M1 (dec44, 54) en Z5	1:20	3x A3 (ortho, calque)
033	planum	Dessin de la z1 (dec51): UT8, UT28, UT6, UT7	1:20	A3 (ortho, calque)
034	planum	Croquis de la tranchée SE-SW dans le Sdge 1 (dec53), au pied de Stg010, au-dessous du niveau du tumulus UT13: UT113, UT104	-	A4 (croquis)
035	coupe	Dessin du profil or. NW-SW, vue vers NE, (dec55+61); croquis préalable	1:20; -	A3 (ortho, calque); A4 (croquis)
036	planum	Ortho sans dessin de la z1 (dec57): UT13 tumulus (la deuxième partie du tumulus n'a pas été relevée par photogrammétrie lors de ce dec.)	1:20	A3 (ortho, calque)
037	planum	Dessin de la T1/UT23; restes osseux	1:10	A3 (ortho, calque)
038	planum	Dessin de la tranchée test pour identifier la limites du tumulus du côté NW (avant dec28) à nouveau décapé (dec57); croquis préalable	1:20; -	A3 (ortho, calque); A4 (croquis)
039	coupe	Dessin du profil or. NE-SW, vue vers NW dans la petite tranchée test pour identifier la limites du tumulus du côté NW (avant dec28) à nouveau décapée (dec57); croquis préalable	1:20; -	A3 (ortho, calque); A4 (croquis)
040	planum	Ortho avec dessin de limites seulement (dec59) de UT13 tumulus	1:20	2x A3 (ortho, calque)
041	planum	Ortho sans dessin de la z2 (dec56); croquis de la zone après dégagement du mur M1; M1, UT28, UT78, UT16	1:20; -	A3 (ortho); A4 (croquis)
042	coupe	Croquis profil or. NE-SW, vue vers NW, contre le témoin stratigraphique; foyer UT120, remplissage UT122	-	A4 (croquis)
043	planum	Dessin de la z1 (dec58); M2-M46, UT5, UT6, UT7	1:20; -	A3 (ortho, calque); A4 (croquis)
044	planum	Ortho sans dessin; croquis de la z5 (dec62): UT76, UT112	1:20; -	A3 (ortho); A4 (croquis)
045	coupe	Ortho sans dessin (dec61; couches largement perturbées ou enlevées lors du dec0)	1:20	A3 (ortho)
046	planum	Dessin de l'empierrement UT108 en z3 (dec61), UT109	1:20	A3 (ortho, calque); A4 (croquis)
047	planum	Détail, dessin (dec65) de l'abside M2-M46; sol terrazzo et tubuli en place UT128 + UT129	1:5; 1:10	A3 (ortho, calque); A3(ortho)
048	planum	Ortho sans dessin des z1 et z2 (dec64): UT13 tumulus (seulement la couronne), UT104	1:20	A3 (ortho)
049	coupe	Dessin du profil or. NE-SW, vue vers NW en z1; démol. et niv. de marche entre les M1 et M46	1:20	A3 (calque)
050	planum	Croquis du petit sondage (dec68) en z1, sous le tumulus UT13 et l'UT104; UT113, UT173, UT136, UT137	-	A4 (croquis)
051	planum	Croquis de la z3, après enlèvement partiel de UT108 (dec67)	-	A4 (croquis)
052	planum	Croquis de la z5, situation après enlèvement des dernières pierres UT76 (dec69); UT112	-	A4 (croquis)
053	planum	Croquis de la z2 (dec72); UT120	1:20	A3 (ortho, calque); A3(ortho)

054	planum	Croquis de la petite tranchée en z2 (dec73), sous le tumulus UT13, pour identifier et comprendre l'empierrement en épi UT173	-	A4 (croquis), même feuille que Stg55
055	coupe	Croquis du profil or. E-W, vue vers N de la petite tranchée en z2 (dec 73), sous le tumulus UT13, pour identifier et comprendre l'empierrement en épi UT173	-	A4 (croquis), même feuille que Pln54
056	planum	Dessin de la z2 (dec74+ dec75); M1, M138, M139	1:20	A3 (ortho, calque); A4 (croquis)
057	coupe	Croquis du profil en z2 (dec75), un peu en retrait de la limite originelle du Sd1 (Stg010), or. NE-SW, vue vers SE; M1, M138, M139, UT152, UT153, UT24, UT25	-	A4 (croquis)
058	planum	Croquis plan détail en z2 (dec75), M138, M139, UT24, UT25	-	A4 (croquis)
059	planum	Dessin de la z2 (dec77); M1, M138, M139, M100. UT165	1:20	A3 (ortho, calque)
060	planum	Orthomosaïque du Sd1 sans dessin (dec78 interm); ortho remplacée par le Pln065	1:20	A3 (ortho)
061	coupe	Dessin nouveau profil Stg010, or. NE-SW, vue vers SE, après dec78	1:20	A3 (ortho, 2 versions, calque)
062	planum	Croquis préparatoire pour dessin fosse UT145 en z2 (dec79); dessin 1:20 de la fosse sur Pln065	-	A4 (croquis)
063	planum	Dessin en plan du M1 en Sd3 et z1	1:20	A3 (ortho, calque)
064	coupe	Dessin, dans petite tranchée dans Sd1 (dec78), du profil or. NE-SW, vue vers NW	1:20	A3 (ortho, calque)
065	planum	Dessin du Sd1 après dec78, empierrement UT151	1:20	A3 (ortho, calque)
066	planum	Croquis et orthomosaïque sans dessin du fond de la tranchée dans Sd3 or. NE-SW, vue vers NW après dec81; UT171, UT172	1:20; -	A4 (croquis), A3 (ortho)
067	planum	Dessin de la tranchée test en z1 (dec 82), pour identifier limites de UT173	1:20	A3 (ortho, calque)
068	planum	Dessin de la tranchée test en Sd1, après décapage partiel de UT151 (dec84); orthomosaïque sans dessin	1:20	A3 (ortho)
069	planum	Dessin de la tranchée test en z1 après décapage partiel de UT173 (dec 83)	1:20	A3 (ortho, calque)
070	planum	Dessin d'une petite tranchée test après le terrassement final; déc86.; PLV charbons; UT174, UT175	-	A4 (croquis)

Modèle bayésien (Sylvain Ozainne)⁴¹

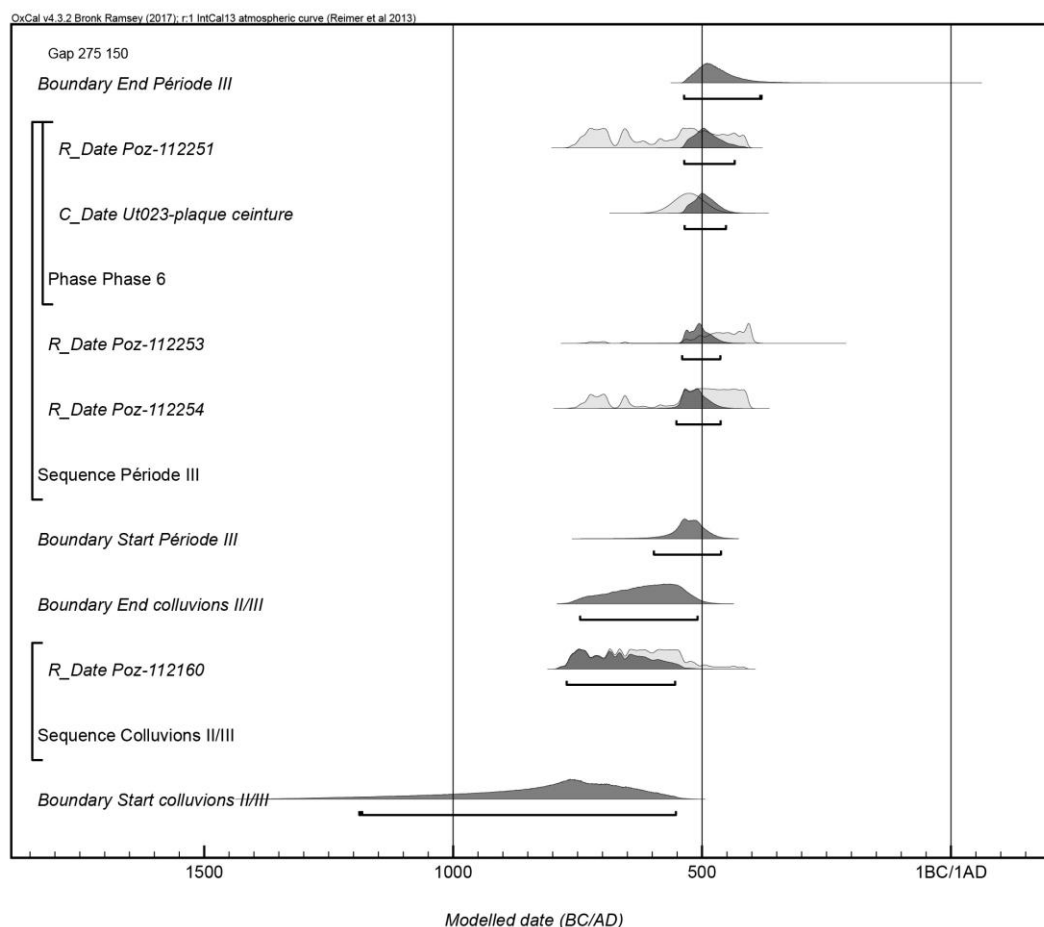
Explicatif

Afin d'améliorer la précision de la séquence chrono-stratigraphique du site et d'estimer l'âge des phases ne comportant aucun élément de datation (mobilier ou date radiocarbone), un modèle bayésien intégrant l'ensemble des données disponibles a été élaboré avec Oxcal 4.3.2. (Bronk Ramsey 2009) (voir graphique, table des données et code Oxcal).

Le modèle bayésien a permis de recalculer les intervalles calibrés des dates radiocarbones obtenues pour le site en tenant compte de leurs relations stratigraphiques, telles qu'elles sont décrites dans le tableau chronologique de la page 8. Le modèle intègre également les informations chronologiques obtenues à partir des éléments typologiques disponibles dans certaines UT. Ces dates ont été incluses dans le modèle en tant qu'années calendaires avec une marge d'erreur correspondant à l'intervalle couvert par l'estimation chrono-typologique. Certaines de ces dates font office de terminus ante quem (« Before ») ou post quem (« After »). Les principaux hiatus (« Gap ») de la séquence ont également été intégrés au modèle (voir B., code du modèle).

L'ensemble de la séquence étant bien documenté et bénéficiant de nombreuses informations chronologiques, il a été possible d'interpoler les âges des bâtiments 2 et 3 (périodes V et VI), pour lesquels aucune date n'était disponible.

La principale motivation du recours au modèle bayésien demeurait l'établissement d'une meilleure chronologie pour l'ensemble de la période III, largement concernée par le « plateau hallstattien » de la courbe de calibration. L'intervalle fourni par la boucle de ceinture de l'UT 023 (tombe du tumulus) a été intégré au modèle en tant que date calendaire (-525±30) (voir figure phase 6 Annexe).



⁴¹ Documents et informations complémentaires au rapport transmises par Sylvain Ozainne le 4 mars 2020.

Table des données

BCE18 ModelDef
Amodel 85.4
Aoverall 88.9"

Séquence/n°Lab	Bâtiment / Monument	Echantillon	UT	Unmodellé (BC/AD)			Modellé (BC/AD)			Indices					
				from	to	%	from	to	%	Acomb	A	L	P	C	
C_Date TAQ céramique médiévale				1390	1510	95.4	1397	1513	95.4		100.7				99.8
Before TAQ céramique médiévale				...	1400	95.4									
Boundary End Période IX							1276	1470	95.4						99.7
C_Date Colluions phase IX			012	1100	1499	95.4	1257	1438	95.4		117.6				99.8
Phase Phase IX															
Boundary Start Période IX							1235	1415	95.4						99.8
Boundary End Période VIII							1210	1357	95.4						99.9
R_Date Poz-112552		BCE18/K059	089	1214	1281	95.4	1194	1281	95.4		95.3				99.9
Phase Phase VIII															
Boundary Start Période VIII							1063	1273	95.4						99.8
Boundary End Période VII							976	1209	95.4						99.8
R_Date Poz-112341		BCE18/K098	177	778	991	95.4	880	988	95.4		108.8				99.9
R_Date Poz-113190		BCE18/K012C	011	975	1149	95.3	901	1114	95.4		103.2				99.8
Phase Destruction fin Période VII															
R_Date Poz-112491	Bâtiment 4	BCE18/K032	043	729	960	95.4	785	947	95.4		100.1				99.9
R_Date Poz-112683		BCE18/K064	120	719	942	95.4	728	890	95.4		106.6				99.9
Sequence Période VII															
Boundary Start Période VII							558	882	95.4						99.6
Boundary End Période VI							383	665	95.4						99.1
C_Date Destruction/colluions fin Pér. VI			030	300	500	95.4	388	545	95.4		66.3				99.8
Bat3	Bâtiment 3						375	531	95.4						99.9
Sequence Période VI															
Boundary Start Période VI							359	519	95.4						99.8
Boundary End Période V							333	483	95.4						99.8
Bat2	Bâtiment 2						324	461	95.4						99.9
Boundary Start Période V							314	442	95.4						99.8
C_Date Destruction/remblai romain			007	310	390	95.4	301	378	95.4		95.5				99.9
After Destruction/remblai romain				383.7	...	95.4									
Boundary End Période IV							159	366	95.4						99.6
C_Date Phase 7c/7d				150	350	95.4	149	301	95.4		101.7				99.9
C_Date Phase 7b	Bâtiment 1, abside			50	250	95.4	117	246	95.4		102.9				99.9
C_Date Phase 7a	Bâtiment 1			50	250	95.4	80	225	95.4		114.1				99.9
Sequence Période IV															
Boundary Start Période IV							-1	222	95.4						99.7
Boundary End colluions III/IV							-155	168	95.4						99.8
C_Date Colluions III/IV				-200	200	95.4	-214	106	95.4		102.4				99.7
Phase Colluions III/IV															
Boundary Start colluions III/IV							-461	54	95.4						99.3
Boundary End Période III							-537	-381	95.4						99.1
R_Date Poz-112251	Tumulus 2?	BCE18/K058	112	-752	-410	95.4	-536	-435	95.4		110.9				99.9
C_Date Ut023-plaque ceinture	Tumulus 1 / tombe		023	-587	-467	95.4	-535	-452	95.4		81.3				99.8
Phase Phase 6															
R_Date Poz-112253		BCE18/K086	173	-726	-393	95.4	-540	-464	95.4		65.2				99.9
R_Date Poz-112254		BCE18/K091	175	-749	-404	95.4	-552	-463	95.4		114.6				99.8
Sequence Période III															
Boundary Start Période III							-597	-463	95.4						99.6
Boundary End colluions II/III							-745	-510	95.4						99.8
R_Date Poz-112160		BCE18/K076	151	-776	-488	95.4	-772	-555	95.4		104.3				99.8
Sequence Colluions II/III															
Boundary Start colluions II/III							-1189	-553	95.4						99.2
Boundary End Période II							-1433	-794	95.4						99.3
R_Date Poz-107996		BCE18/002S	AC004	-1490	-1281	95.4	-1489	-1280	95.4		100.1				99.8
Phase Phase 2															
Boundary Start Période II							-1925	-1303	95.4						99.3
Boundary End Période I							-2174	-1533	95.4						99.5
R_Date Poz-107942		BCE18/006S	AC014	-2195	-1961	95.4	-2199	-1977	95.4		100.1				99.7
R_Date Poz-107941		BCE18/004S	AC013	-2578	-2346	95.4	-2570	-2299	95.4		79.3				99.5
Sequence Période I															
Boundary Start Période I							-2930	-2306	95.4						95.6

Code Oxcal

```

Options()
{
  Resolution=1;
};
Plot()
{
  Sequence()
  {
    Boundary("Start Période I");
    Sequence("Période I")
    {
      R_Date("Poz-107941", 3970, 40);
      Gap(200, 50);
      R_Date("Poz-107942", 3685, 35);
    };
    Boundary("End Période I");
    Gap(500, 50);
    Boundary("Start Période II");
    Phase("Phase 2")
    {
      R_Date("Poz-107996", 3115, 35);
    };
    Boundary("End Période II");
    Gap(500, 50);
    Boundary("Start colluvions II/III");
    Sequence("Colluvions II/III")
    {
      R_Date("Poz-112160", 2485, 30);
    };
    Boundary("End colluvions II/III");
    Boundary("Start Période III");
    Sequence("Période III")
    {
      R_Date("Poz-112254", 2425, 30);
      R_Date("Poz-112253", 2380, 30);
      Phase("Phase 6")
      {
        C_Date("Ut023-plaque ceinture", -525, 30);
        R_Date("Poz-112251", 2445, 30);
      };
    };
    Boundary("End Période III");
    Gap(275, 150);
    Boundary("Start colluvions III/IV");
    Phase("Colluvions III/IV")
    {
      C_Date("Colluvions III/IV", 1, 100);
    };
    Boundary("End colluvions III/IV");
    Boundary("Start Période IV");
    Sequence("Période IV")
    {
      C_Date("Phase 7a", 150, 50);
      C_Date("Phase 7b", 150, 50);
      C_Date("Phase 7c/7d", 250, 50);
    };
    Boundary("End Période IV");
    After("Destruction/remblai romain")
    {
      C_Date("Destruction/remblai romain", 350, 20);
    };
  };
  Boundary("Start Période V");
  Date("Bat2");
  Boundary("End Période V");
  Boundary("Start Période VI");
  Sequence("Période VI")
  {
    Date("Bat3");
    C_Date("Destruction/colluvions fin période VI", 400,
50);
  };
  Boundary("End Période VI");
  Gap(600, 100);
  Boundary("Start Période VII");
  Sequence("Période VII")
  {
    R_Date("Poz-112683", 1195, 30);
    R_Date("Poz-112491", 1180, 30);
    Phase("Destruction fin Période VII")
    {
      R_Date("Poz-113190", 1010, 30);
      R_Date("Poz-112341", 1125, 30);
    };
  };
  Boundary("End Période VII");
  Boundary("Start Période VIII");
  Phase("Phase VIII")
  {
    R_Date("Poz-112552", 775, 30);
  };
  Boundary("End Période VIII");
  Boundary("Start Période IX");
  Phase("Phase IX")
  {
    C_Date("Colluvions phase IX", 1300, 100);
  };
  Boundary("End Période IX");
  Before("TAQ céram médiévale")
  {
    C_Date("TAQ céram médiévale", 1450, 30);
  };
};
};
};
};

```